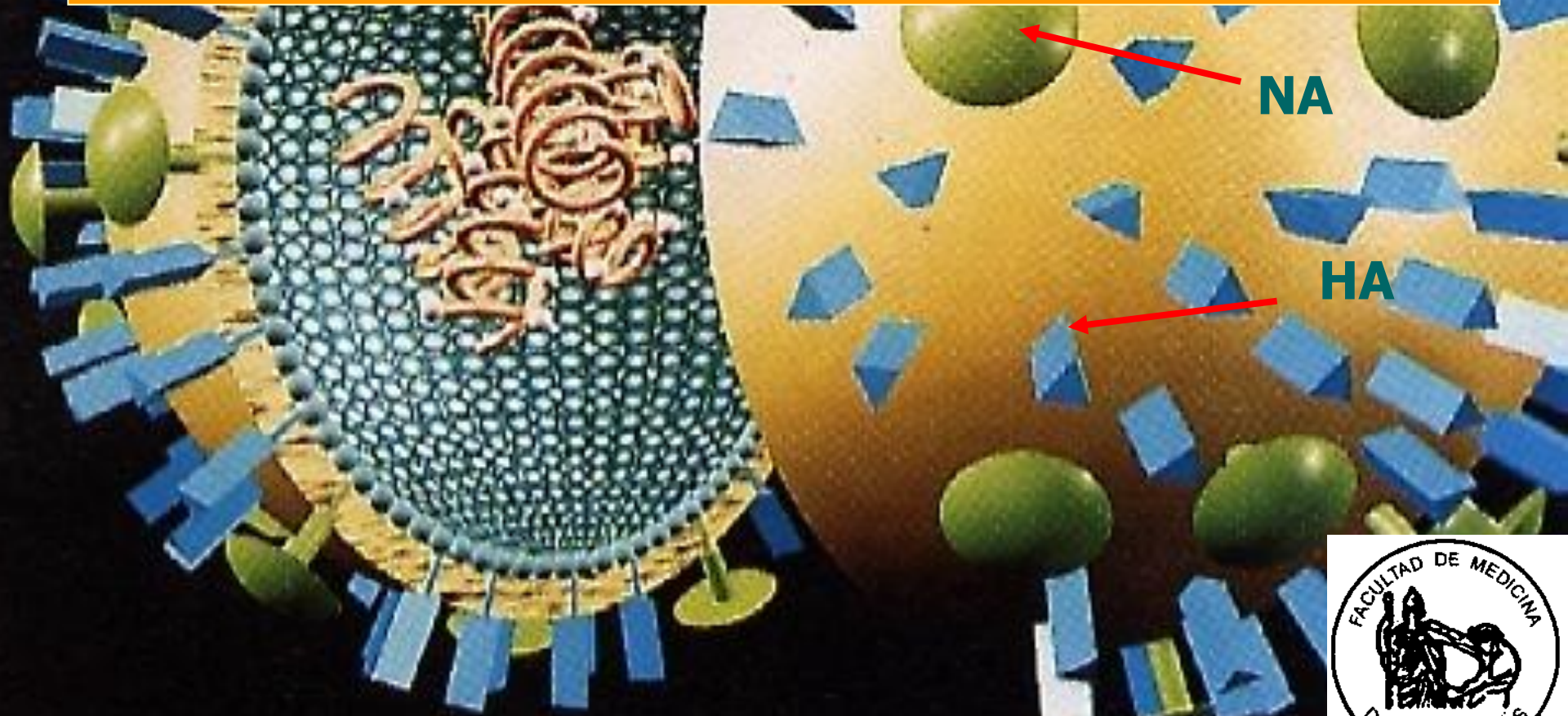


**“Virosis emergentes:
Gripe e influenza aviar H5N1 e
influenza A H1N1(2009) pandémica”**

José Raúl Oubiña. Depto. Microbiología.

Fac. de Medicina. UBA.



Contenidos

- ◆ ¿Qué son los virus causantes de la gripe estacional, la gripe aviar y la influenza pandémica?
- ◆ ¿Qué se conoce de su patogénesis?
- ◆ ¿Cuál es la situación 2010 ante estas virosis emergentes / re-emergentes?
- ◆ ¿Cómo se las diagnostica?
- ◆ ¿Cómo actúan los antivirales en uso? ¿Qué importancia médica tiene el monitoreo de la resistencia?



Toser y estornudar: se expelen microgotas de Flügge



- ◆ Al **toser**: diseminación de cientos de microgotas más de 900 km/h.
- ◆ Al **estornudar**: diseminación de centenas de miles de microgotas. a más de 100 km / h,

... y al pronunciar la letra "F" ...



Sabía que...

- ◆ Bastan 1 a 5 TCID₅₀ para infectar un humano...
- ◆ El virus Influenza (humano) persiste infeccioso al menos un día.
- ◆ El virus Influenza aviar (H5N1) persiste infectivo durante al menos varias semanas en superficies no porosas, dependiendo de la T^o y la humedad.



Relación entre infección y enfermedad



◆ **Patogenicidad:**
"capacidad para generar enfermedad"

$$P = \frac{\text{N}^{\circ} \text{ de enfermos}}{\text{N}^{\circ} \text{ total de infectados}}$$

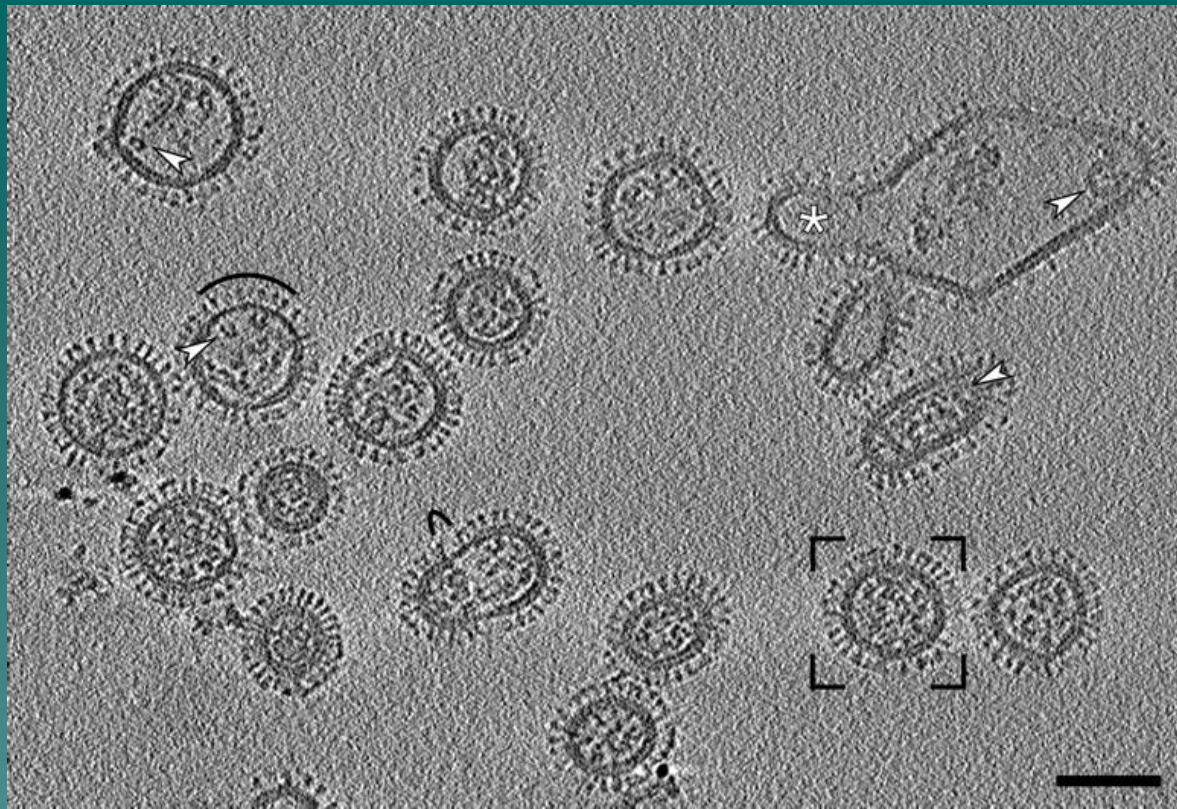
► **Virulencia:**
Gravedad de la enfermedad.



Neumonía severa por virus Influenza A



- ◆ Paciente de 30 años inmunocompetente.
- ◆ Infiltrados en lóbulo medio derecho e inferiores bilaterales. Requirió asistencia respiratoria mecánica.



Sección obtenida mediante tomografía crioelectrónica correspondiente a un campo conteniendo partículas de virus Influenza. Las flechas blancas indican ribonucleoproteínas (RNP) típicas del virus. Los arcos negros indican áreas de la capa de matriz con zonas que exhiben gaps o una menor densidad de "paquetes" de glicoproteínas de envoltura. La imagen irregular marcada con un asterisco -probablemente se haya formado en el proceso de disrupción celular- contiene en su interior una partícula brotando. La partícula viral enmarcada se observa también en la figura 2. La barra ubicada en el extremo inferior derecho del panel indica 100 nm.

Fuente Harris A. *et al.* PNAS 2006, 13: 19123-7.

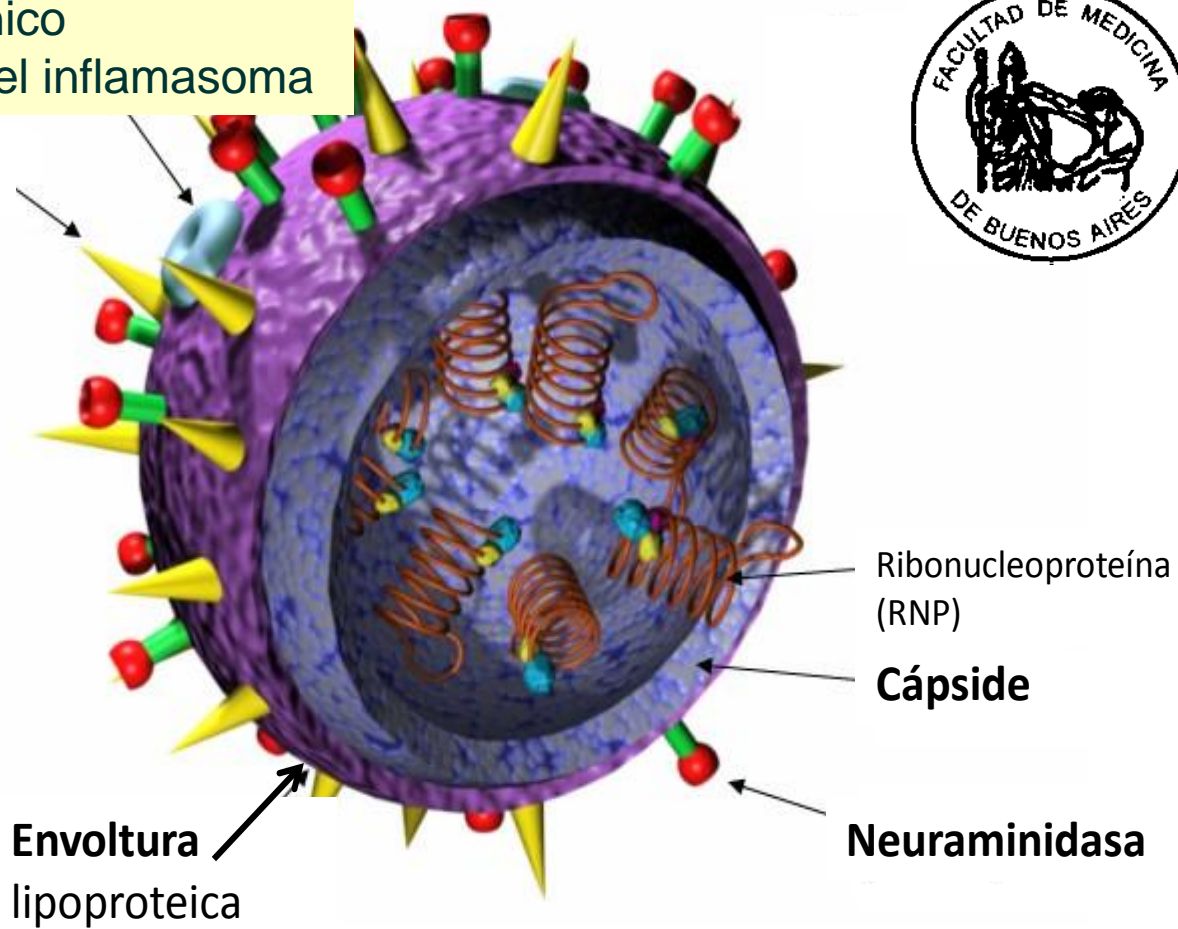
Virus Influenza:

M2: canal iónico y activador del inflammasoma

Esquema

Hemaglutinina

Dr. Wilson Smith (1933)

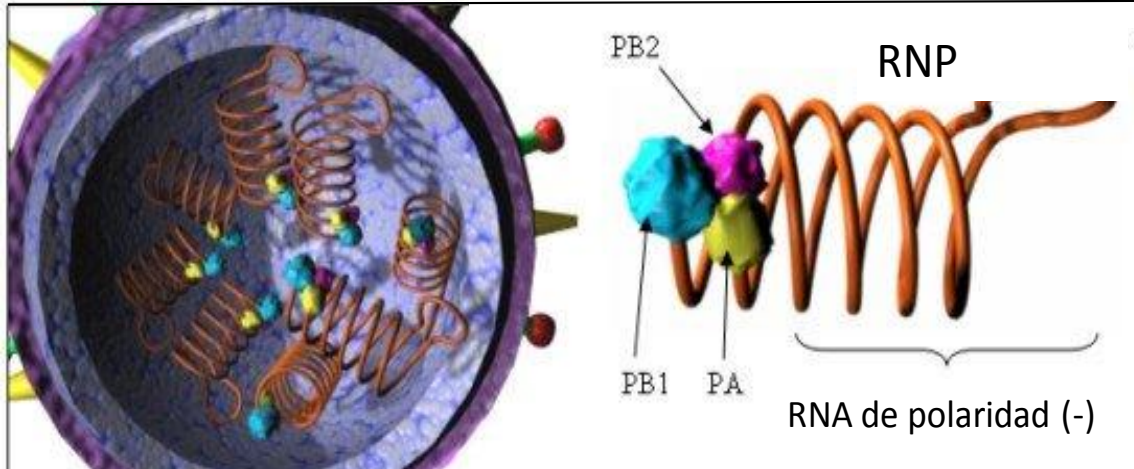


Envoltura lipoproteica

Ribonucleoproteína (RNP)

Cápside

Neuraminidasa



PB2

RNP

PB1

PA

RNA de polaridad (-)

PA: Polimerasa ácida
PB1: Polimerasa básica 1
PB2: Polimerasa básica 2.

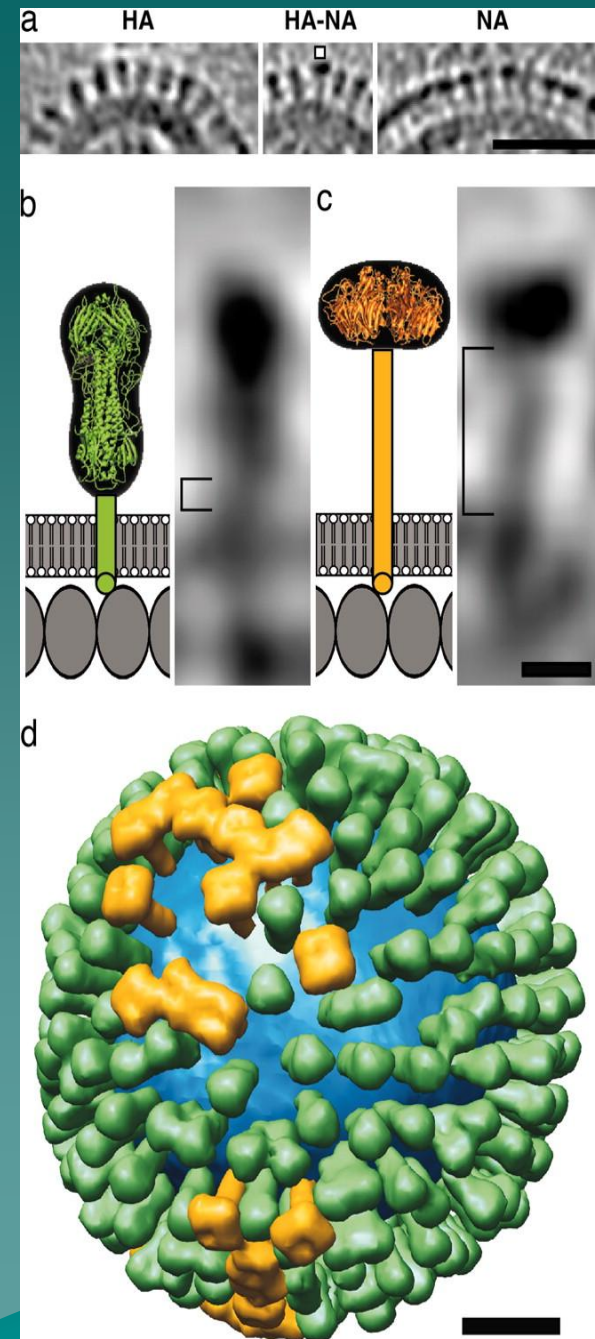
Distribución de las hemaglutininas (HA) y neuraminidasas (NA) en la superficie del virus Influenza, según su disposición espacial.

Se observa un *cluster* de hemaglutininas (panel "a", a la izquierda), una molécula de neuraminidasa en un *cluster* de hemaglutininas (panel "a", al centro) y un *cluster* de neuraminidasas (panel "a", a la derecha).

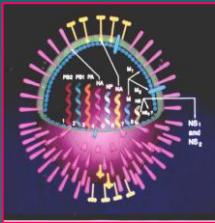
Los paneles "b" y "c" muestran dentro del recuadro respectivo la estructura de HA y NA. La barra horizontal indica 5 nm.

El panel "d" muestra un modelo de distribución de HA (en verde) y NA (en amarillo), así como de la capa lipídica de envoltura (en azul).

La barra indica 20 nm.



Fuente: Harris A. et al. PNAS 2006, 13: 19123-7.



3 tipos antigénicos (A, B y C) según Nucleoproteína (NP) y proteína de matriz (M)

	Tipo A	Tipo B	Tipo C
Subtipos	SÍ (según <i>Hemaglutinina (H)</i> y <i>Neuraminidasa (N)</i>)	No	No
Producen epidemias	SÍ	SÍ	No
Pueden producir pandemias	SÍ	No	No
Huéspedes	Aves acuáticas, aves de corral, cerdos, caballos, mamíferos acuáticos, visón, humanos	Humanos	Humanos, cerdos



Subtipos de hemaglutinina del virus Influenza A

- H1
- H2
- H3
- H4
- H5
- H6
- H7
- H8
- H9
- H10
- H11
- H12
- H13
- H14
- H15
- H16



Seres humanos



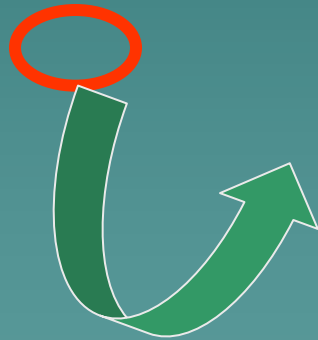
Cerdos



Aves



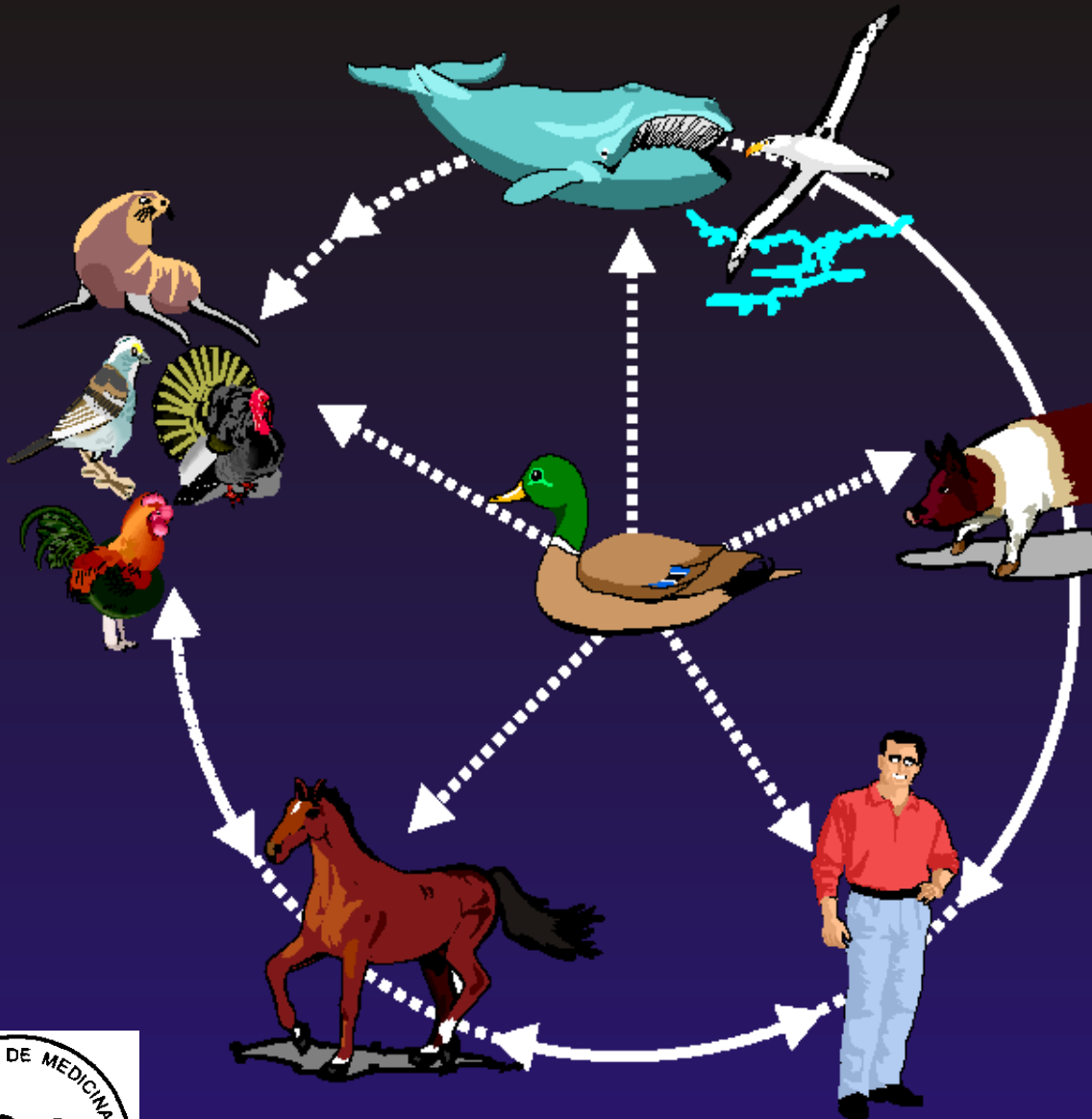
Caballos



Hemaglutininas asociadas a virosis emergentes en años recientes o en la actualidad



Reservorios del virus Influenza A





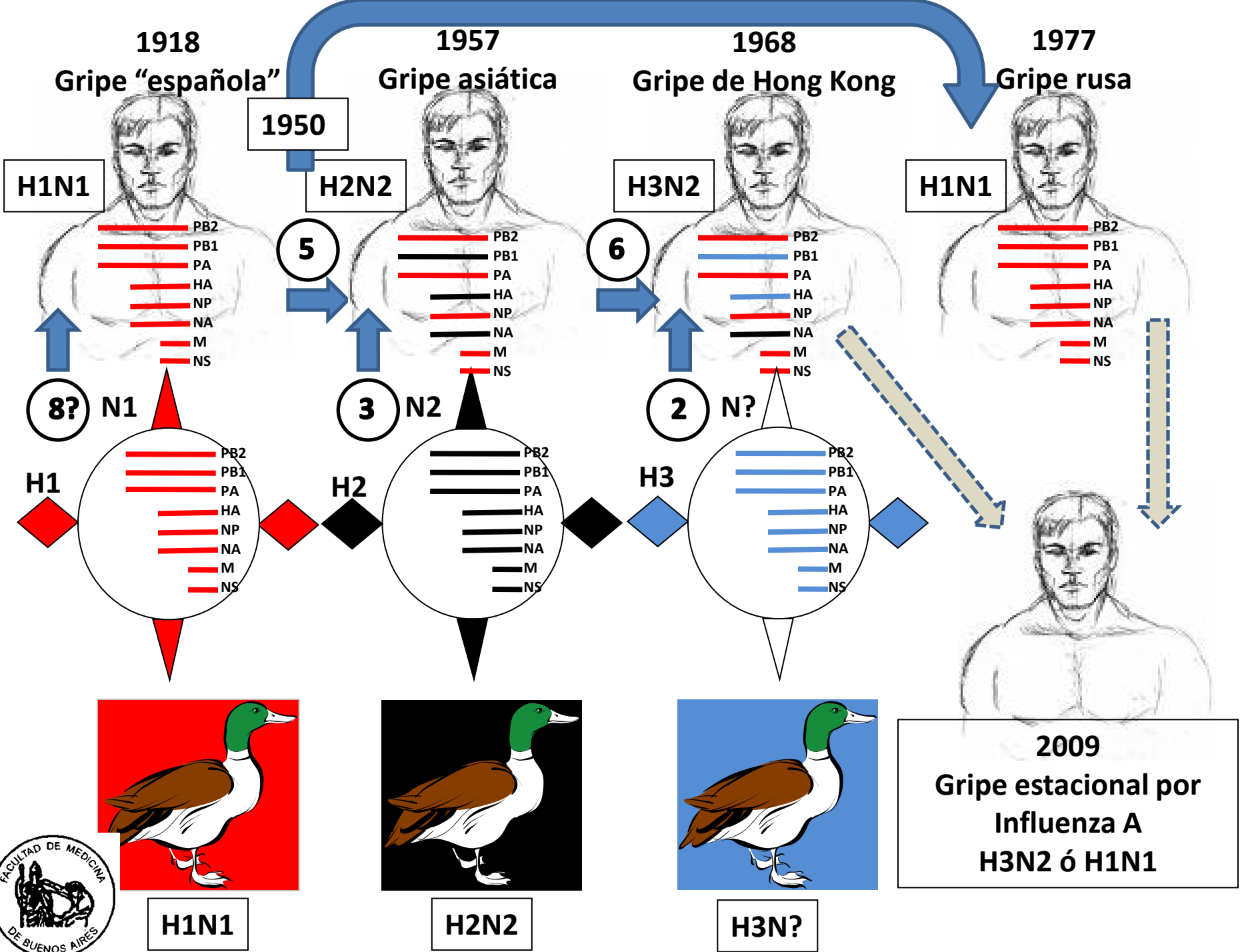
Influenza A en...



H3N2
H5N1
H3N8
(desde
caballos)

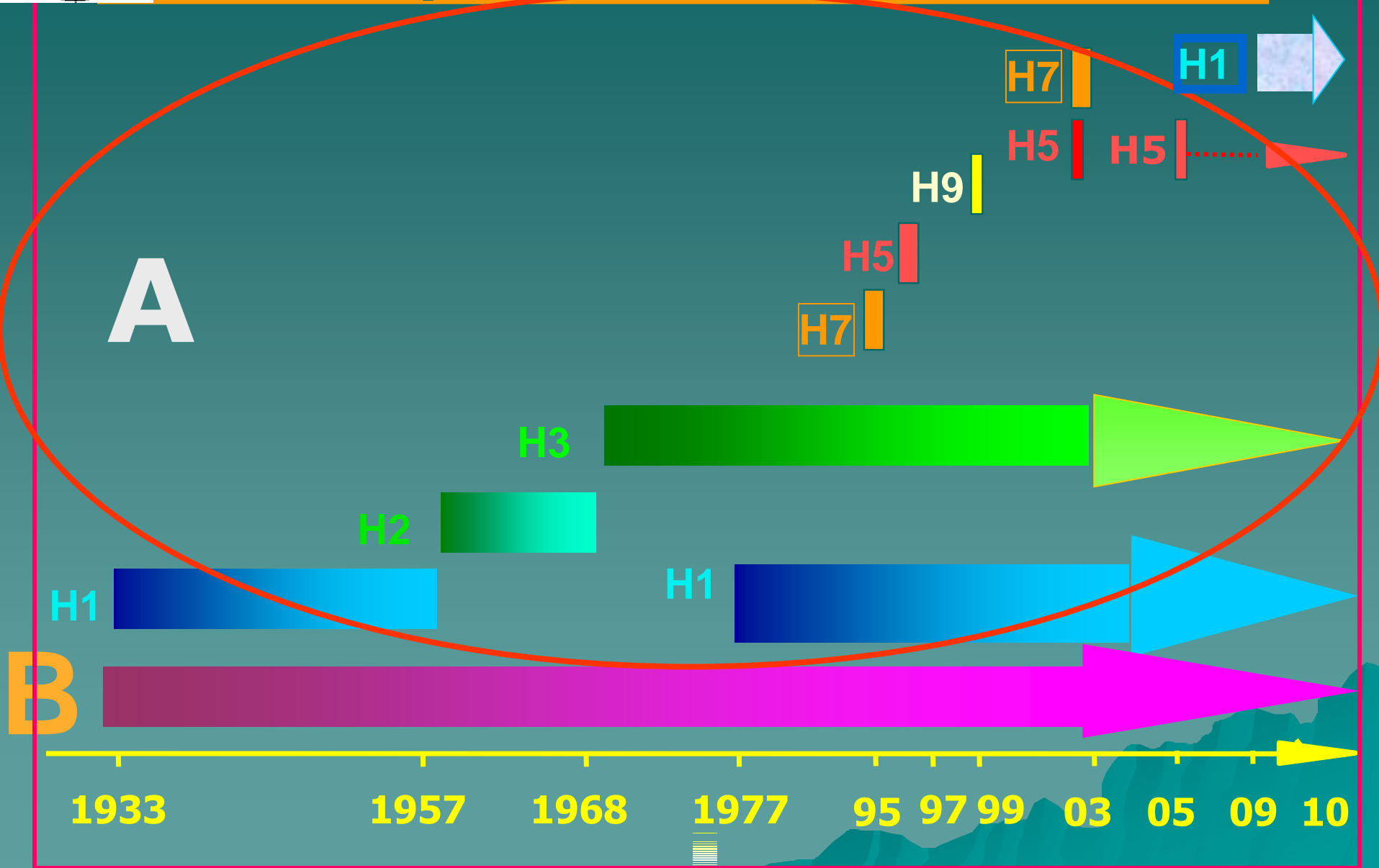
H5N1

Vet Immunol
Immunopathol
15:54-60, 2010



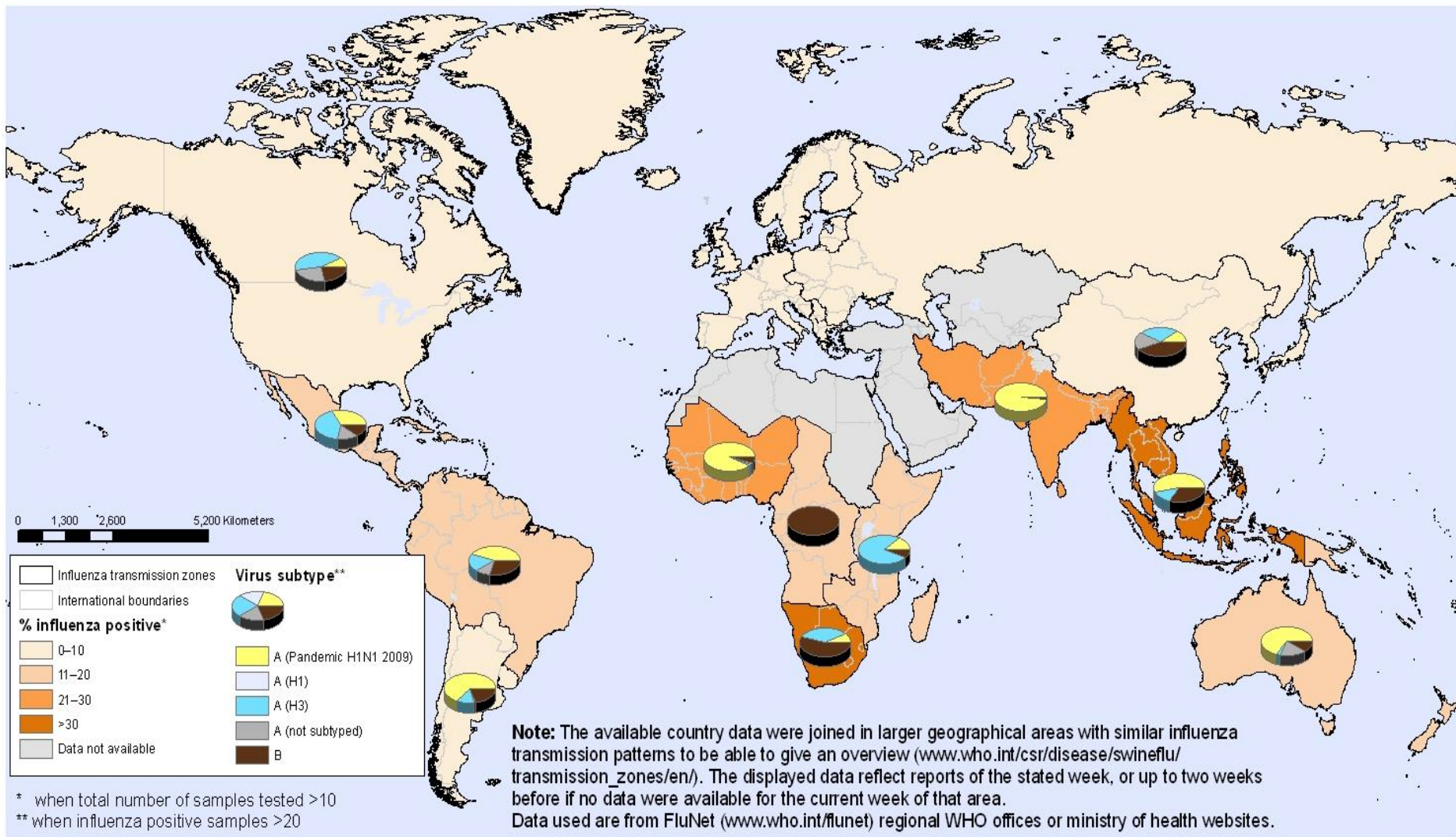


Circulación en Humanos de Tipos y Subtipos de Virus Influenza



Percentage of respiratory specimens that tested positive for influenza

Status as of week 30
25 July – 31 July 2010



* when total number of samples tested >10

** when influenza positive samples >20

The boundaries and names shown and the designations used on this map do not imply the expression of any opinion whatsoever on the part of the World Health Organization concerning the legal status of any country, territory, city or area or of its authorities, or concerning the delimitation of its frontiers or boundaries. Dotted lines on maps represent approximate border lines for which there may not yet be full agreement.

Data Source: World Health Organization
Map Production: Public Health Information and Geographic Information Systems (GIS)
World Health Organization



© WHO 2010. All rights reserved



Fase actual de alerta de la OMS para Influenza A H5N1 (aviar)

Fase inter-pandémica <i>Nuevo virus circula en animales. No C.H.</i>	Bajo riesgo de casos humanos (C.H.)	Fase 1
	Mayor riesgo de C.H.	Fase 2
Alerta de Pandemia <i>Nuevo virus causa C.H.</i>	Ausencia o limitado N° de C:H.	Fase 3
	Aumento de la transmisión interhumana	Fase 4
	Significativo aumento de la transmisión interhumana	Fase 5
Pandemia	Eficiente y sostenida transmisión interhumana	Fase 6



Fase actual de alerta de la OMS para Influenza A 2009 (H1N1)

Fase inter-pandémica <i>Nuevo virus circula en animales. No C.H.</i>	Bajo riesgo de casos humanos (C.H.)	Fase 1
	Mayor riesgo de C.H.	Fase 2
Alerta de Pandemia <i>Nuevo virus causa C.H.</i>	Ausencia o limitado N° de C:H.	Fase 3
	Aumento de la transmisión interhumana	Fase 4
	Significativo aumento de la transmisión interhumana	Fase 5
Pandemia	Eficiente y sostenida transmisión interhumana	Hasta el 10-8-2010



Pandemias de gripe

- ◆ Aprendamos del pasado...
- ◆ Exploremos el presente...
- ◆ Preparémonos para el futuro...

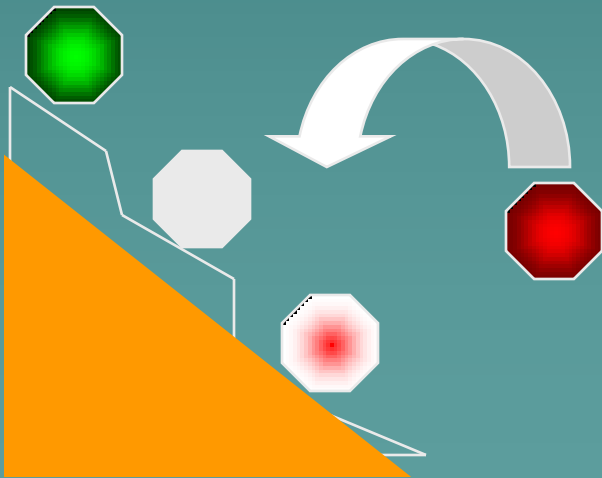
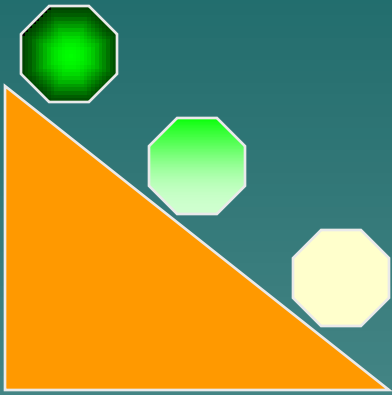
Pandemias y alertas de pandemia en los siglos XIX, XX y XXI

- ◆ 1891-92 H3
- ◆ **1918-19 "Gripe española" H1N1**
- ◆ **1957 "Gripe asiática" H2N2**
- ◆ **1968 "Gripe de Hong Kong" H3N2**
- ◆ 1976 Episodio de Fort Dix "gripe porcina"
- ◆ 1977 "Gripe rusa" H1N1
- ◆ 1997 Influenza aviar A (H5N1)
- ◆ 2004 Influenza aviar A (H5N1)
- ◆ 2005 - 2009 Influenza aviar A (H5N1)
- ◆ **2009 Influenza A (H1N1/09)**





Variabilidad del virus Influenza



- ◆ **Cambios menores:** Falta de lectura de prueba de la Polimerasa viral (no se corrigen errores: se acumulan **mutaciones**)
- ◆ **CAMBIOS MAYORES**
 - * **Reasociación** génica
 - * **Recombinación** génica
 - * **Adaptación** de una cepa de otra especie al humano



g to Bury City's Influenza Victims



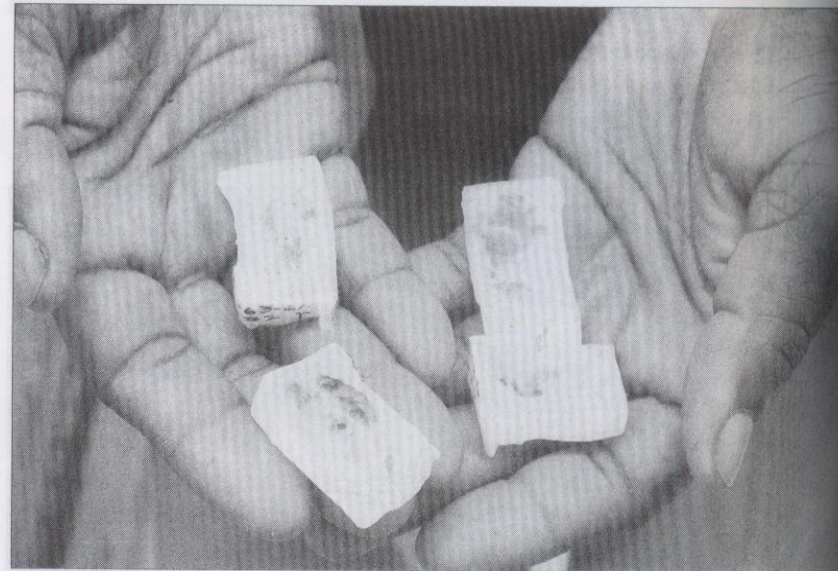
DIGGING
TRENCH GRAVES
FOR EPIDEMIC
VICTIMS



**Johan Hultin
analizando
cuerpos
congelados de
esquimales
muertos en 1918**

**(Alaska, 1957;
volvería en
1997...)**

Johan Hultin and his colleagues in Brevig, Alaska, in June 1951, standing in the mass grave of flu victims whose bodies had been preserved by permafrost since 1918. From left, Hultin, Otto Geist, Jack Layton and Albert McKee
(Courtesy of Johan Hultin)



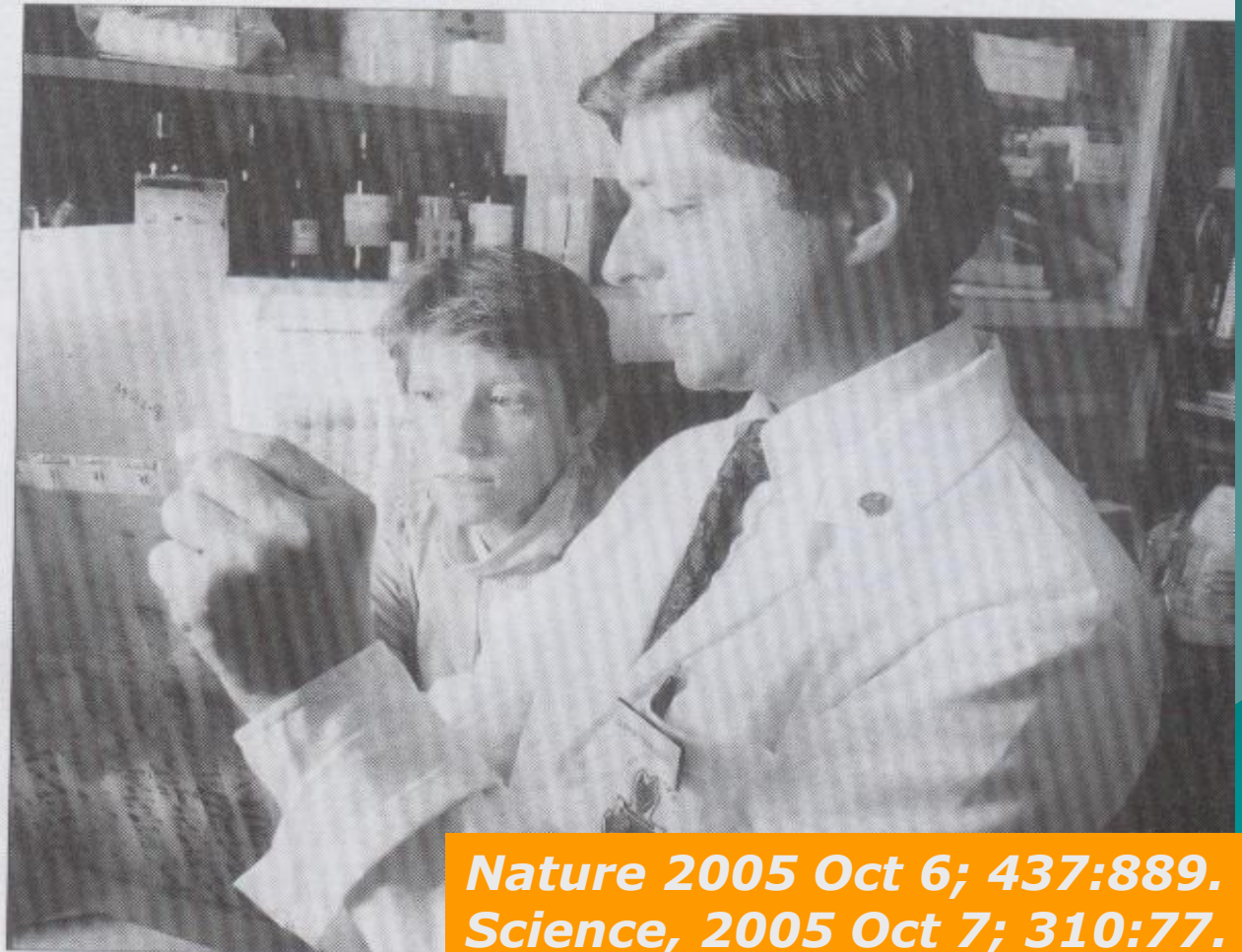
Lung tissue samples, preserved in paraffin, from victims of the 1918 flu. These and more than 3 million other tissue samples are stored in the National Tissue Repository maintained by the Armed Forces Institute of Pathology *(Courtesy of Eric Haase)*



Jeffrey Taubenberger

Secuenció el genoma completo del virus Influenza H1N1 de 1918

Jeffrey Taubenberger and Ann Reid examine DNA readouts at the Armed Forces Institute of Pathology in Washington, D.C. They are studying tissue samples from victims of the 1918 flu to try to determine what made the virus so deadly (Courtesy of Eric Haase)



***Nature* 2005 Oct 6; 437:889.
Science, 2005 Oct 7; 310:77.**



El inicio de una enfermedad emergente

Guangdong
Province





Brote de Hong Kong 1997 por Influenza A (H5N1)

Factor principal de infección:

Exposición a aves de granja una semana antes de la enfermedad.

(Período de incubación: 2-10 días)



Influenza A (H5N1) en Hong Kong Mayo - Diciembre 1997

- ◆ 18 casos confirmados (16 por aislamiento viral, 2 por seroconversión)
- ◆ 6 muertos
- ◆ Brotes concomitantes de enfermedad por A(H5N1) en aves de corral.
A/goose/Guangdong/1/96(H5N1). HPAI para pollos pero no para patos.
- ◆ Todos los genes de los virus A (H5N1) eran derivados de virus de influenza aviaries.
- ◆ No hubo evidencia de reasociación con virus influenza humanos.

Eliminación (sin protección) de pollos probablemente muertos por Influenza H5N1 Tailandia, Febrero de 2004



¿Qué se requiere para la emergencia de una pandemia de influenza ?

1. **Emergencia de una nueva cepa de influenza con una nueva HA o una nueva HA y NA (*shift* antigénico).**
2. **Susceptibilidad de la mayoría de la población para la nueva cepa.**
3. **Transmisión humano-humano eficiente del nuevo virus.**



Virus influenza humano

Virus
pandémico

Fuente
aviar

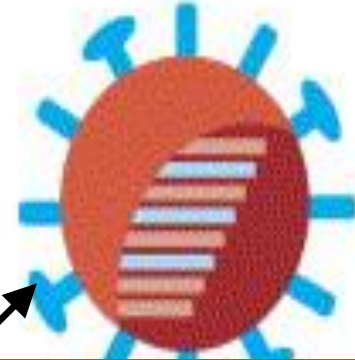
H5N1

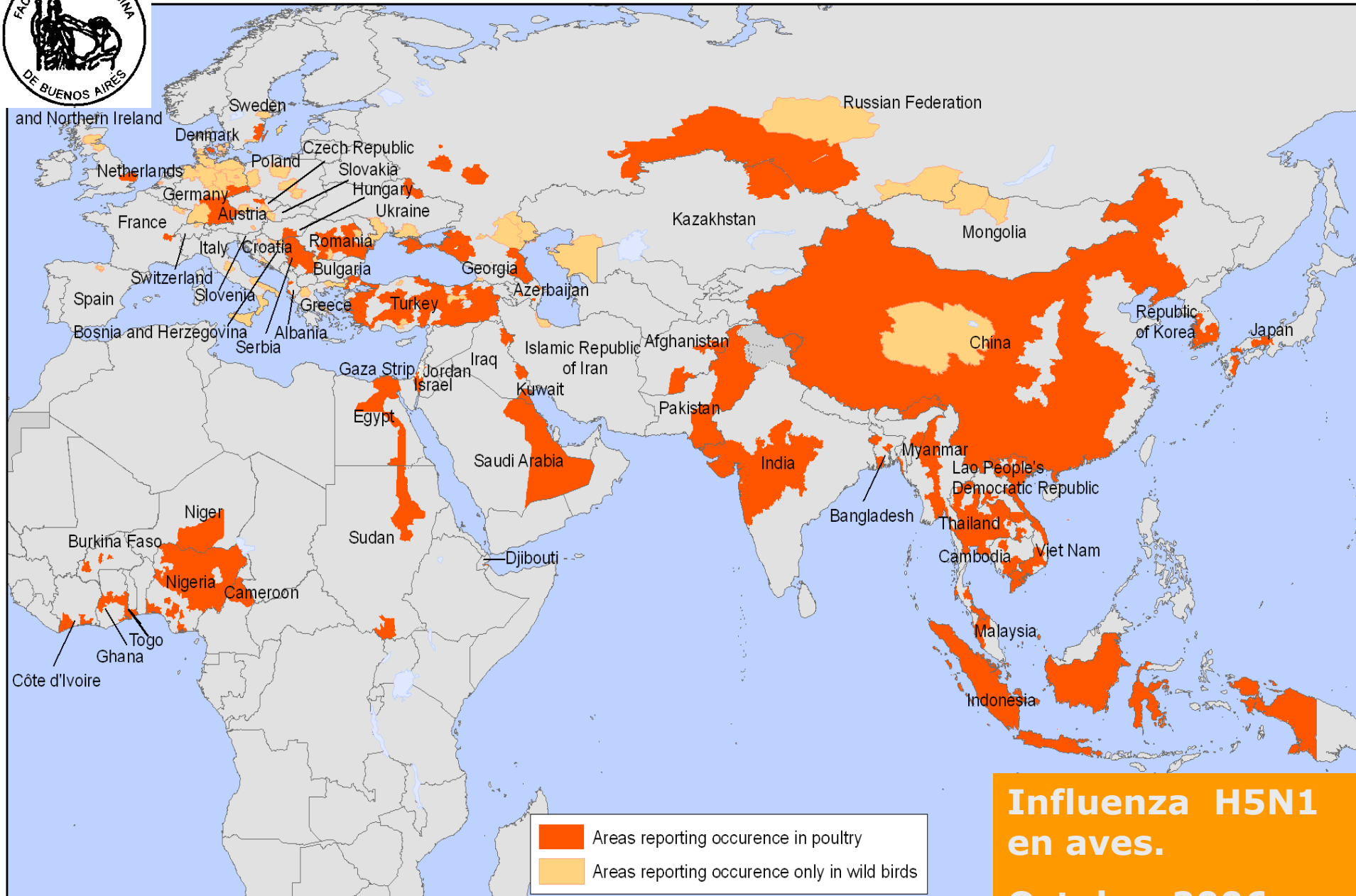
Humano
infectado

Reasociación

Mutación

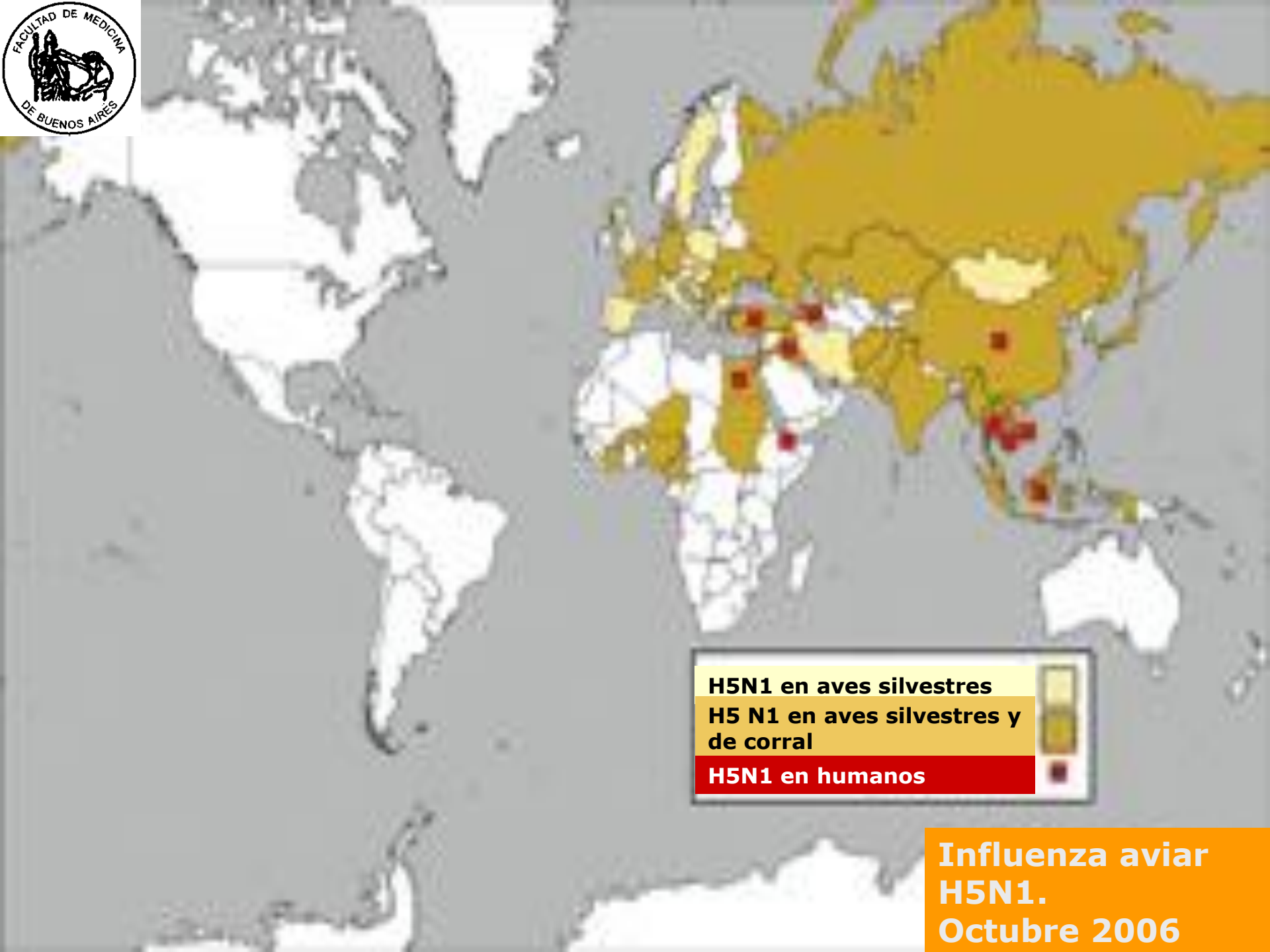
Alerta de
pandemia





**Influenza H5N1
en aves.
Octubre 2006**



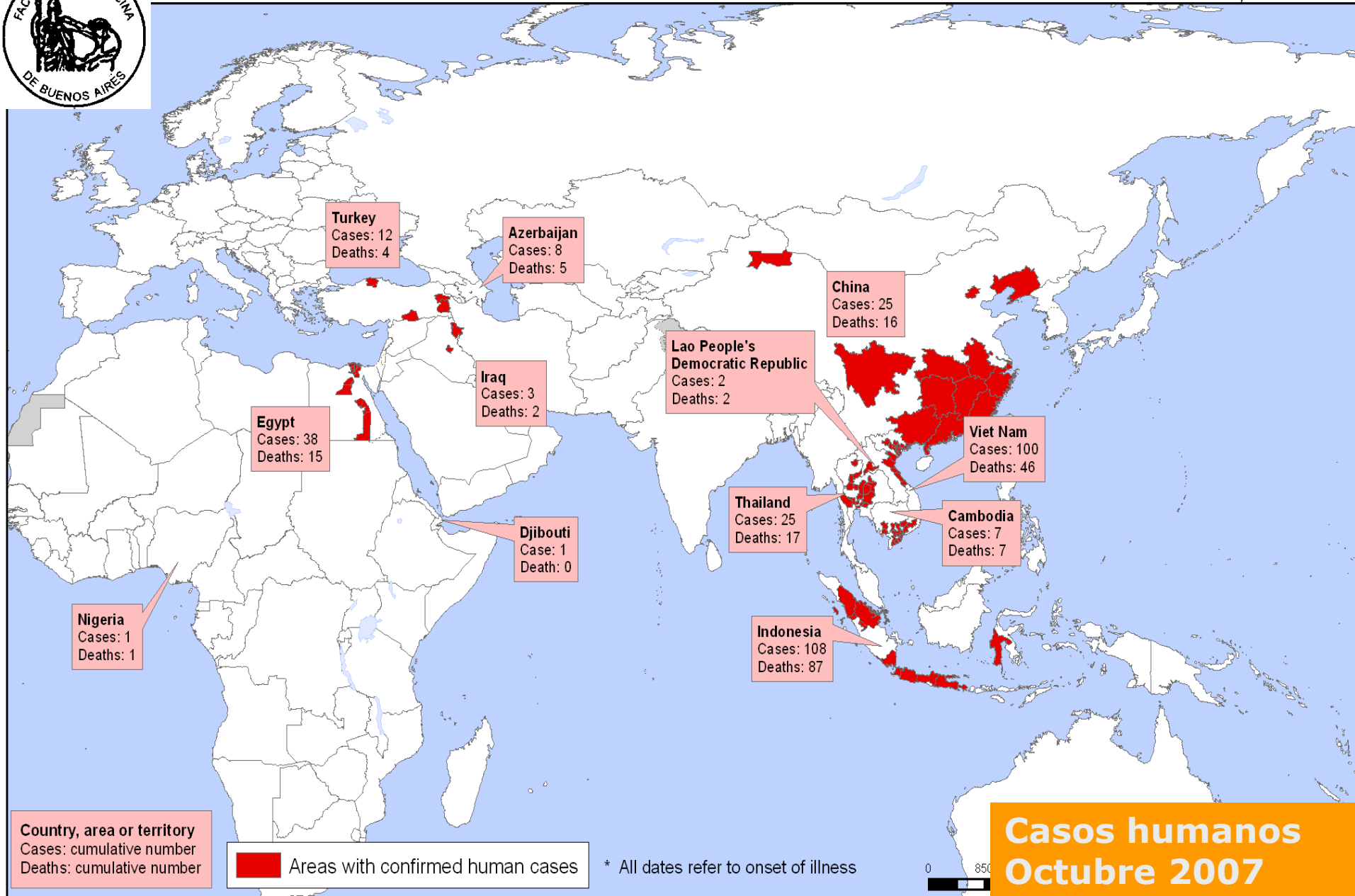


**Influenza aviar
H5N1.
Octubre 2006**



firmed human cases of H5N1 avian influenza since 2003 *

Status as of 08 October 2007
Latest available update



The boundaries and names shown and the designations used on this map do not imply the expression of any opinion whatsoever on the part of the World Health Organization concerning the legal status of any country, territory, city or area or of its authorities, or concerning the delimitation of its frontiers or boundaries. Dotted lines on maps represent approximate border lines for which there may not yet be full agreement.

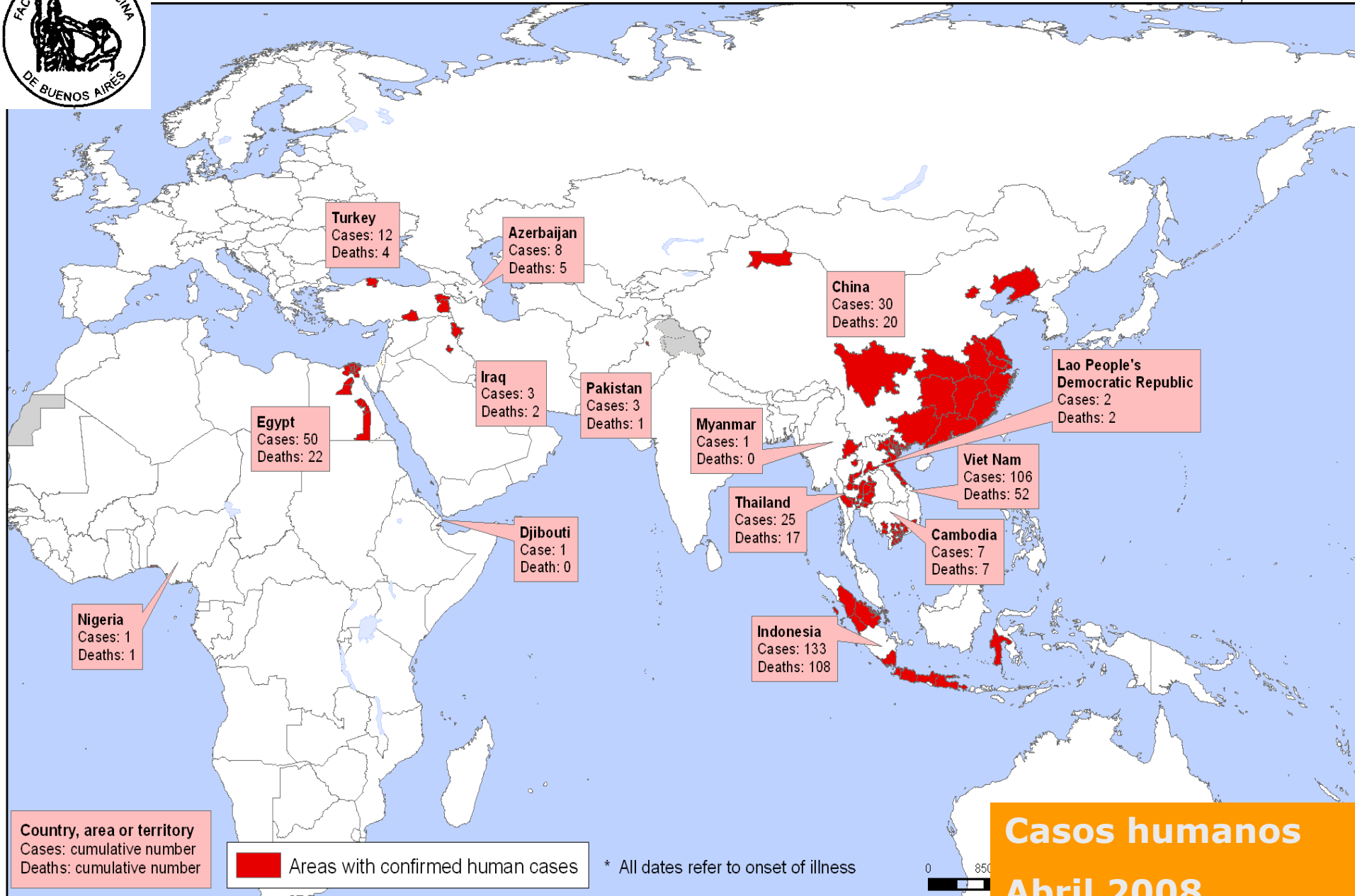
Data Source: WHO / Map Production: Public Health Mapping and GIS
Communicable Diseases (CDS) World Health Organization

© WHO 2007. All rights reserved



firmed human cases of H5N1 avian influenza since 2003 *

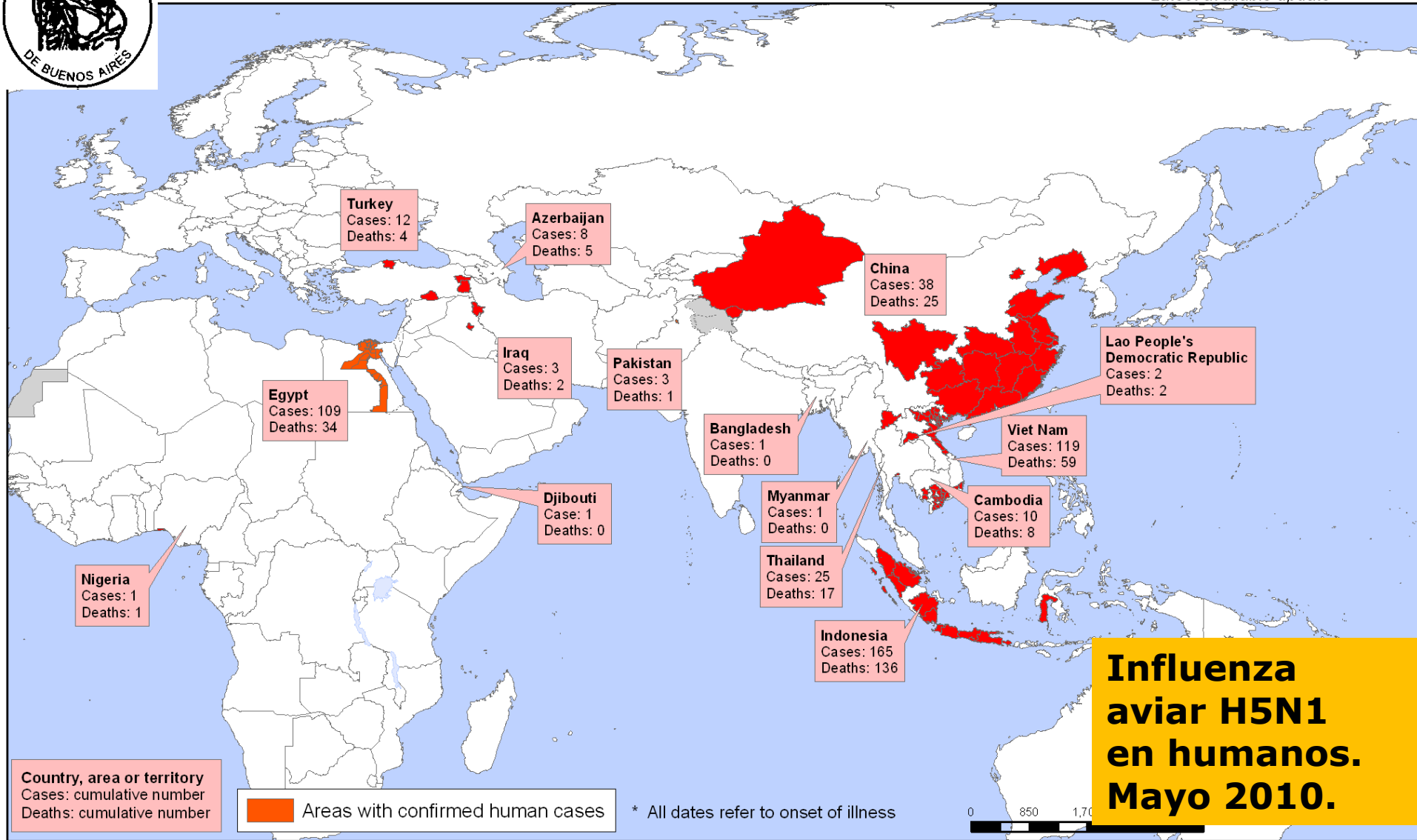
Status as of 30 April 2008
Latest available update





Confirmed human cases of H5N1 avian influenza since 2003 *

Status as of 06 May 2010
Latest available update



**Influenza
aviar H5N1
en humanos.
Mayo 2010.**



The boundaries and names shown and the designations used on this map do not imply the expression of any opinion whatsoever on the part of the World Health Organization concerning the legal status of any country, territory, city or area or of its authorities, or concerning the delimitation of its frontiers or boundaries. Dotted lines on maps represent approximate border lines for which there may not yet be full agreement. © WHO 2010. All rights reserved.

Data Source: WHO
Map Production: Public Health Information and Geographic Information System (GIS)
World Health Organization



عربي | 中文 | English | Français | Русский | Español

All WHO This site only

- [Home](#)
- [About WHO](#)
- [Countries](#)
- [Health topics](#)
- [Publications](#)
- [Data and statistics](#)
- [Programmes and projects](#)
- [GAR Home](#)
- [Alert & Response Operations](#)
- [Diseases](#)
- [Global Outbreak Alert & Response Network](#)
- [Biorisk Reduction](#)

Global Alert and Response (GAR)

[Country activities](#) | [Outbreak news](#) | [Resources](#) | [Media centre](#)

[WHO > Programmes and projects > Global Alert and Response \(GAR\) > Diseases covered by GAR > Avian influenza > Confirmed Human Cases of Avian Influenza A\(H5N1\)](#)
[printable version](#)

Cumulative Number of Confirmed Human Cases of Avian Influenza A/(H5N1) Reported to WHO

12 August 2010

Country	2003		2004		2005		2006		2007		2008		2009		2010		Total	
	cases	deaths	cases	deaths	cases	deaths	cases	deaths	cases	deaths	cases	deaths	cases	deaths	cases	deaths	cases	deaths
Azerbaijan	0	0	0	0	0	0	8	5	0	0	0	0	0	0	0	0	8	5
Bangladesh	0	0	0	0	0	0	0	0	0	0	1	0	0	0	0	0	1	0
Cambodia	0	0	0	0	4	4	2	2	1	1	1	0	1	0	1	1	10	8
China	1	1	0	0	8	5	13	8	5	3	4	4	7	4	1	1	39	26
Djibouti	0	0	0	0	0	0	1	0	0	0	0	0	0	0	0	0	1	0
Egypt	0	0	0	0	0	0	18	10	25	9	8	4	39	4	21	8	111	35
Indonesia	0	0	0	0	20	13	55	45	42	37	24	20	21	19	6	5	168	139
Iraq	0	0	0	0	0	0	3	2	0	0	0	0	0	0	0	0	3	2
Lao People's Democratic Republic	0	0	0	0	0	0	0	0	2	2	0	0	0	0	0	0	2	2
Myanmar	0	0	0	0	0	0	0	0	1	0	0	0	0	0	0	0	1	0
Nigeria	0	0	0	0	0	0	0	0	1	1	0	0	0	0	0	0	1	1
Pakistan	0	0	0	0	0	0	0	0	3	1	0	0	0	0	0	0	3	1
Thailand	0	0	17	12	5	2	3	3	0	0	0	0	0	0	0	0	25	17
Turkey	0	0	0	0	0	0	12	4	0	0	0	0	0	0	0	0	12	4
Viet Nam	3	3	29	20	61	19	0	0	8	5	6	5	5	5	7	2	118	59
Total	4	4	46	32	98	43	115	79	88	59	44	33	73	32	36	17	504	299

Total number of cases includes number of deaths.
 WHO reports only laboratory-confirmed cases.
 All dates refer to onset of illness.
 Indonesia numbers indicate cumulative total of sporadic cases and deaths which occurred during 2009.

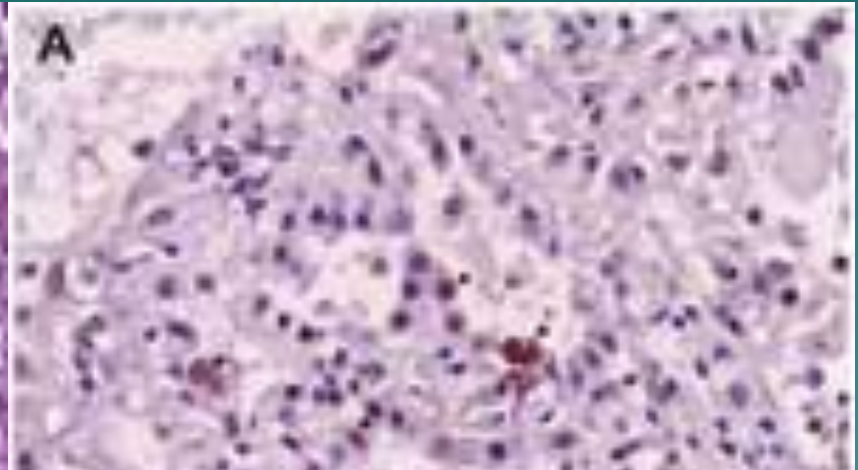
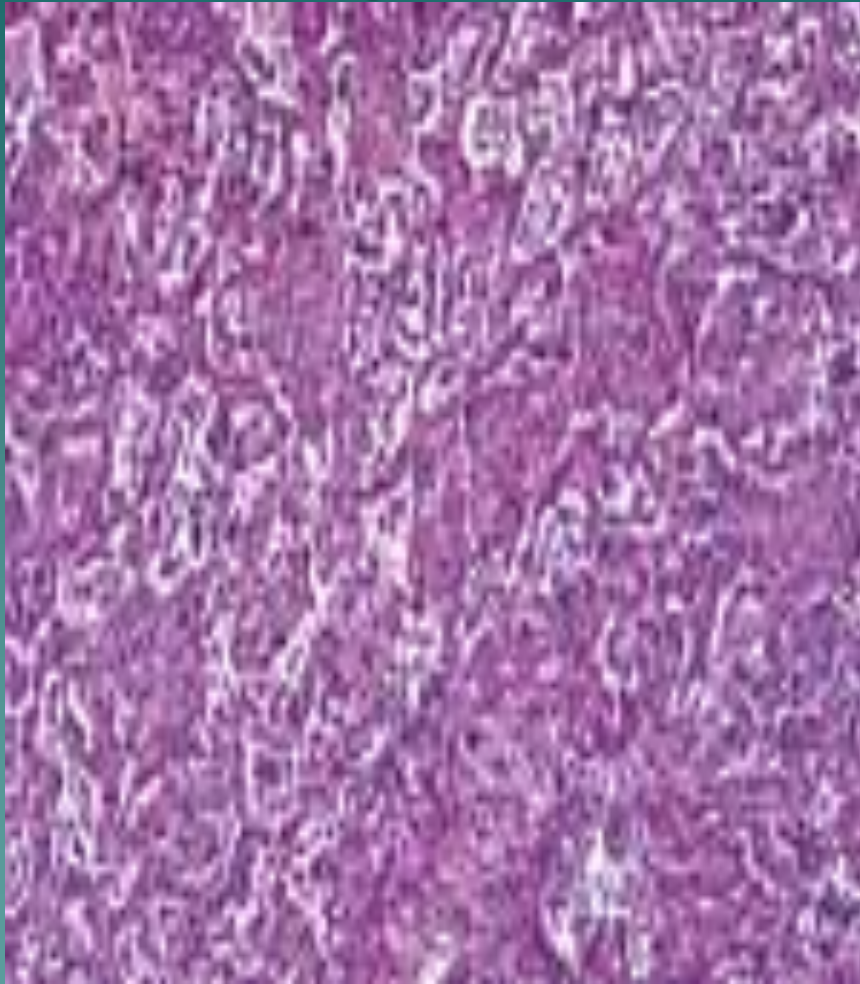
Cumulative Number of Confirmed Human Cases of Avian Influenza A/(H5N1) Reported to WHO

16 June 2011

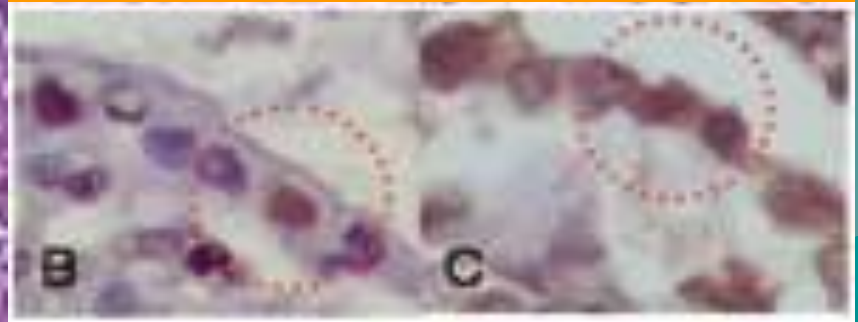
Country	2003		2004		2005		2006		2007		2008		2009		2010		2011		Total	
	cases	deaths	cases	deaths	cases	deaths	cases	deaths	cases	deaths	cases	deaths	cases	deaths	cases	deaths	cases	deaths	cases	deaths
Azerbaijan	0	0	0	0	0	0	8	5	0	0	0	0	0	0	0	0	0	0	8	5
Bangladesh	0	0	0	0	0	0	0	0	0	0	1	0	0	0	0	0	2	0	3	0
Cambodia	0	0	0	0	4	4	2	2	1	1	1	0	1	0	1	1	6	6	16	14
China	1	1	0	0	8	5	13	8	5	3	4	4	7	4	2	1	0	0	40	26
Djibouti	0	0	0	0	0	0	1	0	0	0	0	0	0	0	0	0	0	0	1	0
Egypt	0	0	0	0	0	0	18	10	25	9	8	4	39	4	29	13	30	11	149	51
Indonesia	0	0	0	0	20	13	55	45	42	37	24	20	21	19	9	7	7	5	178	146
Iraq	0	0	0	0	0	0	3	2	0	0	0	0	0	0	0	0	0	0	3	2
Lao People's Democratic Republic	0	0	0	0	0	0	0	0	2	2	0	0	0	0	0	0	0	0	2	2
Myanmar	0	0	0	0	0	0	0	0	1	0	0	0	0	0	0	0	0	0	1	0
Nigeria	0	0	0	0	0	0	0	0	1	1	1	0	0	0	0	0	0	0	1	1
Pakistan	0	0	0	0	0	0	0	0	3	1	0	0	0	0	0	0	0	0	3	1
Thailand	0	0	17	12	5	2	3	3	0	0	0	0	0	0	0	0	0	0	25	17
Turkey	0	0	0	0	0	0	12	4	0	0	0	0	0	0	0	0	0	0	12	4
Viet Nam	3	3	29	20	61	19	0	0	8	5	6	5	5	5	7	2	0	0	119	59
Total	4	4	46	32	98	43	115	79	88	59	44	33	73	32	48	24	45	22	561	328



Neumonía intersticial por Influenza A H5N1



Infiltrado intersticial y expresión de antígenos virales





Mecanismos patogénicos de Influenza

Estrategias

- ◆ Resistencia
- ◆ Contraataque
- ◆ Escape

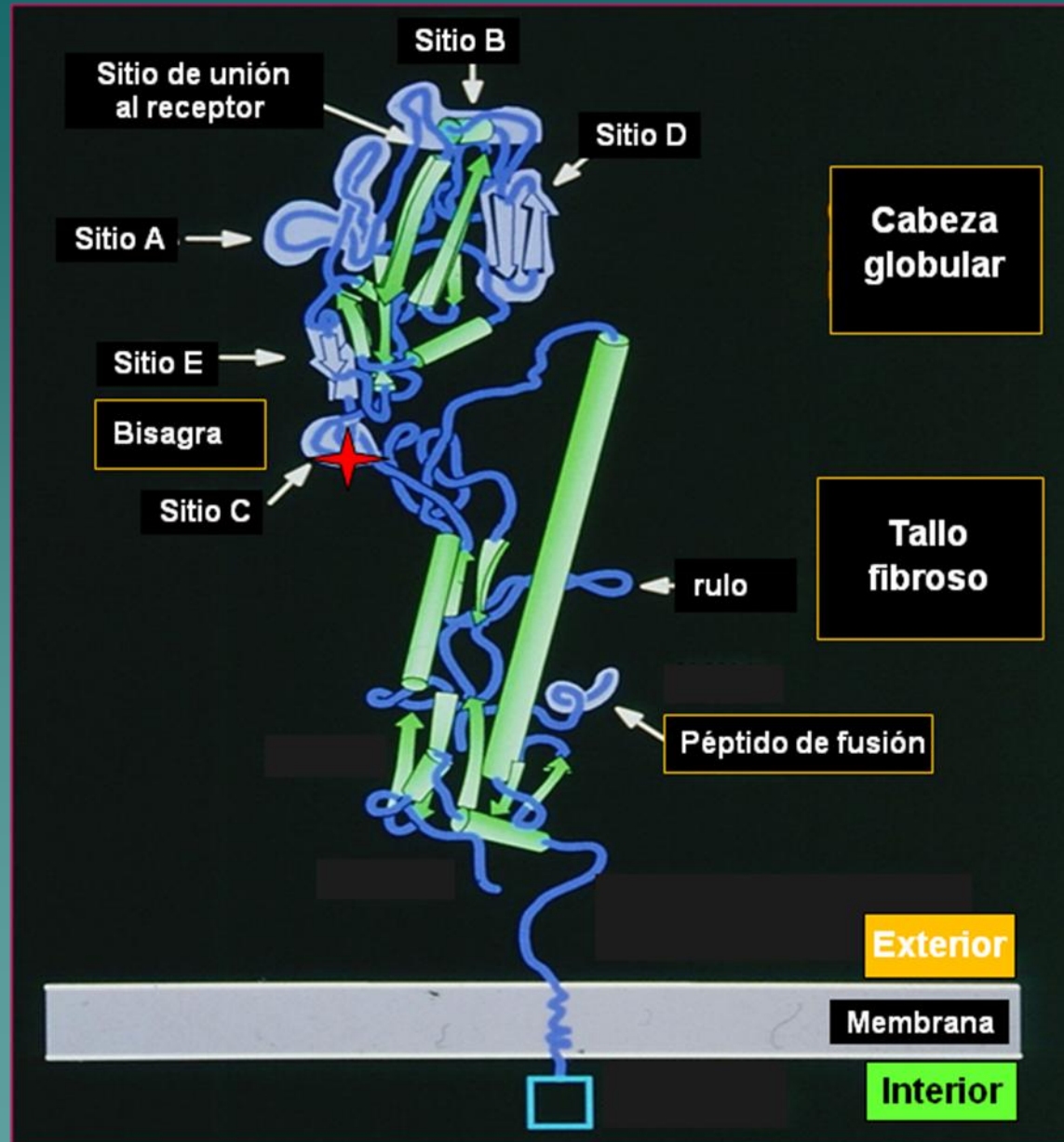


Escape a la respuesta inmune (por modificación viral)

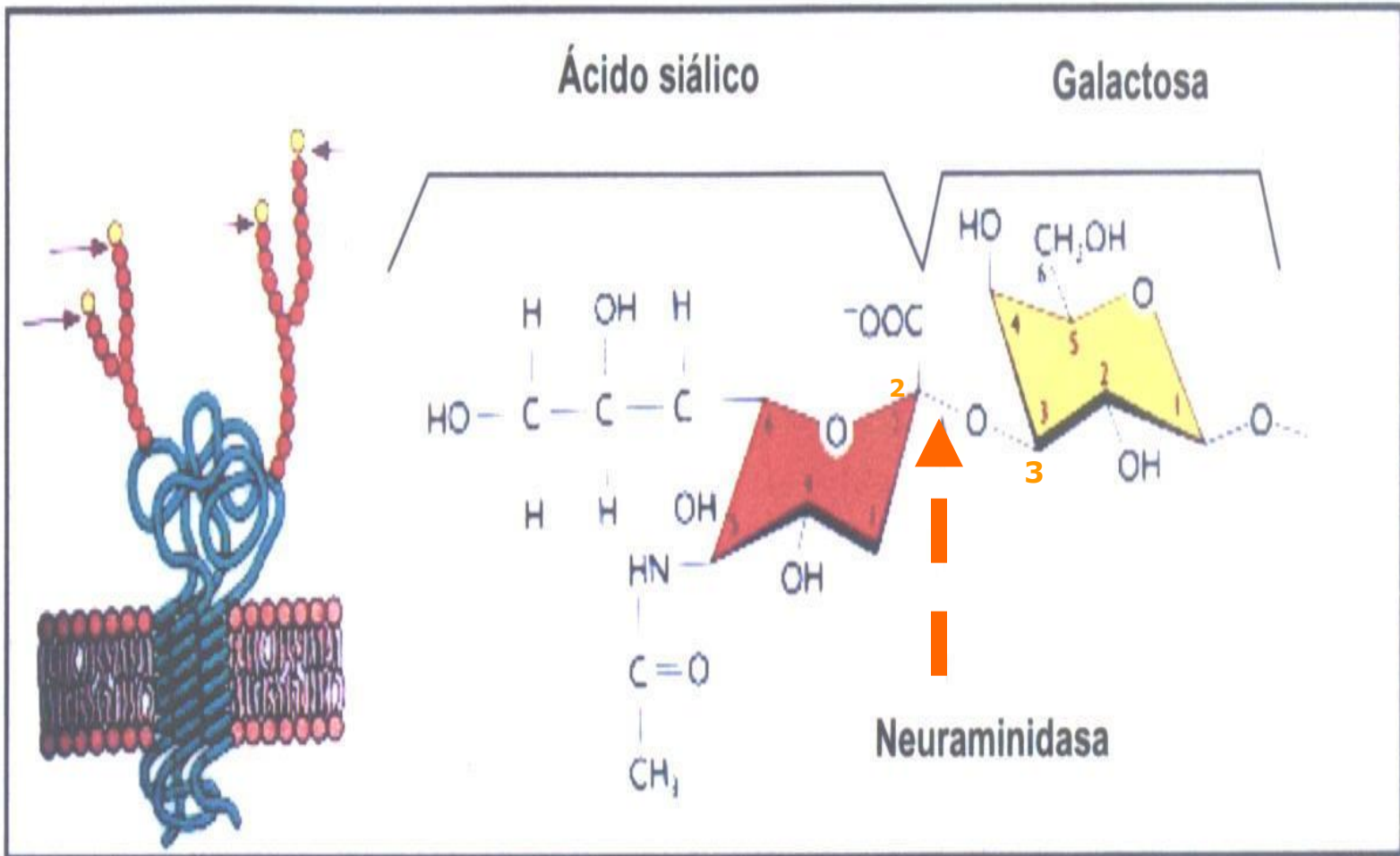


- ◆ Modificación de epítopes T y B (cambios menores)
- ◆ **Introducción (por reasociación o adaptación génica) de nuevos antígenos (cambios mayores) con alta virulencia**

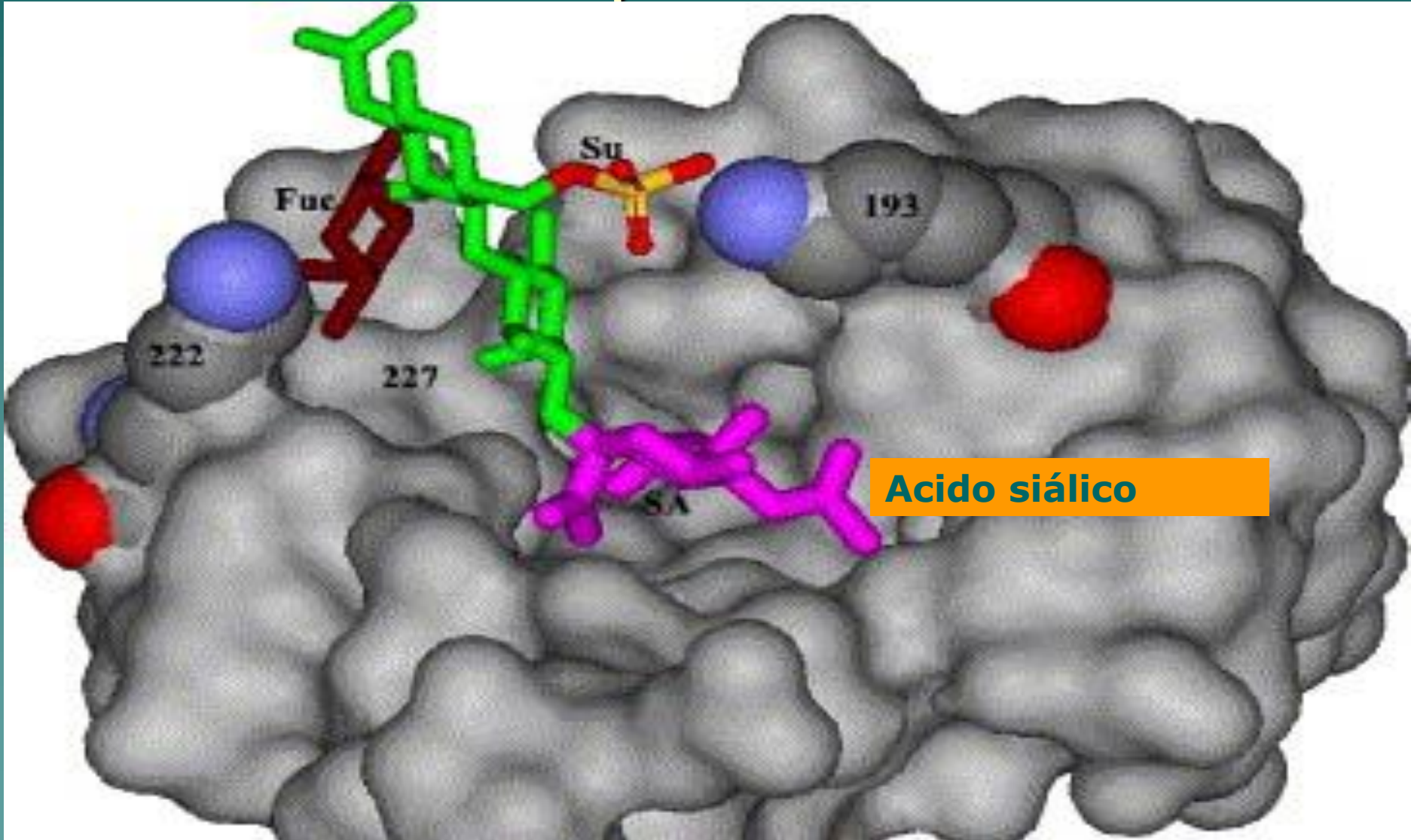
ESQUEMA DE UN MONÓMERO DE HA



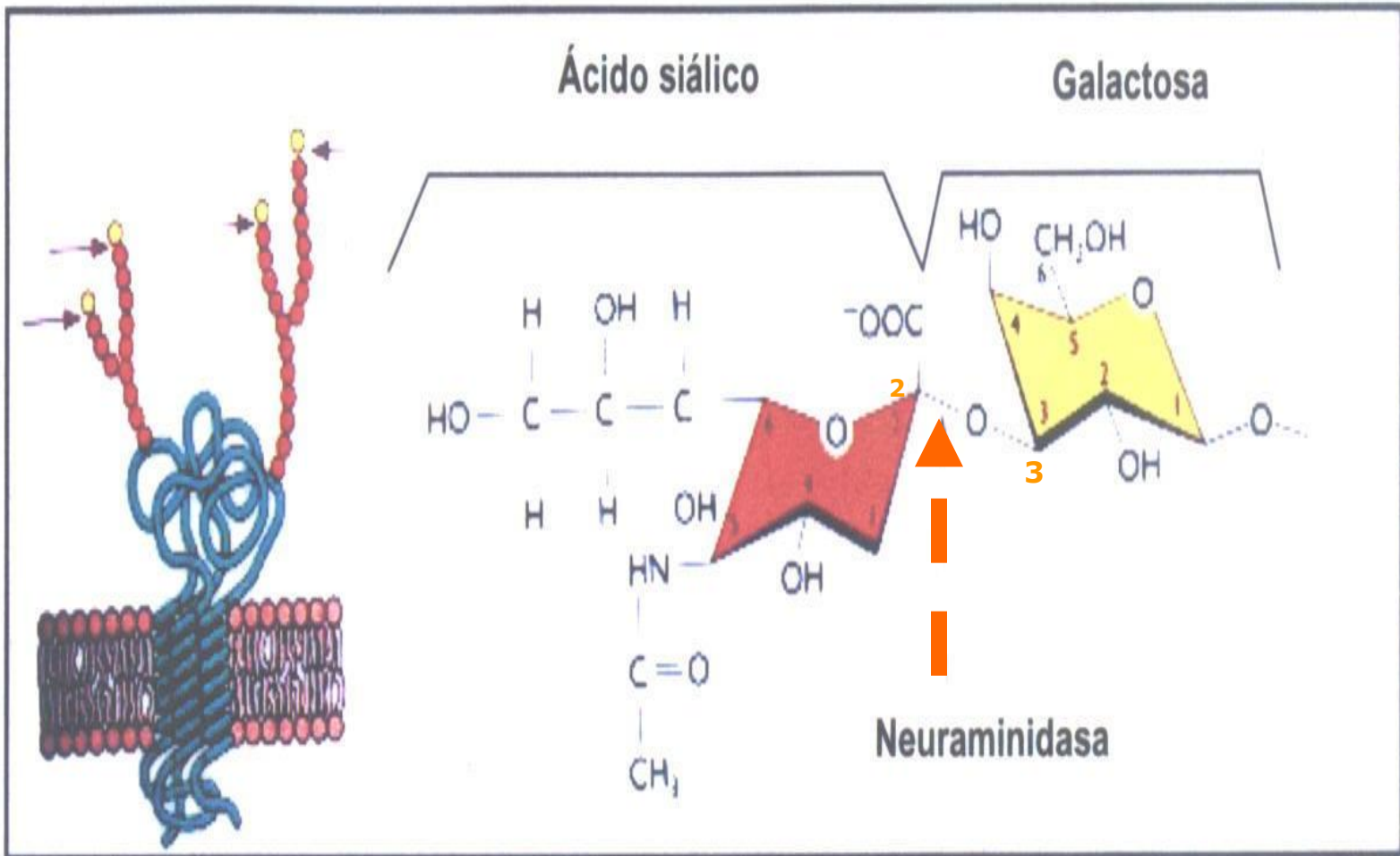
Reconocimiento del receptor de ácido siálico con 2-3 Galactosa

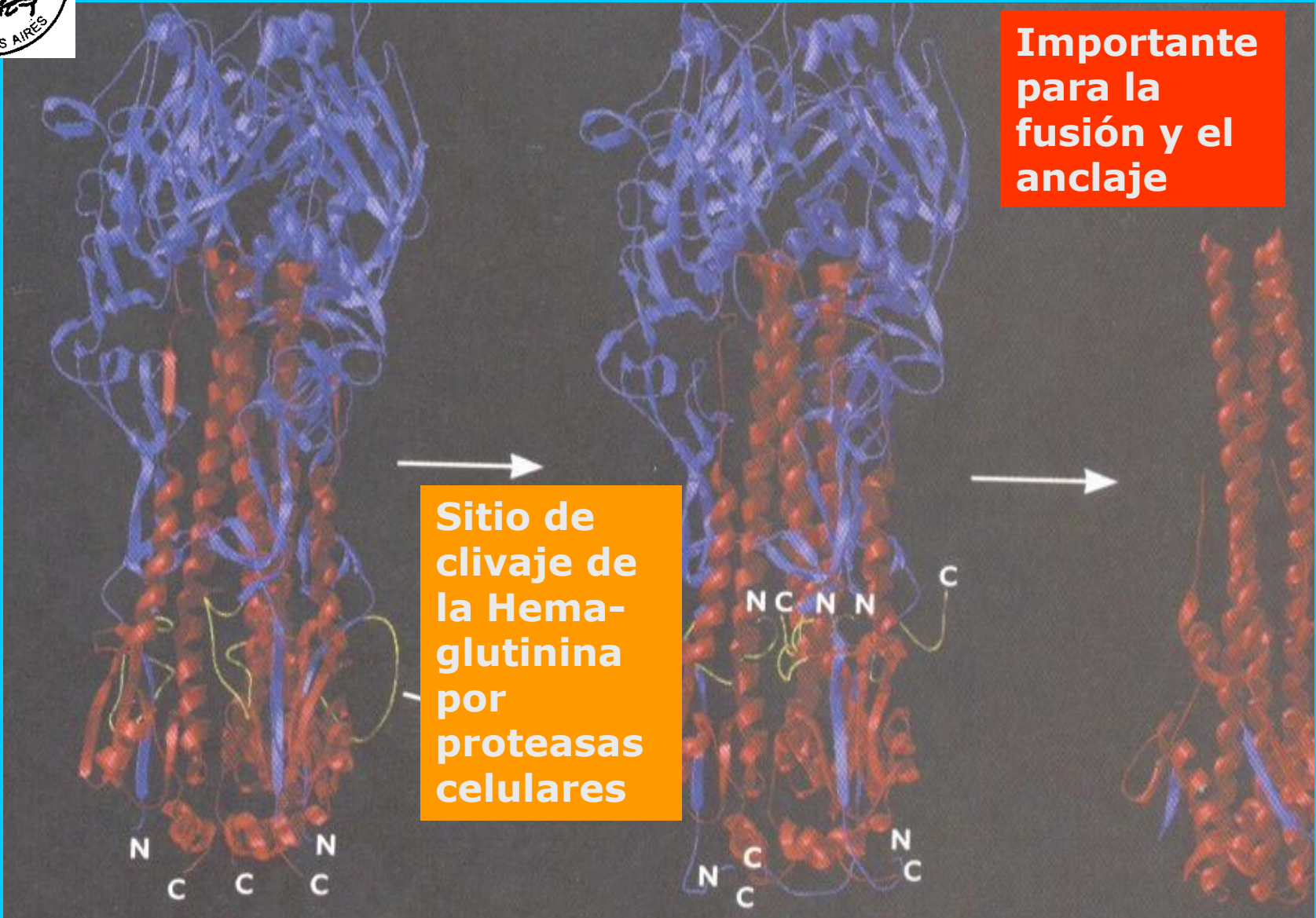


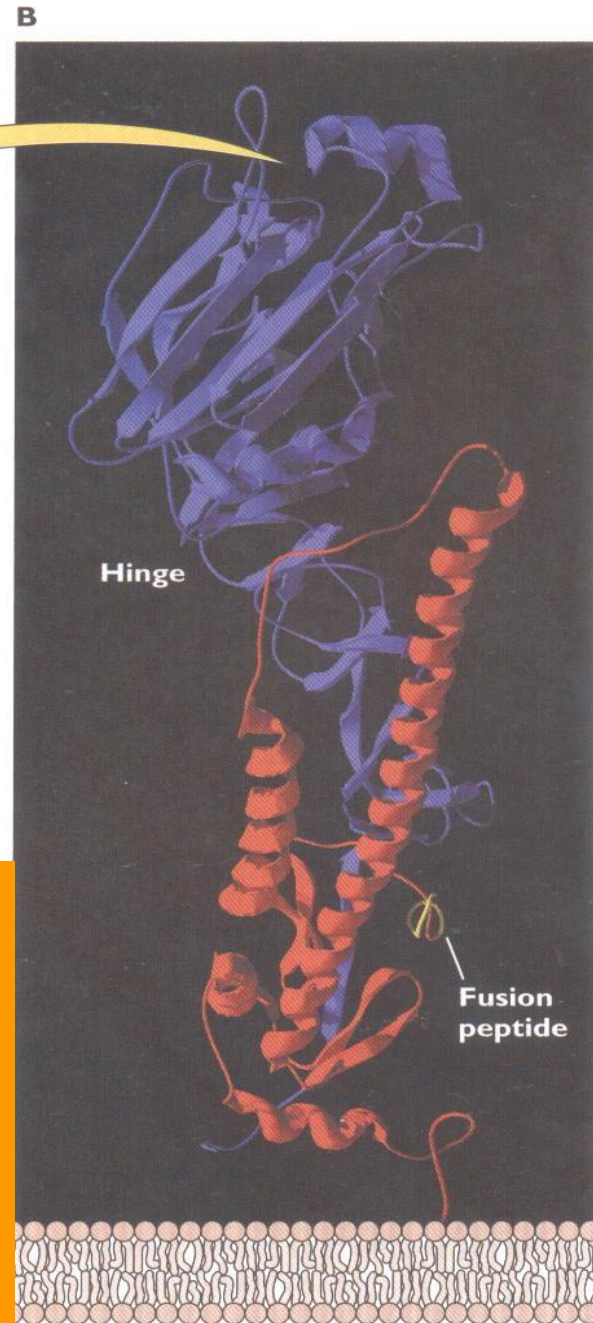
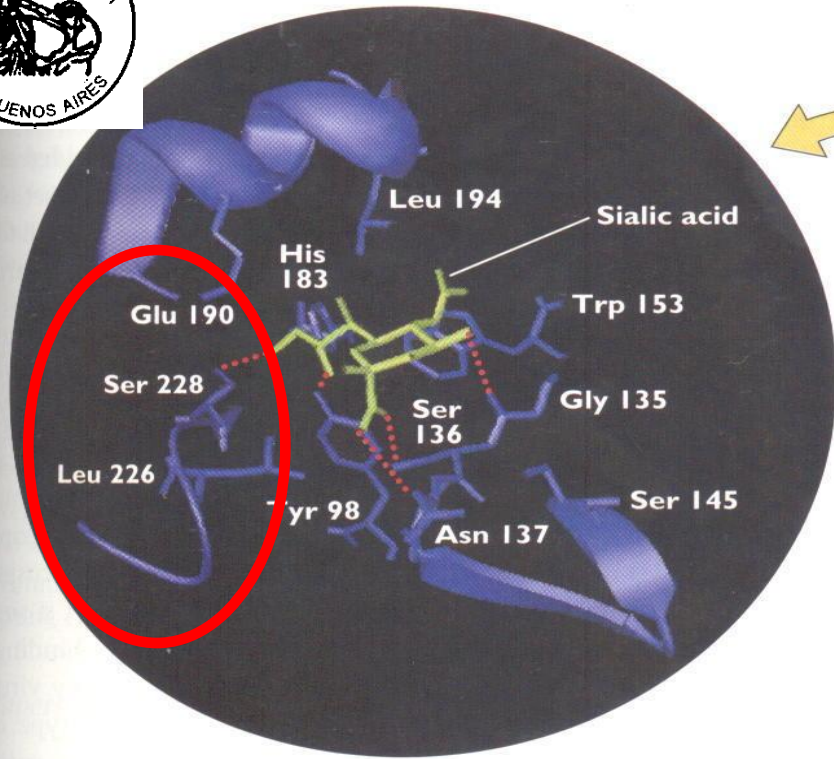
Unión de la hemaglutinina viral al receptor celular



Clivaje de ácido siálico por la Neuraminidasa viral







**Unión al receptor
de Ácido siálico, 2-6
Galactosa y sitio de
clivaje de la
hemagglutinina**

**Asa
fibrosa**

Membrana



Hemagglutinina de Influenza H5

HA1

HA2



Avirulenta

... . RETR*GLF

Altamente patógena

... . RKKR*GLF

HK humanos

...RERRRKKR*GLF

La presencia de múltiples aminoácidos básicos Arg –R- o Lys –K- adyacentes al sitio de clivaje de la HA aumenta el tropismo para diferentes tejidos de los virus aviaries.

Factores virales en la infección por Influenza H5 N1

◆ **Patogenicidad:**
multigénica

HA

NA

PB1

PB2 (Lisina 627 y
Asparagina 701):
aumentan capacidad
replicativa;

NS1 (Ac. Glutámico 92:
bloquea inhibición por
IFN)

◆ **Transmisibilidad**
multigénica

HA

NA

PB1

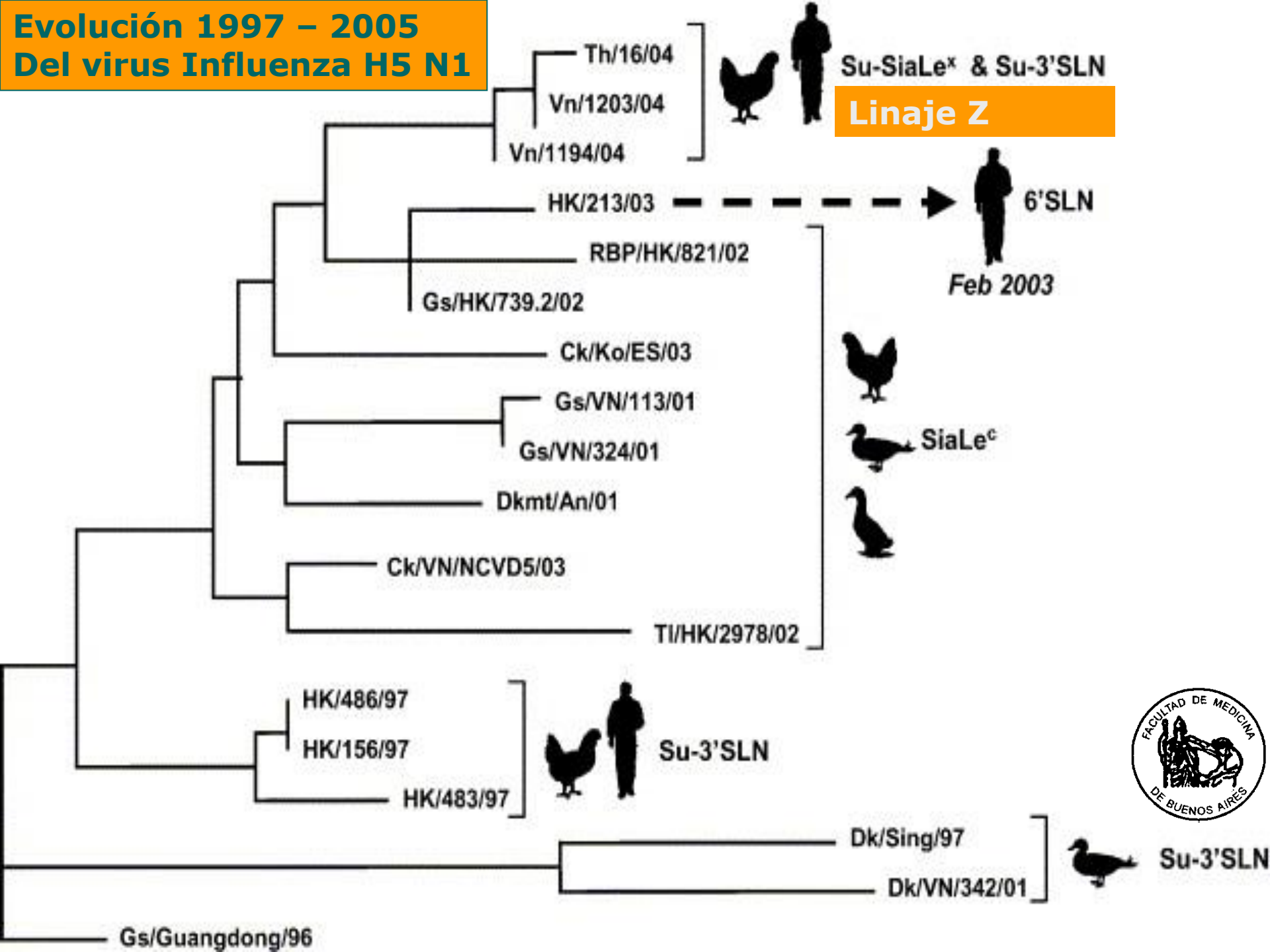


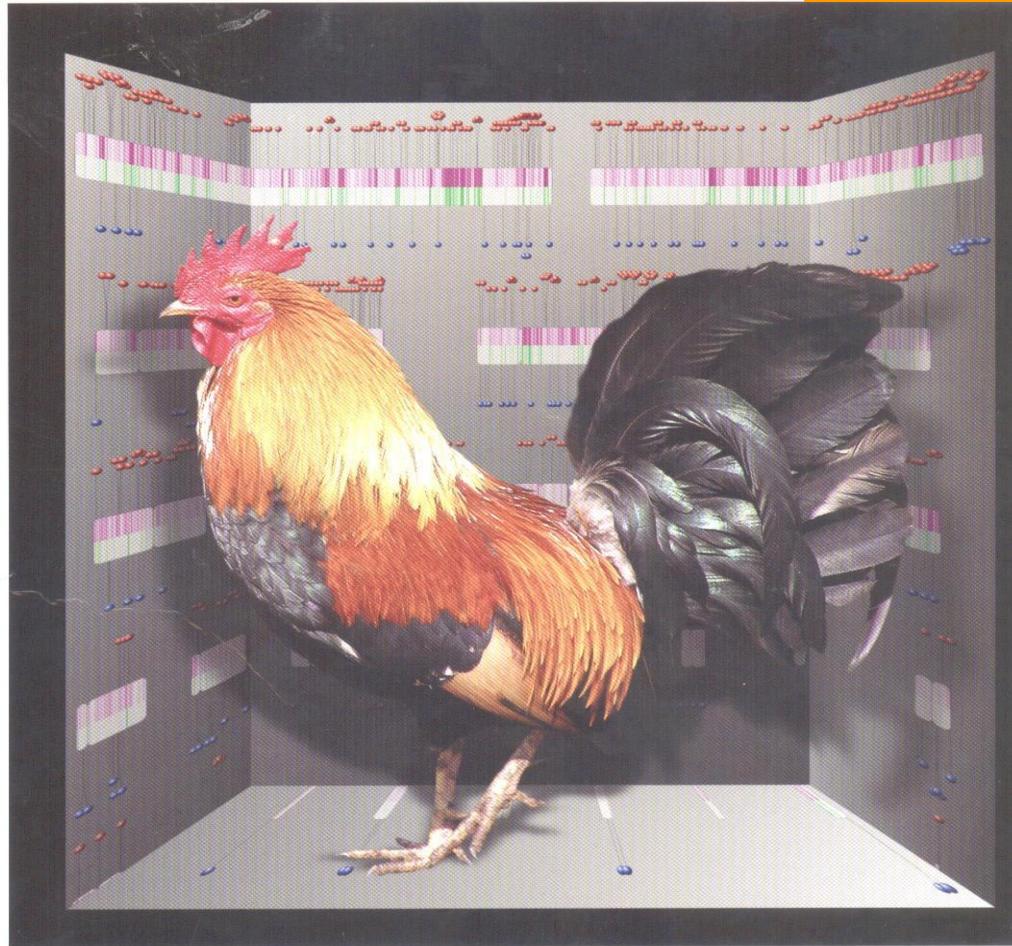


Restricción de especie del virus Influenza

Influenza	AA en Hemagglutinina	Unión a receptor
Humana	226 Leu 228 Ser (bolsillo ancho)	Humano Ac. Siálico α -2,6-Galactosa (tracto alto)
Aviar (H5N1)	226 Gln 228 Gly (bolsillo estrecho) E190	Aviar Ac. Siálico α -2,3-Galactosa (también en células cuboidales no ciliadas bronquiolares y en neumonocitos tipo II humanos)
H1N1 (gripe española)	226 Gln 228 Gly + D190	Humano Ac. Siálico α -2,6-galactosa

**Evolución 1997 - 2005
Del virus Influenza H5 N1**





Journal of Virology

Molecular Basis of Replication of Duck H5N1 Influenza Viruses in a Mammalian Mouse Model

Zejun Li,¹ Hualan Chen,^{1*} Peirong Jiao,¹ Guohua Deng,¹ Guobin Tian,¹ Yanbing Li,¹
Erich Hoffmann,² Robert G. Webster,² Yumiko Matsuoka,³ and Kangzhen Yu^{1*}

*Animal Influenza Laboratory, Ministry of Agriculture, and National Key Laboratory of Veterinary Biotechnology, Harbin Veterinary Research Institute, Chinese Academy of Agricultural Sciences, Harbin 150001, People's Republic of China*¹; *Division of Virology, Department of Infectious Diseases, St. Jude Children's Research Hospital, Memphis, Tennessee 38105*²; and *Influenza Branch, Centers for Disease Control, 1600 Clifton Road, Atlanta, Georgia 30333*³

Received 27 January 2005/Accepted 10 June 2005

We recently analyzed a series of H5N1 viruses isolated from healthy ducks in southern China since 1999 and found that these viruses had progressively acquired the ability to replicate and cause disease in mice. In the present study, we explored the genetic basis of this change in host range by comparing two of the viruses that are genetically similar but differ in their ability to infect mice and have different pathogenicity in mice. A/duck/Guangxi/22/2001 (DKGX/22) is nonpathogenic in mice, whereas A/duck/Guangxi/35/2001 (DKGX/35) is highly pathogenic. We used reverse genetics to create a series of single-gene recombinants that contained one gene from DKGX/22 and the remaining seven gene segments from DKGX/35. We find that the PA, NA, and NS genes of DKGX/22 could attenuate DKGX/35 virus to some extent, but PB2 of DKGX/22 virus attenuated the DKGX/35 virus dramatically, and an Asn-to-Asp substitution at position 701 of PB2 plays a key role in this function. Conversely, of the recombinant viruses in the DKGX/22 background, only the one that contains the PB2 gene of DKGX/35 was able to replicate in mice. A single amino acid substitution (Asp to Asn) at position 701 of PB2 enabled DKGX/22 to infect and become lethal for mice. These results demonstrate that amino acid Asn 701 of PB2 is one of the important determinants for this avian influenza virus to cross the host species barrier and infect mice, though the replication and lethality of H5N1 influenza viruses involve multiple genes and may result from a constellation of genes. Our findings may help to explain the expansion of the host range and lethality of the H5N1 influenza viruses to humans.





Gendarmes rumanos trasladan un ganso muerto posiblemente por gripe aviar.

Bucarest, Octubre de 2005







Influenza aviar H5N1

Período de incubación: 2 - 10 días



El "ave" más peligrosa...
es la que tiene ruedas...



Paciente con Linfopenia

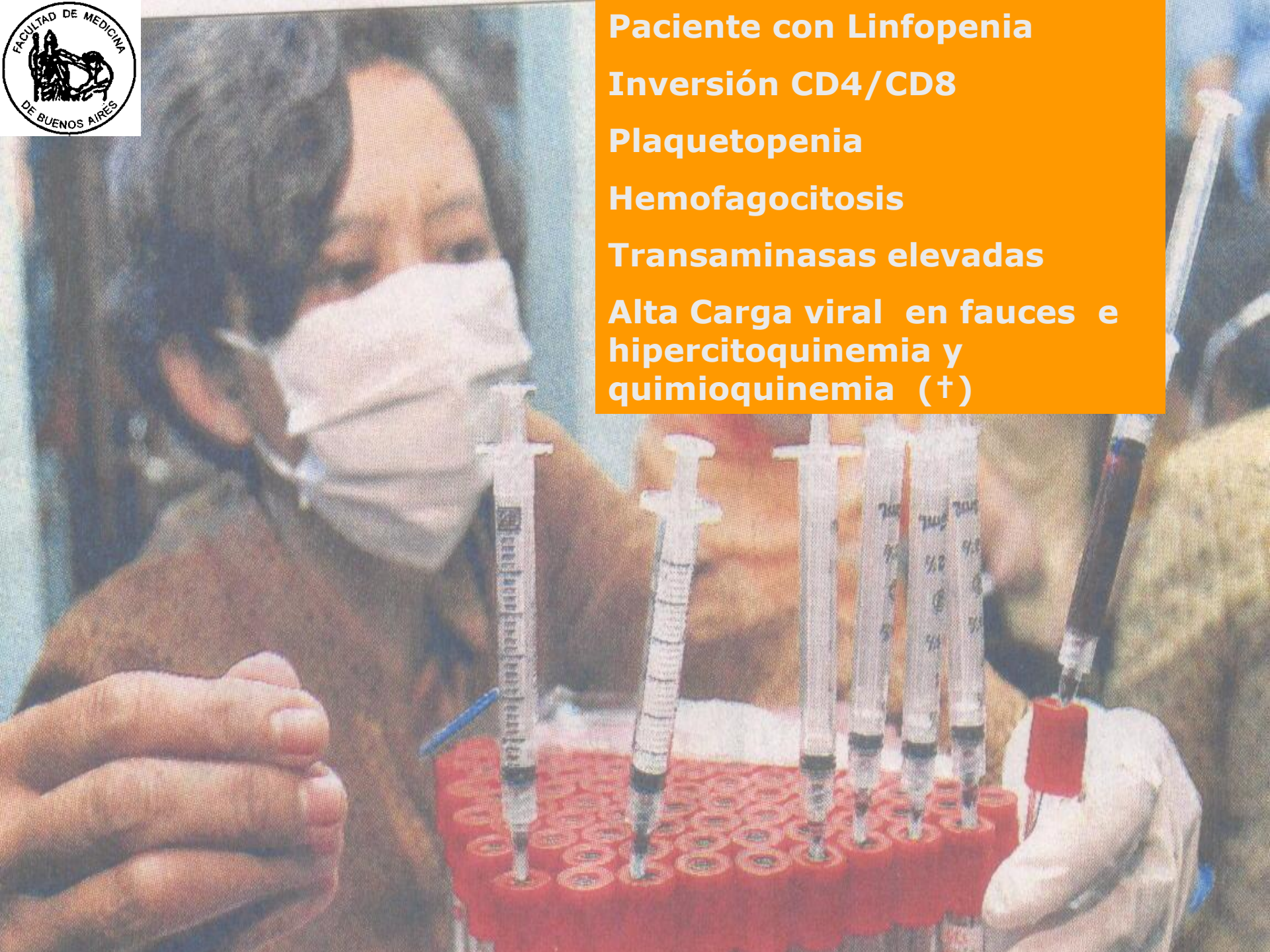
Inversión CD4/CD8

Plaquetopenia

Hemofagocitosis

Transaminasas elevadas

**Alta Carga viral en fauces e
hipercitoquinemia y
quimioquinemia (+)**





El diagnóstico virológico

Métodos directos

- ◆ Aislamiento viral
- ◆ Detección de antígeno
- ◆ **Detección genómica por RT-PCR y tipificación por RFLP o RT-PCR en tiempo real**

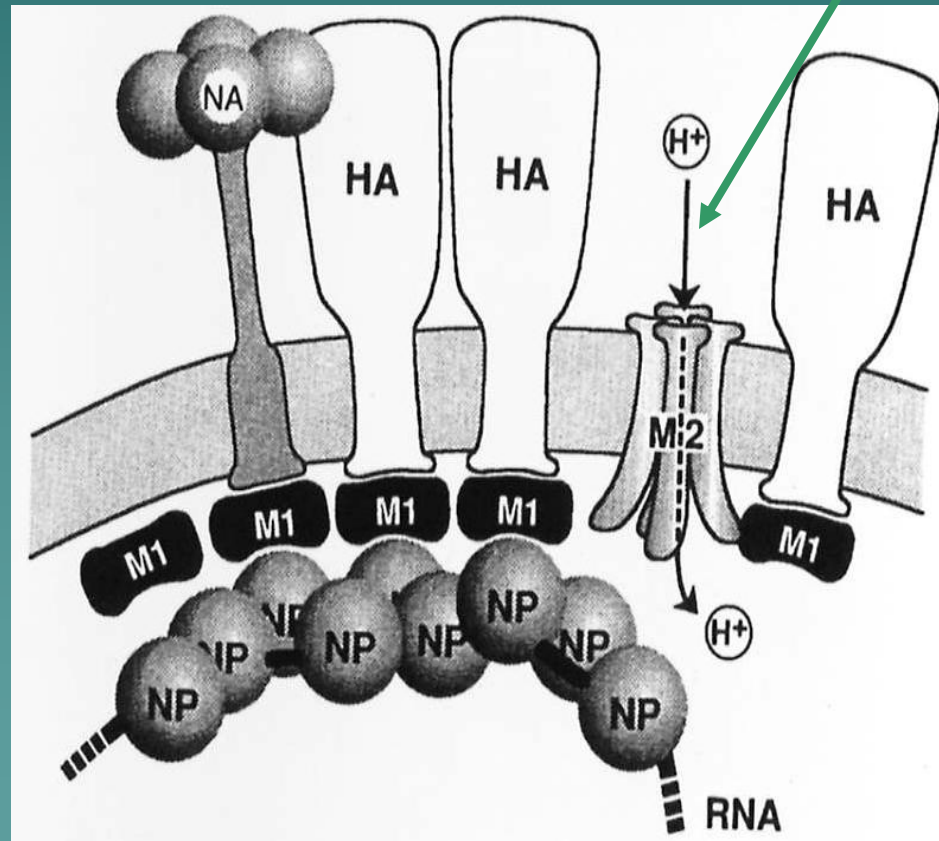
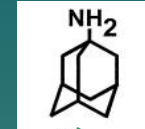
Métodos indirectos

- ◆ Serología (con fines epidemiológicos)



AMANTADINA

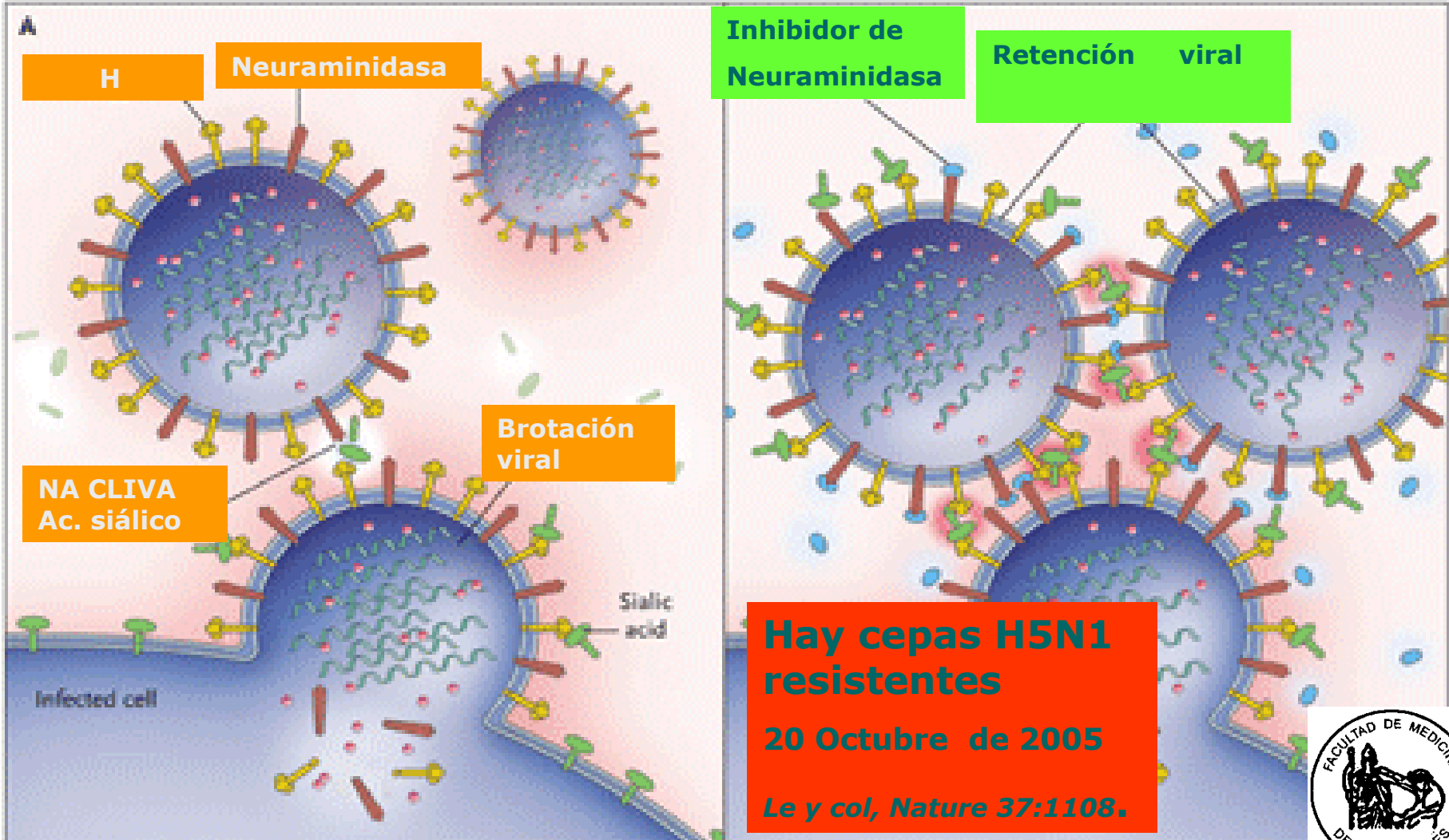
Bloqueo del canal iónico M2



Ya hay
cepas H5N1
resistentes

(2004)

ACCION DE INHIBIDORES DE LA NEURAMINIDASA (*Osetamivir, Zanamivir*)



Vacunas de Influenza humana (*no aviar H5N1*)

Vacuna a virus completo inactivado:
cultivado en huevos embrionados.

Para H5 N1

- Se investigan vacunas a DNA
- Vacuna producida mediante genética reversa (4 plásmidos)

Inactivadas preparadas en cultivos celulares

Atenuadas H5N1

H5 recombinante en vectores adenovirales

Vacunas conteniendo NP

VLP (VIRAL LIKE PARTICLES)



A CLINICAL TRIAL OF A WHOLE-VIRUS H5N1 VACCINE DERIVED FROM CELL CULTURE

- Hartmut J. et al. N Engl J Med 2008;358:2573-84. (12 June 2008)

Abstract

Background

Widespread infections of avian species with avian influenza H5N1 virus and its limited spread to humans suggest that the virus has the potential to cause a human influenza pandemic. An urgent need exists for an H5N1 vaccine that is effective against divergent strains of H5N1 virus.

Methods

In a randomized, dose-escalation, phase 1 and 2 study involving six subgroups, we investigated the safety of an H5N1 whole-virus vaccine produced on Vero cell cultures and determined its ability to induce antibodies capable of neutralizing various H5N1 strains. In two visits 21 days apart, 275 volunteers between the ages of 18 and 45 years received two doses of vaccine that each contained 3.75 µg, 7.5 µg, 15 µg, or 30 µg of hemagglutinin antigen with alum adjuvant or 7.5 µg or 15 µg of hemagglutinin antigen without adjuvant. Serologic analysis was performed at baseline and on days 21 and 42.





A Clinical Trial of a Whole-Virus H5N1 Vaccine Derived from Cell Culture (II)

Results

The vaccine induced a neutralizing immune response not only against the clade 1 (A/Vietnam/1203/2004) virus strain but also against the clade 2 and 3 strains. The use of adjuvants did not improve the antibody response. Maximum responses to the vaccine strain were obtained with formulations containing 7.5 μg and 15 μg of hemagglutinin antigen without adjuvant. Mild pain at the injection site (in 9 to 27% of subjects) and headache (in 6 to 31% of subjects) were the most common adverse events identified for all vaccine formulations.

Conclusions

A two-dose vaccine regimen of either 7.5 μg or 15 μg of hemagglutinin antigen without adjuvant induced neutralizing antibodies against diverse H5N1 virus strains in a high percentage of subjects, suggesting that this may be a useful

Nuevas vacunas recombinantes conteniendo H5 y N1

- *A/duck/Laos/3295/2006 (H5N1)* (clado 2.3.4; FDA; 10 Setiembre **2008**)
- *A/ Egypt /2321-NAMRU3/2007 (H5N1)* (clado 2.2.1 WHO/CDC; Mayo **2009**)
- *A/ Egypt /3300-NAMRU3/2008 (H5N1)-PR8-IDCDC-RG13* (WHO/CDC, 3 Agosto **2010**)





Síntesis

- Influenza H5N1 ha sido extremadamente difícil de controlar desde 1997.
- La relajación prematura de medidas de control facilitará la persistencia de la epizootia por virus H5N1.
- Hay persistencia y aumento del riesgo de adaptación de las cepas H5N1 al humano mediante reasociación o mutación génica.

Proteo

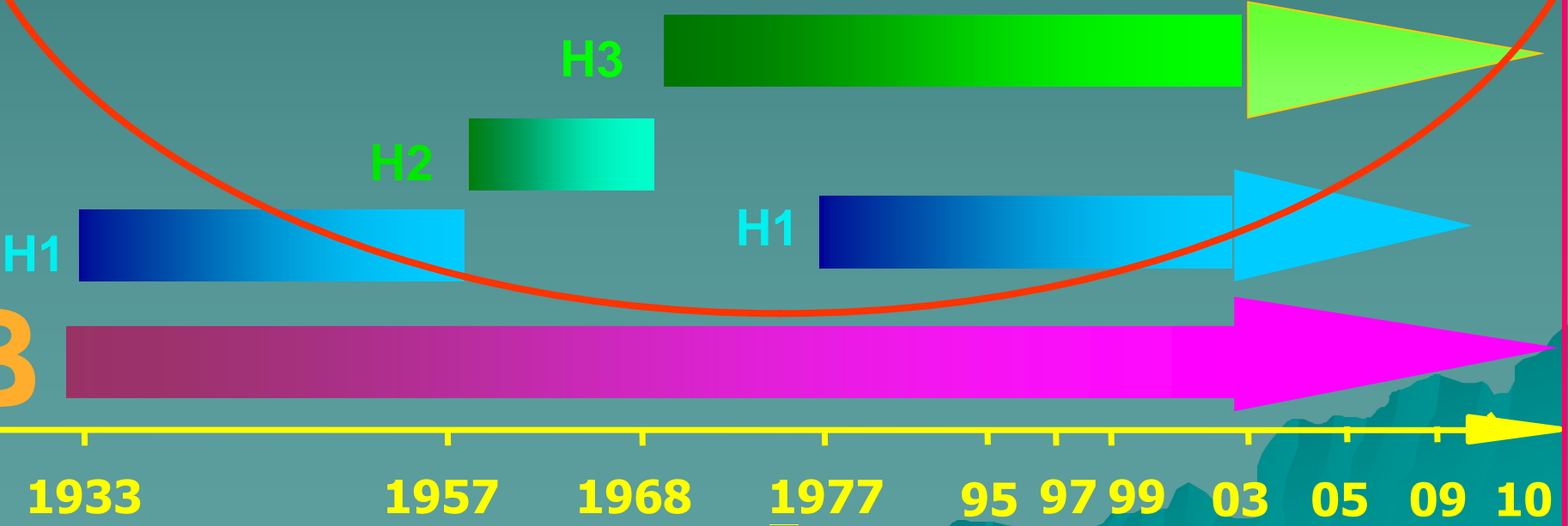
http://www.fmed.uba.ar/depto/microbiologia/gripe_a.pdf





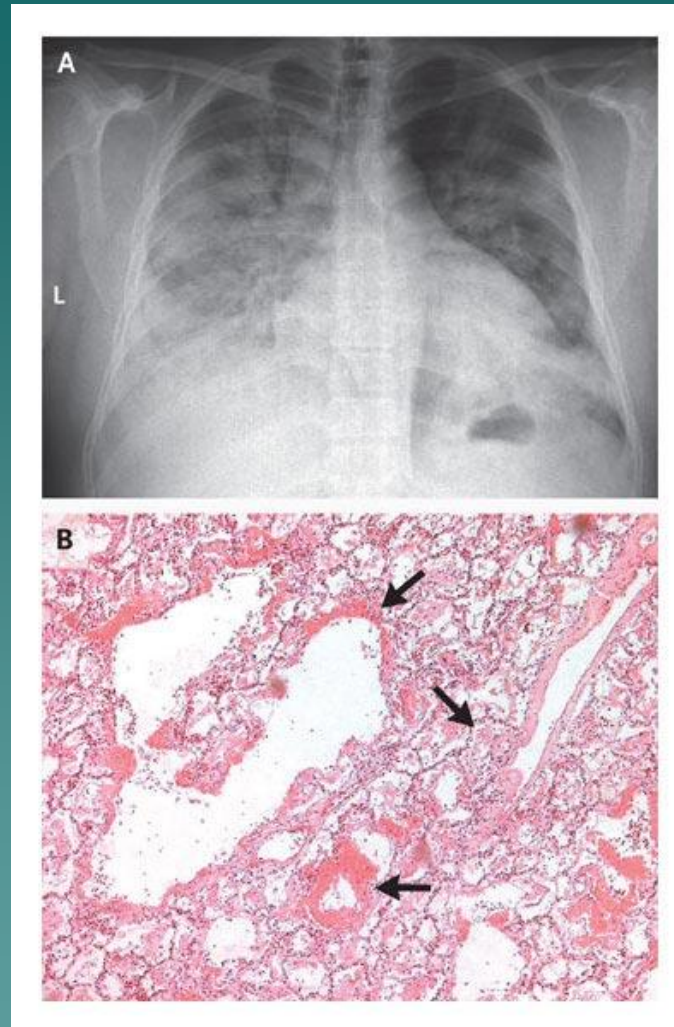
Circulación en Humanos de Tipos y Subtipos de virus *Influenza*

A



B

Radiografía inicial de pulmón e histología de una muestra pulmonar de un paciente infectado con Influenza A (H1N1/09)

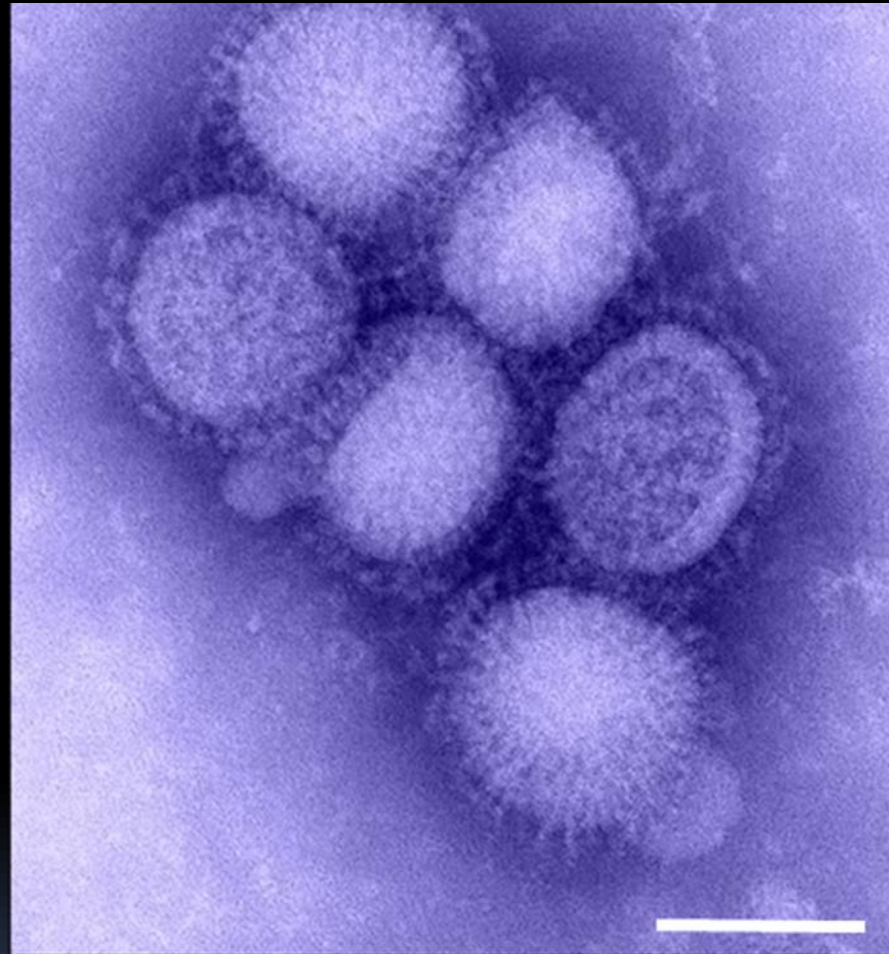


Perez-Padilla R et al. N Engl J Med 2009;10.1056/NEJMoa0904252



Virus Influenza A(H1N1/09)

Agente etiológico de la pandemia 2009-2010



Virus Influenza A(H1N1) causante del actual brote de influenza de origen porcino en 2009. Fuente: CDC (*Centers for Disease Control and Prevention*, EE.UU.). Se observan partículas ovales o esféricas con espículas correspondientes a la expresión en su superficie de moléculas de hemaglutinina (HA) y neuraminidasa (NA).

La barra blanca indica 100 nm.

Reasociación génica en el genoma del virus causante de la pandemia de gripe A 2009

1



2



3

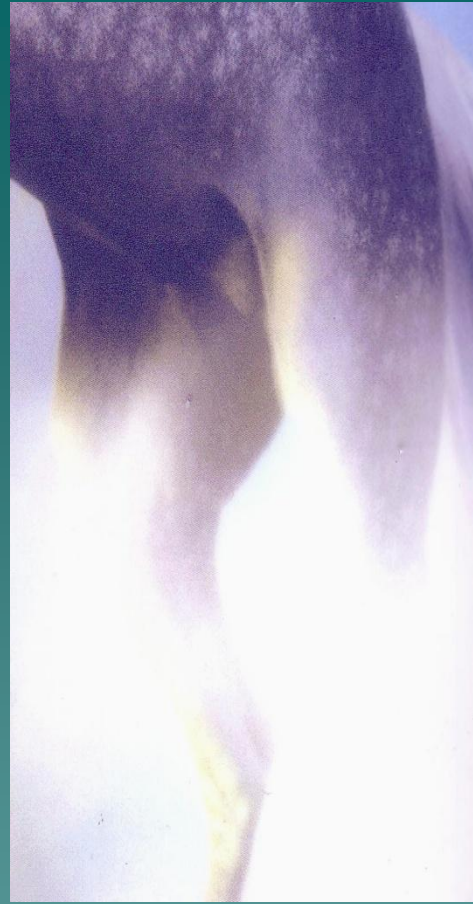
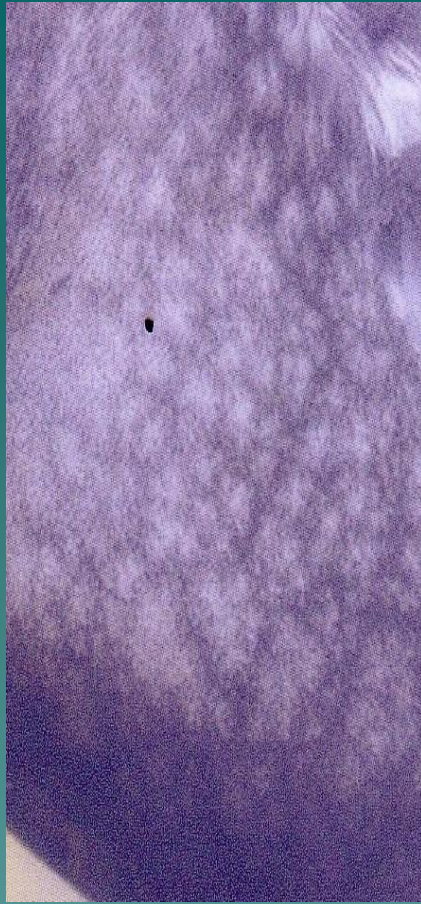


4



5









?

**Influenza A(H1N1): triple reasociación génica
ocurrida en 1998.**

**Influenza A(H1N1) causante de la pandemia
de 2009**



-  Genes del virus influenza aviar. linaje norteamericano
-  Gen del virus influenza estacional
-  Genes del virus influenza porcino, linaje norteamericano
-  Genes del virus influenza porcino, linaje eurasiático



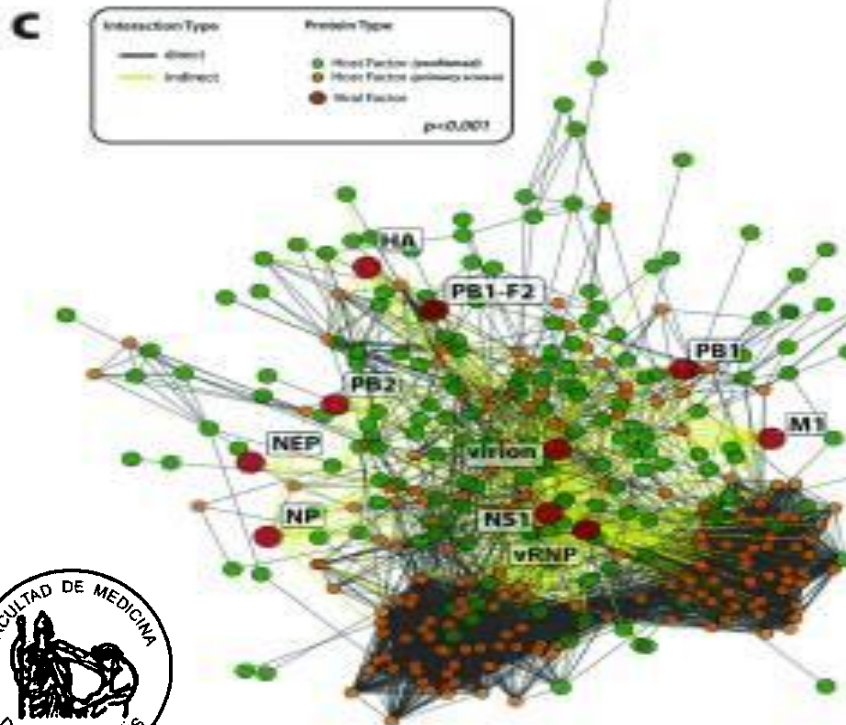
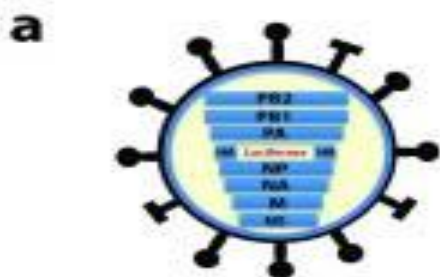


¡Primer pandemia del siglo XXI!

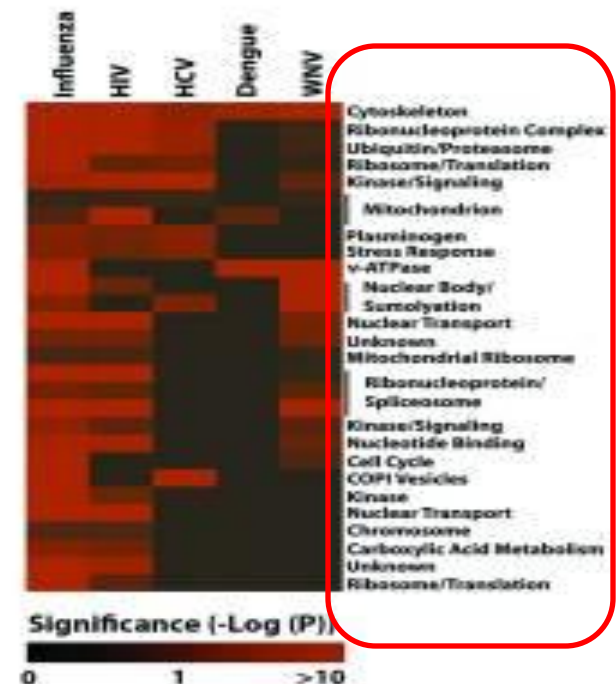
- 213 países
- 425.650 casos confirmados mediante estudios de laboratorio
- 6.813 muertes

Requerimiento de factores celulares para la replicación de Influenza

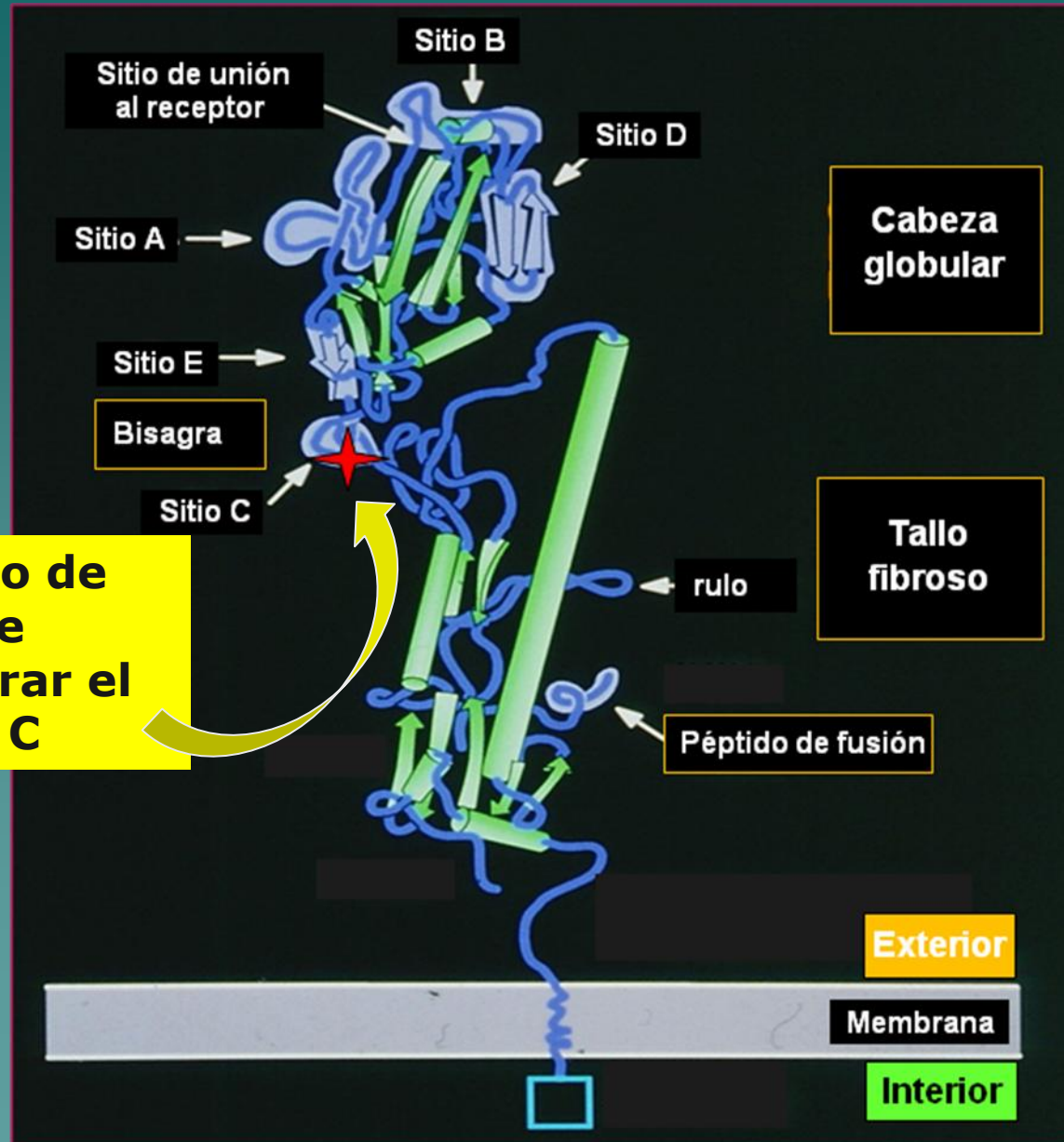
Virus con HA deletada conteniendo en su lugar el código de la luciferasa (el virus no replica)



23 factores necesarios para el ingreso viral (incluyedno miembros de la ATPasa vacuolar) y la familia de proteínas endosomales COPI, factor de crecimiento fibroblástico, glucógeno sintetasa, quinasa3-beta). Además 10 proteínas están involucradas en la etapa post-ingreso, componentes de la importación nuclear, proteasas, proteína-quinasa calcio/calmodulina-dependiente II beta.



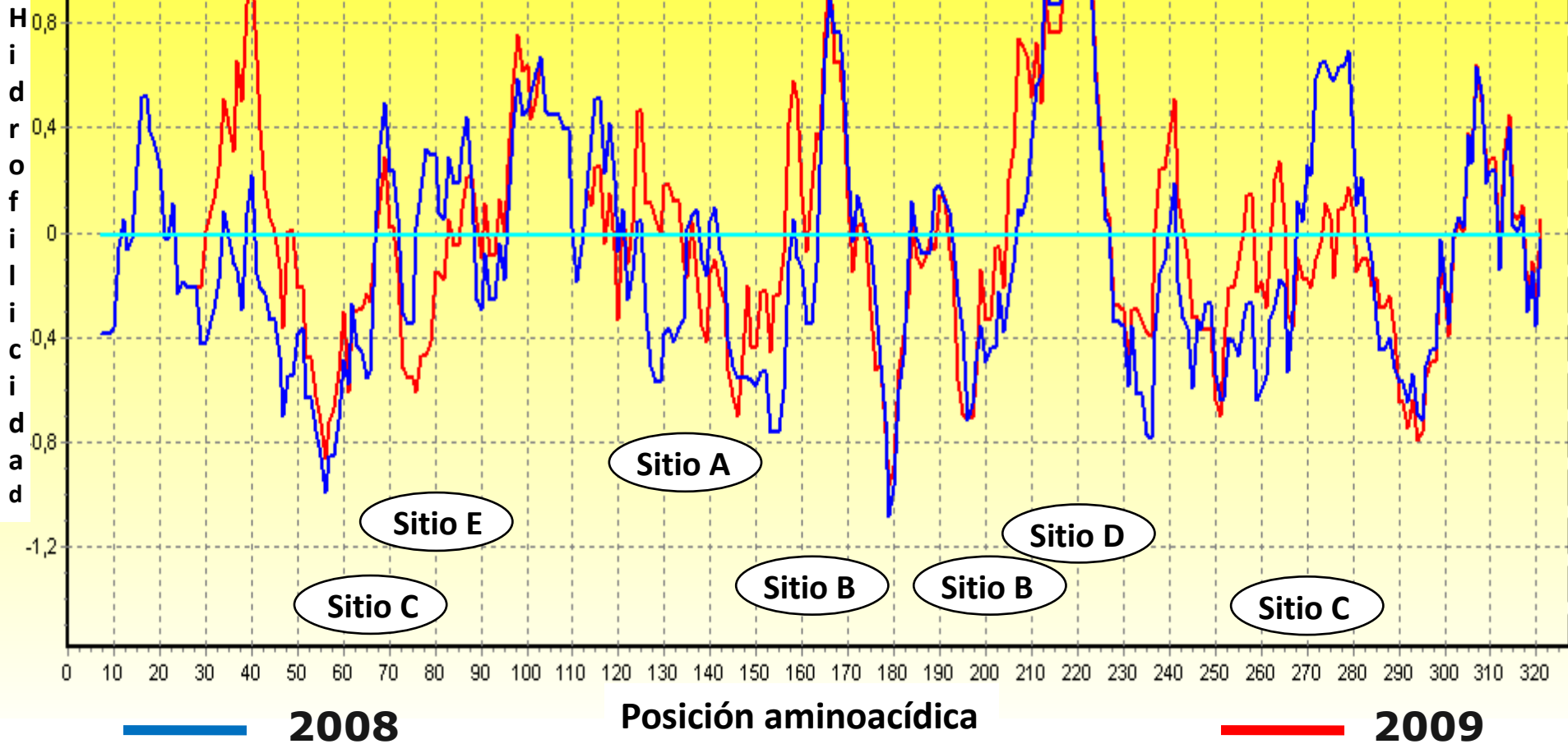
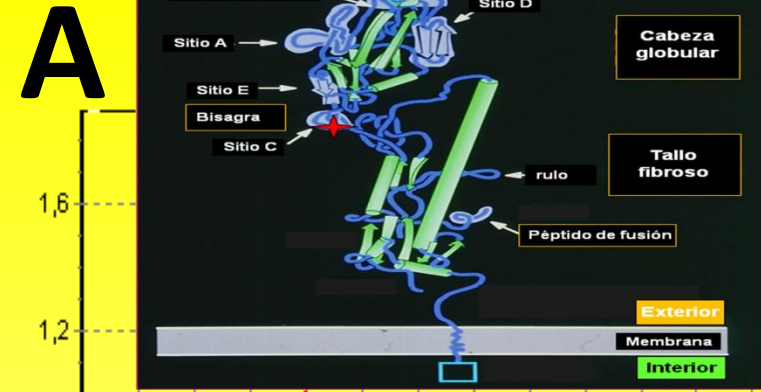
ESQUEMA DE UN MONÓMERO DE HA

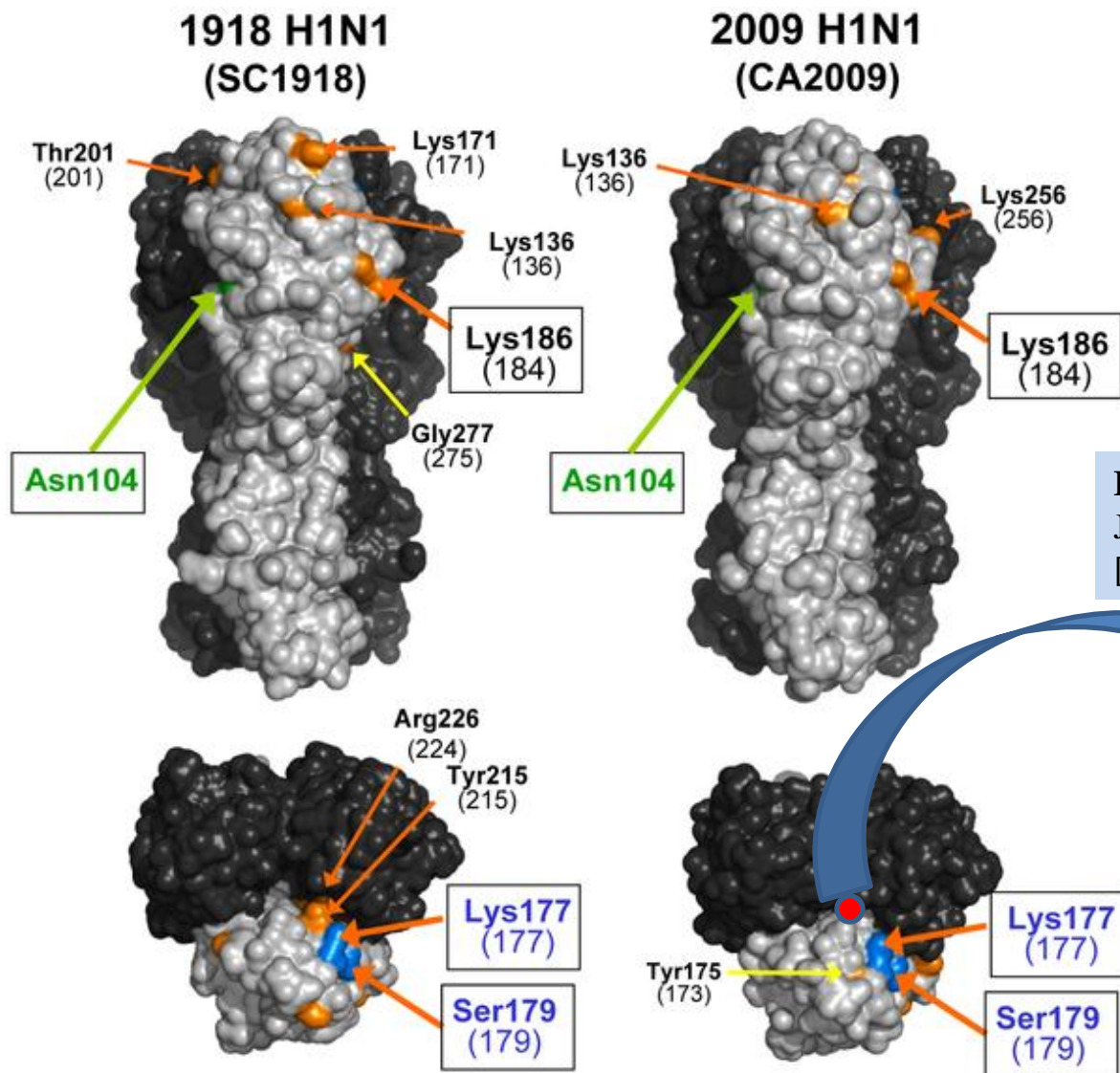


Asparagina: sitio de glicosilación que puede enmascarar el sitio antigénico C



Comparación del perfil de hidrofili­dad (asociado a antigenicidad) entre la Hemaglutinina del virus estacional de Influenza A (H1N1) circulante en 2008 e Influenza A (H1N1/2009)





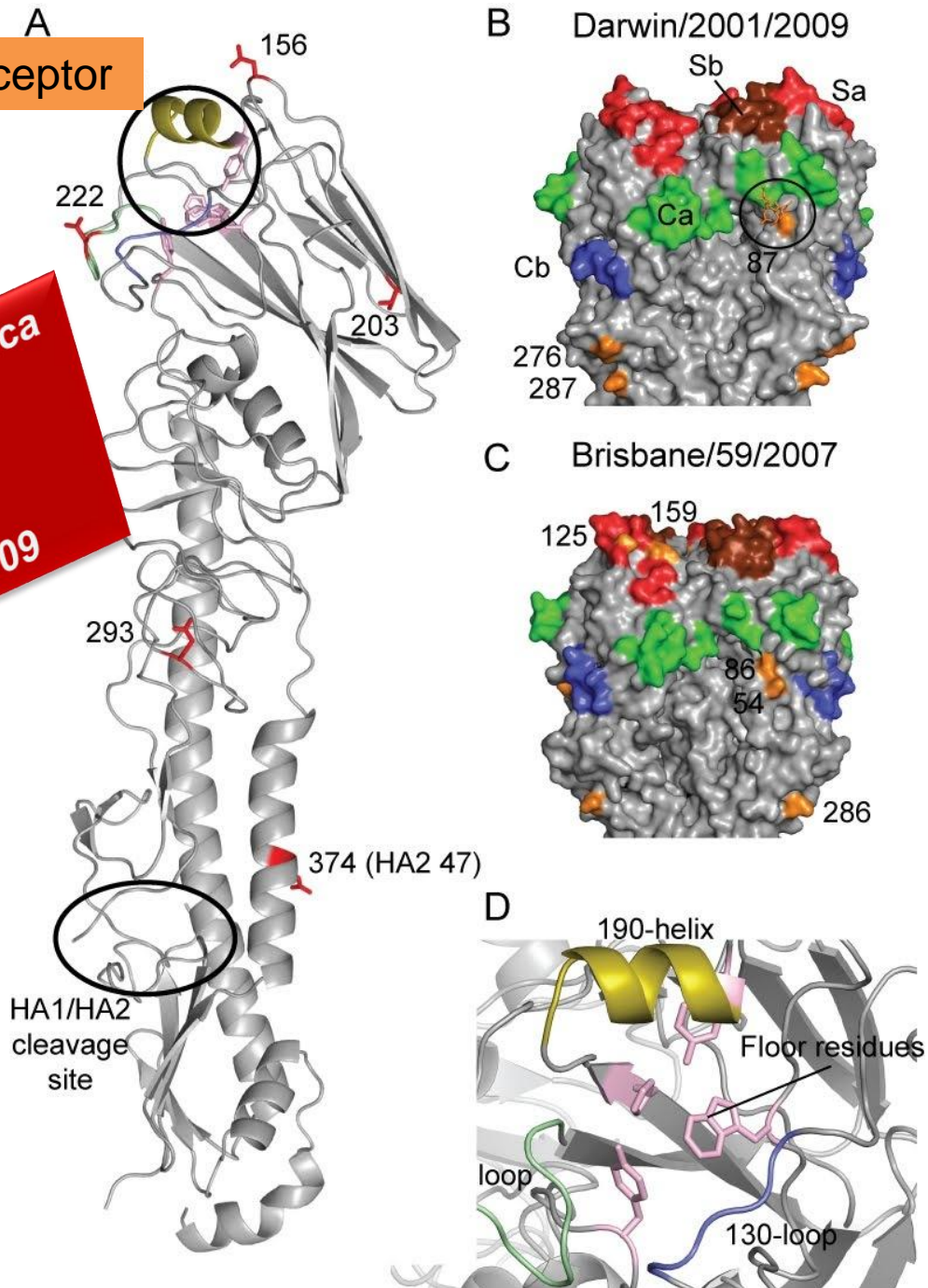
Fuente: Chen *et al.*
J Infect Dis. 2010 Apr 2.
[Epub ahead of print]

Asp225 → Gly
Modifica tropismo
12,5% en casos graves (n=57) vs
0% en casos leves (n=60)

**Modelo tridimensional de
trímeros de Hemaglutinina**

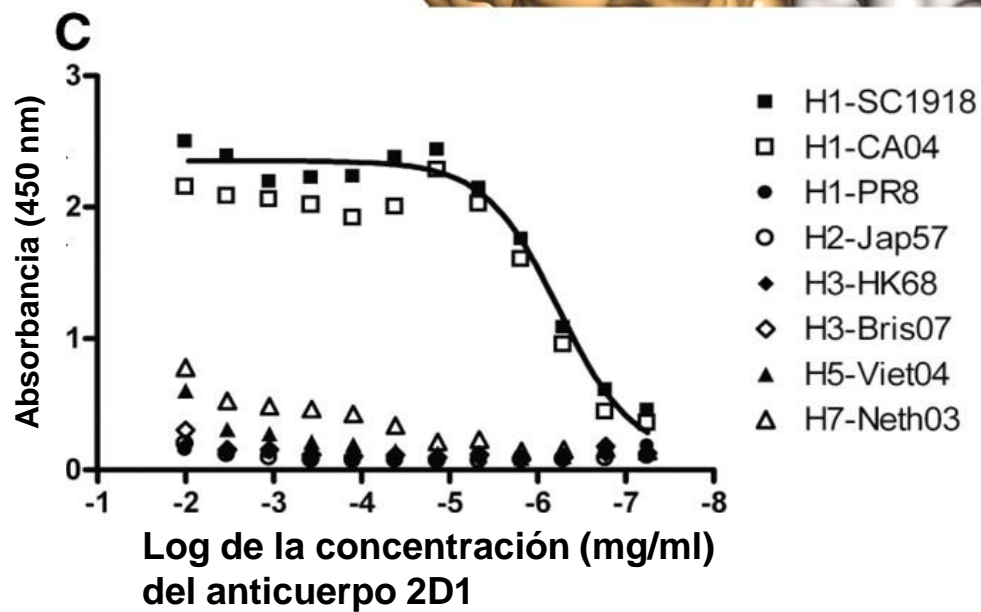
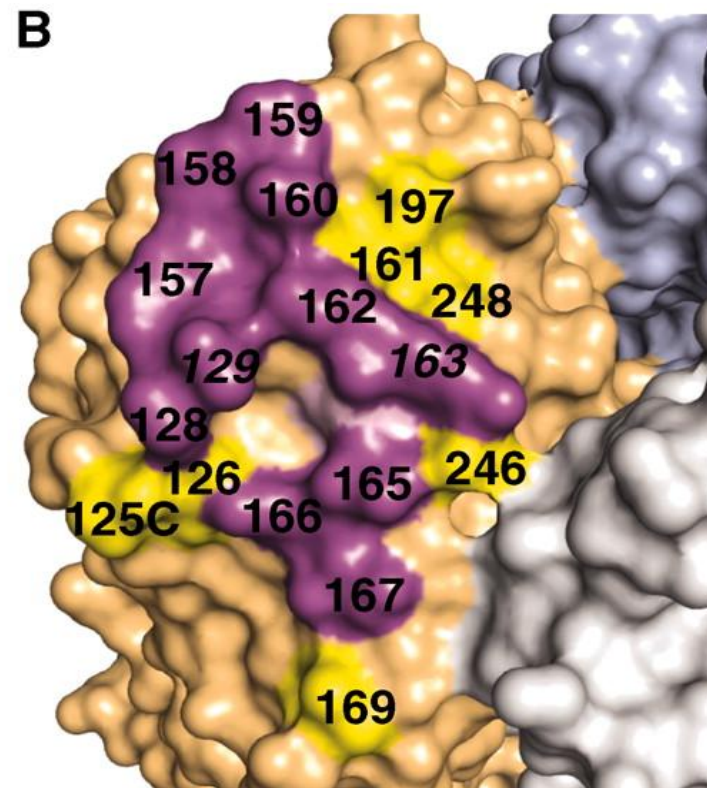
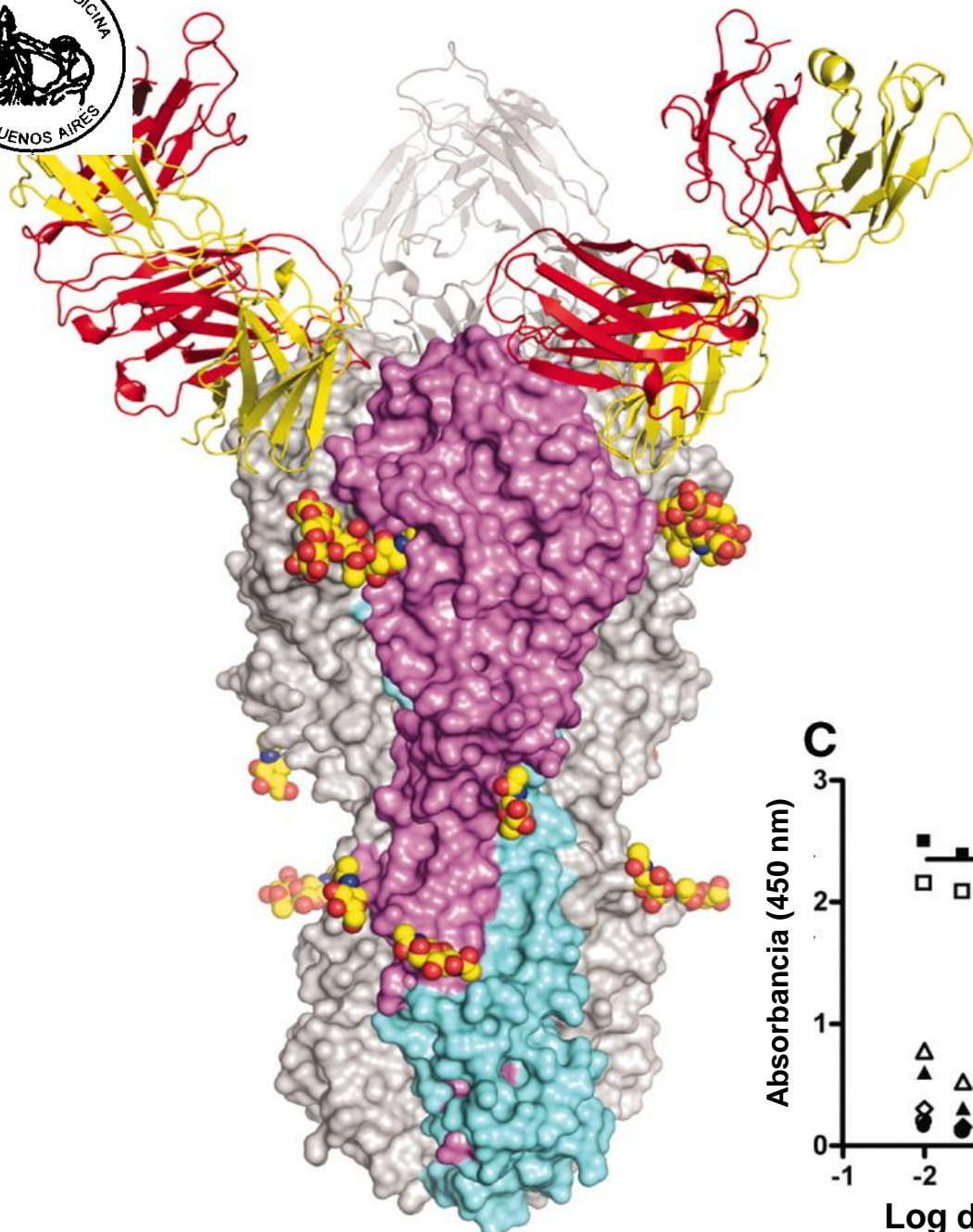
Sitio de unión al receptor

Estructura cristalográfica
de un monómero de
Hemaglutinina del
virus pandémico
Influenza A H1N1/2009



Fuente: Yang H, *et al.*
PLoS Curr Influenza.
2010 Mar 22:RRN1152.





Structural Basis of Preexisting Immunity to the 2009 H1N1 Pandemic Influenza Virus
Science. *Epub ahead of print 25 March 2010. En prensa.*

Xu R, Ekiert DC, Krause JC, Hai R, Crowe Jr JE, Wilson IE

The 2009 H1N1 swine flu is the first influenza pandemic in decades. The crystal structure of the hemagglutinin from the A/California/04/2009 H1N1 virus shows that its antigenic structure, particularly within the Sa antigenic site, is extremely similar to human H1N1 viruses circulating early in the 20th century.

The co-crystal structure of the 1918 HA with 2D1, an antibody from a survivor of the 1918 Spanish flu that neutralizes both 1918 and 2009 H1N1 viruses, reveals an epitope that is conserved in both pandemic viruses.

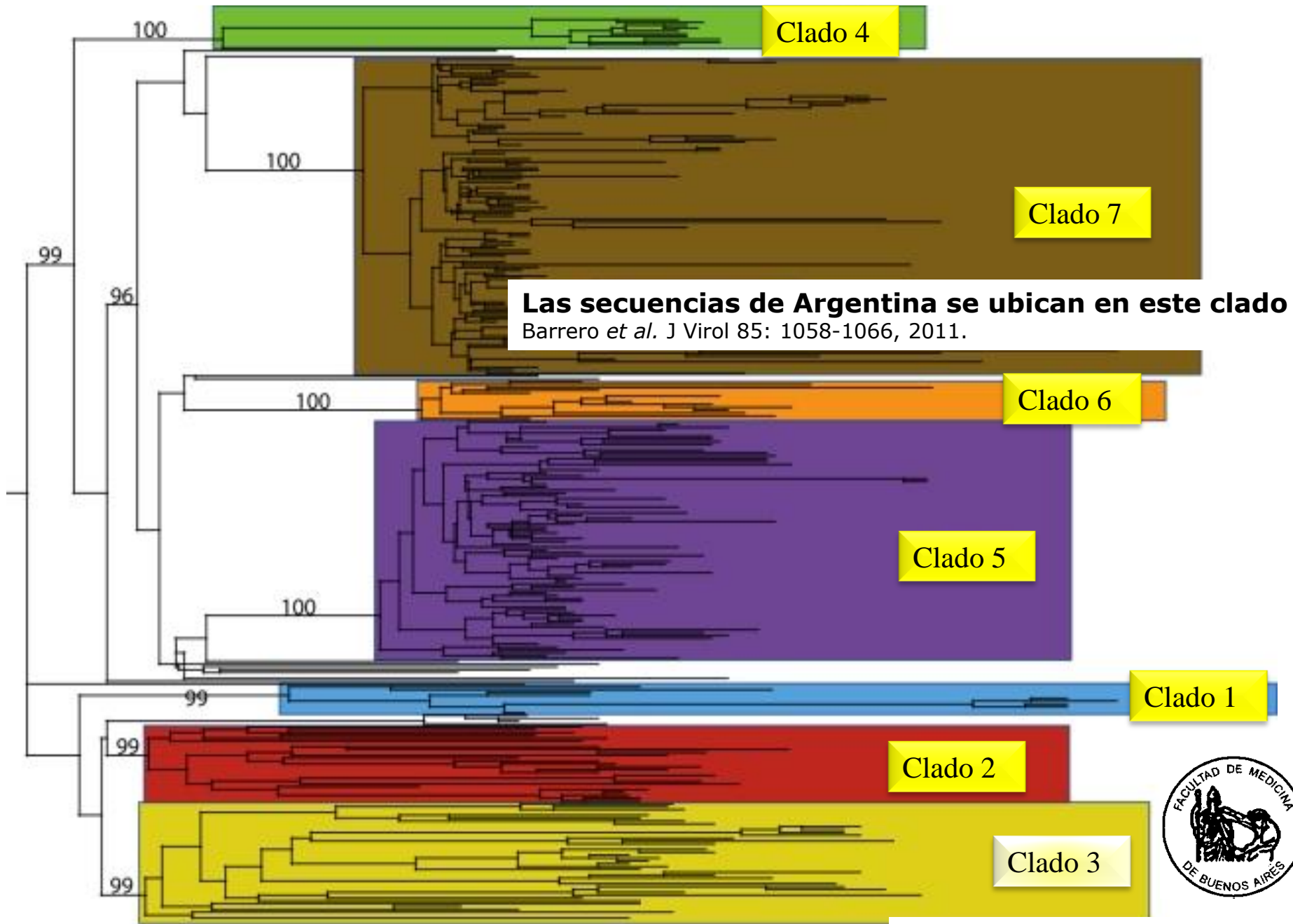
Thus, antigenic similarity between the 2009 and 1918-like viruses provides an explanation for the age-related immunity to the current influenza pandemic.



Los anticuerpos anti-hemaglutinina generados por vacunación reciente contra la gripe estacional inducen poca o nula reacción cruzada contra el virus pandémico, pero 34% de adultos mayores de 59 años SÍ los evidencian.

- **Cross-Reactive Antibody Responses to the 2009 Pandemic H1N1 Influenza Virus** **ive antibodies.**
Copyright 2009 Massachusetts Medical Society.
- **BACKGROUND:** A new pandemic influenza A (H1N1) virus has emerged, causing illness globally, primarily in younger age groups. To assess the level of preexisting immunity in humans and to evaluate seasonal vaccine strategies, we measured the antibody response to the pandemic virus resulting from previous influenza infection or vaccination in different age groups. **METHODS:** Using a microneutralization assay, we measured cross-reactive antibodies to pandemic H1N1 virus (2009 H1N1) in stored serum samples from persons who either donated blood or were vaccinated with recent seasonal or 1976 swine influenza vaccines.
- **RESULTS:** A total of 4 of 107 persons (4%) who were born after 1980 had preexisting cross-reactive antibody titers of 40 or more against 2009 H1N1, whereas 39 of 115 persons (34%) born before 1950 had titers of 80 or more. Vaccination with seasonal trivalent inactivated influenza vaccines resulted in an increase in the level of cross-reactive antibody to 2009 H1N1 by a factor of four or more in none of 55 children between the ages of 6 months and 9 years, in 12 to 22% of 231 adults between the ages of 18 and 64 years, and in 5% or less of 113 adults 60 years of age or older. Seasonal vaccines that were formulated with adjuvant did not further enhance cross-reactive antibody responses. Vaccination with the A/New Jersey/1976 swine influenza vaccine substantially boosted cross-reactive antibodies to 2009 H1N1 in adults.
- **CONCLUSIONS:** **Vaccination with recent seasonal nonadjuvanted or adjuvanted influenza vaccines induced little or no cross-reactive antibody response to 2009 H1N1 in any age group.** Persons under the age of 30 years had little evidence of cross-reactive antibodies to the pandemic virus. However, **a proportion of older adults had preexisting cross-reactive**
- Hancock K, et al. NEJM **Published at www.nejm.org September 10, 2009.**





Fuente: Nelson & Holmes.
 PLoS Curr Influenza. Nov 2009

Característica	<i>Influenza A</i> (H1N1) causante de pandemia en 1918	<i>Influenza A</i> (H2N2) causante de pandemia en 1957	<i>Influenza A</i> (H5N1) aviar	<i>Influenza A</i> (H1N1) e <i>Influenza A</i> (H3N2) estacionales	<i>Influenza A</i> (H1N1) de origen porcino (2009)
Transmisión interhumana	+++ / +++++	+++ / +++++	- → ± (extremadamente restringida)*	++	+++
Gravedad clínica	++++	+++	++++	++	++ / +++

Proteína	Posición	Virus con Patogenicidad baja	Virus con Patogenicidad alta	Influenza A(H1N1) de origen porcino (2009)	Función
PB2	627 701	Glu Asp	Lys Asn		Capacidad para replicar en algunos mamíferos, incluido el hombre Importación nuclear; afecta la <u>capacidad replicativa</u> en el ratón
PB1-F2	66	Asn	Ser		Inducción de <u>apoptosis</u>
HA	Sitio de clivaje	Único aminoácido básico	Múltiples aminoácidos básicos		<u>Clivaje de la hemaglutinina</u> (ciertas proteasas de localización extrapulmonar reconocen múltiples aminoácidos básicos)
NS1	92 C-terminal	Asp Delección Arg – Ser- Glu- Val	Glu Glu–Ser- Glu- Val		Desconocida (¿diferente respuesta al Interferón?) Desconocida

Radiografía inicial de pulmón e histología de una muestra pulmonar de un paciente infectado con Influenza A (H1N1/09)

**Primates:
Estudios de
patogénesis**

El virus replica en neumonocitos tipo II (epitelio respiratorio bajo) con receptores alfa 2-3 y alfa 2-6 Gal unidos al Ac. siálico: Lesiones más graves que con Influenza estacional

Curso más grave en pacientes embarazadas, en obesos y en niños menores de 5 años. Hasta 40% de los pacientes padecen síntomas gastrointestinales. ¿?



Perez-Padilla R et al. N Engl J Med 2009;



La neumonía viral primaria puede evolucionar a la dificultad respiratoria (*distress*) y eventualmente a la muerte.

**Hurón:
estudios de
patogénesis**



¡El virus también replica en epitelio intestinal!

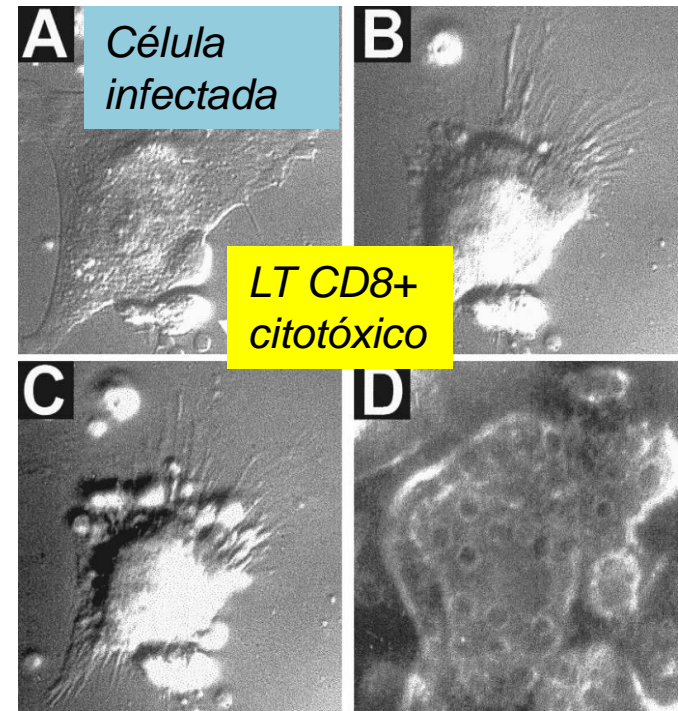
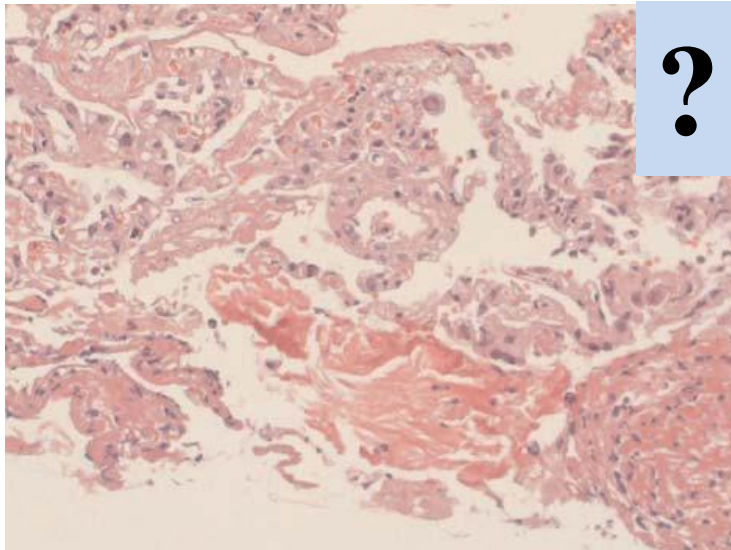
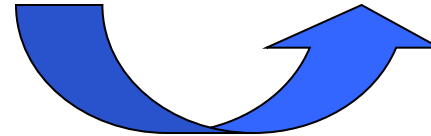
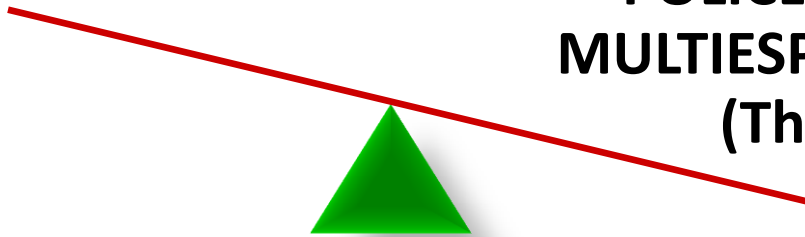
No demostrado aún en humanos

RESPUESTA INMUNE ANTIVIRAL DE LOS LINFOCITOS T CD8⁺ CITOTÓXICOS

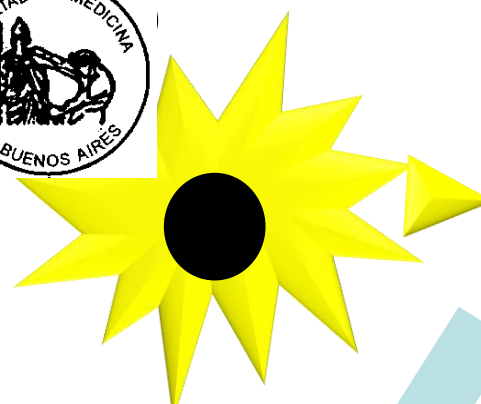
DÉBIL
OLIGOCLONAL

VIGOROSA
POLICLONAL
MULTIESPECÍFICA
(Th1)

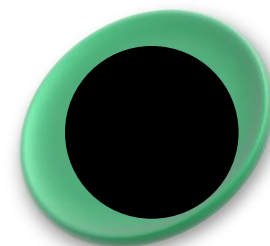
INFECCIÓN AGUDA
LIMITADA



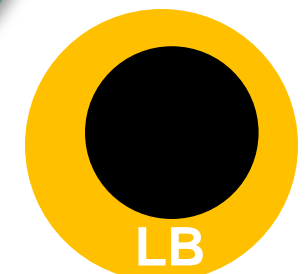
Fuente: Comisión para la Contingencia de Influenza A (H1N1), Hospital Nacional Profesor Alejandro Posadas. Medicina. (Bs. As.), 69: 393- 423. 2009.



LT CD4⁺
naïve



LT CD8⁺
citotóxico



LB

IFN- γ (NK)
IL-12, IL-18,
IL-23, IL-27
(M ϕ , CD)

IL-4
(NKT,
mastocitos)

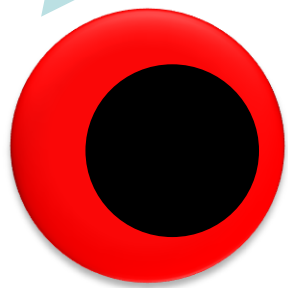
TGF- β
(CD)

IL-6,
IL-21, IL-23,
(CD, LT activados)
TGF- β (CD, Treg)



IL-12r

CD4⁺ Th 1



CD4⁺ Th 2

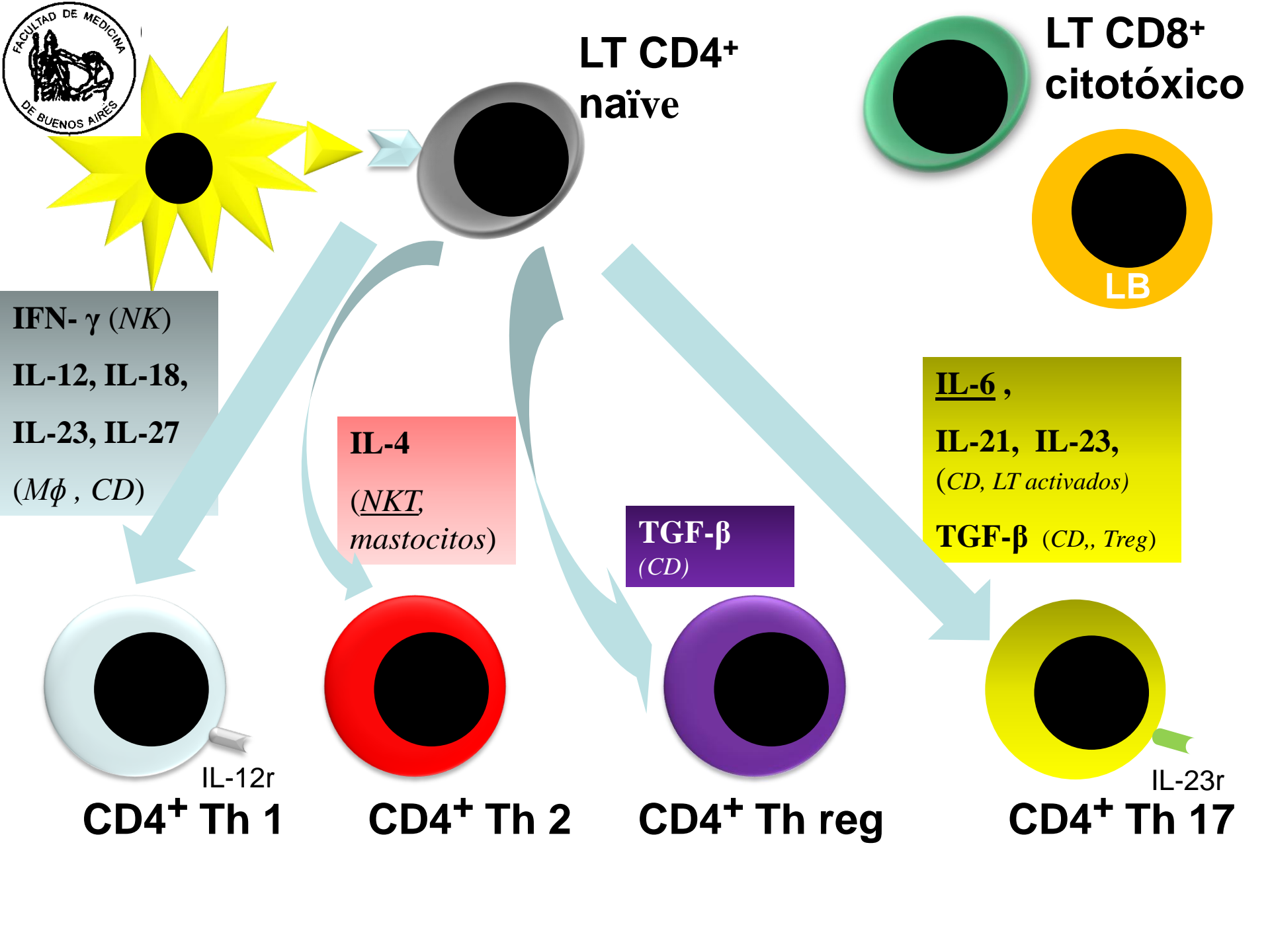


CD4⁺ Th reg



IL-23r

CD4⁺ Th 17





Un delicado balance ...

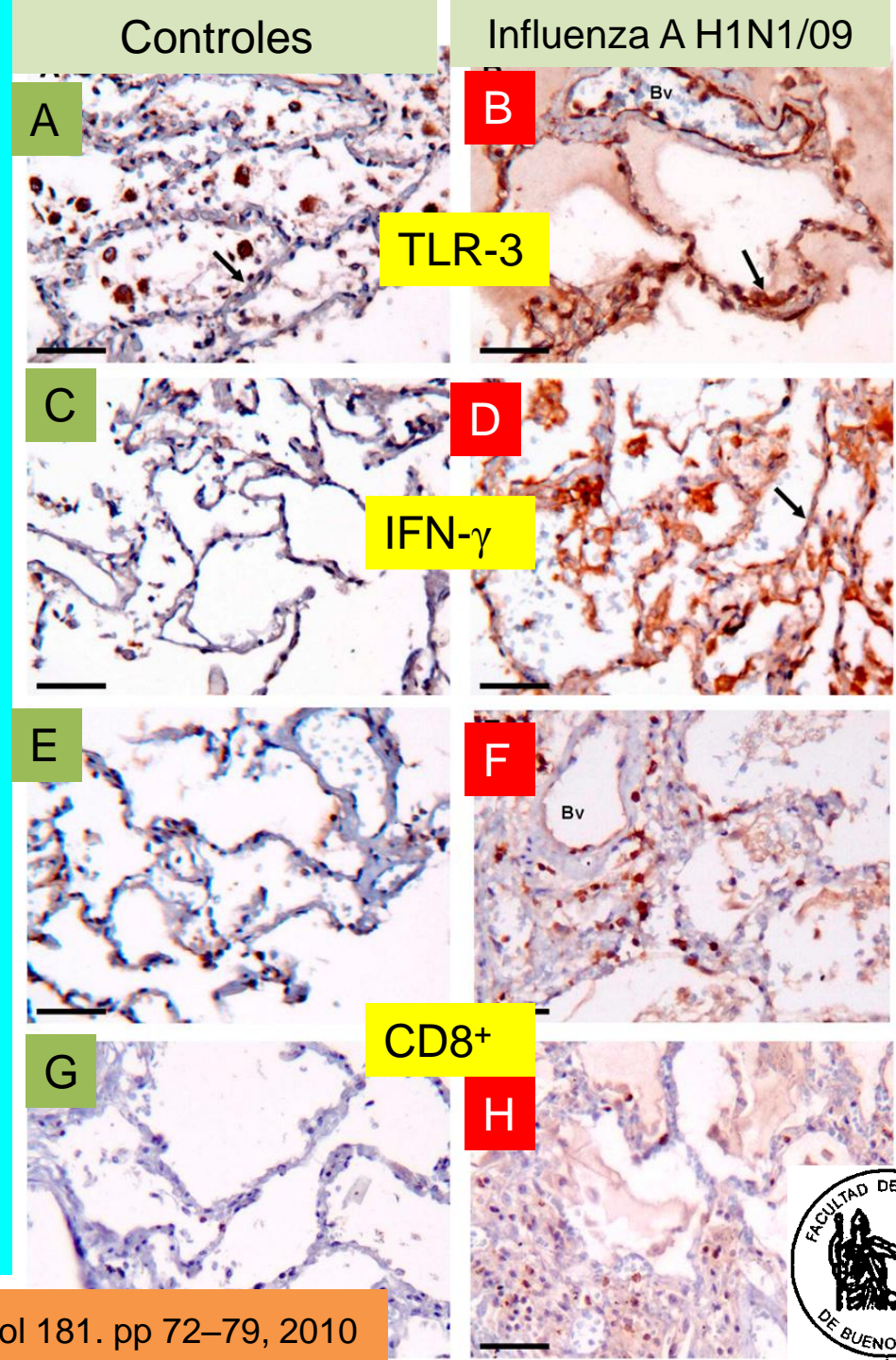


**ELIMINACIÓN VIRAL
DAÑO CELULAR**

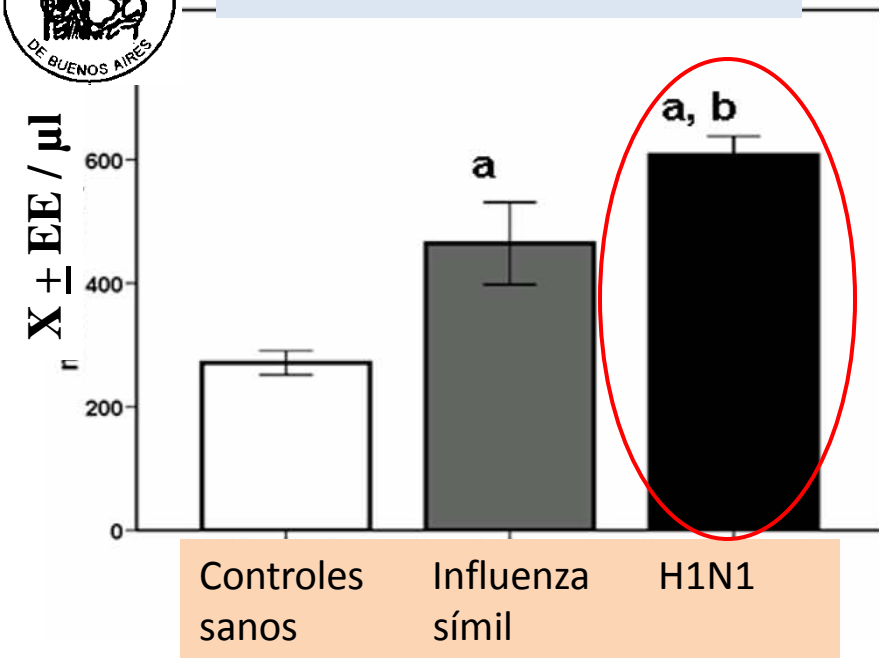


**DEFECTUOSA ELIMINACIÓN VIRAL
DISMINUCIÓN O AUSENCIA DE DAÑO CELULAR**

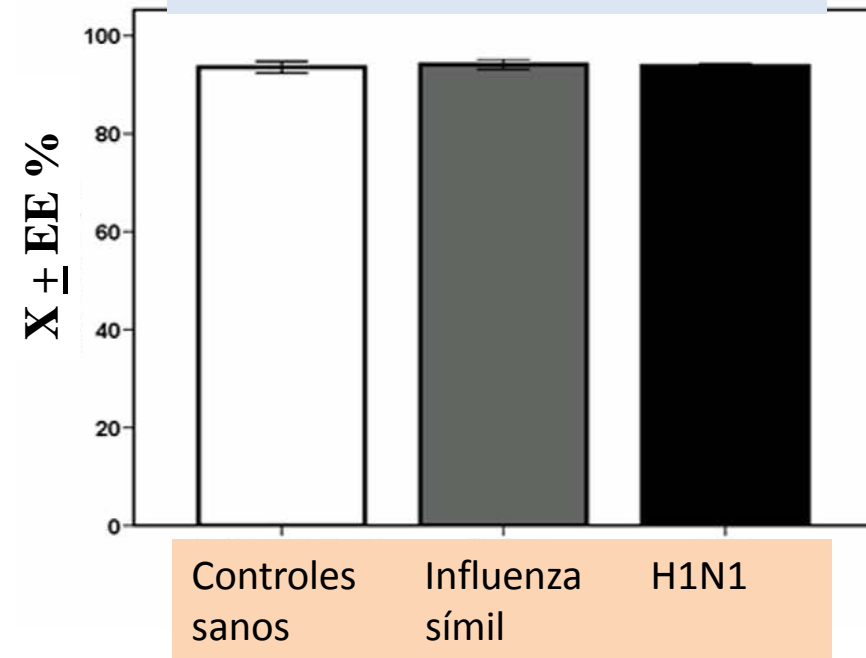
- A:** Expresión de TLR-3 en macrófagos, células epiteliales alveolares y endoteliales. (Bv: vaso sanguíneo). **B:** Significativa expresión de TLR-3 en macrófagos (flecha), células del epitelio alveolar y capilares.
- C.** Débil expresión de interferón- γ en macrófagos alveolares. **D.** Significativa expresión de interferón- γ en macrófagos y células epiteliales (flecha).
- E y G.** Escasas células CD8⁺ y granzima B⁺, respectivamente, en las paredes alveolares.
- F y H.** Aumento del número de células CD8⁺ y granzima B⁺, con tendencia al agrupamiento alrededor de los pequeños vasos (Bv). La barra indica 50 μ .



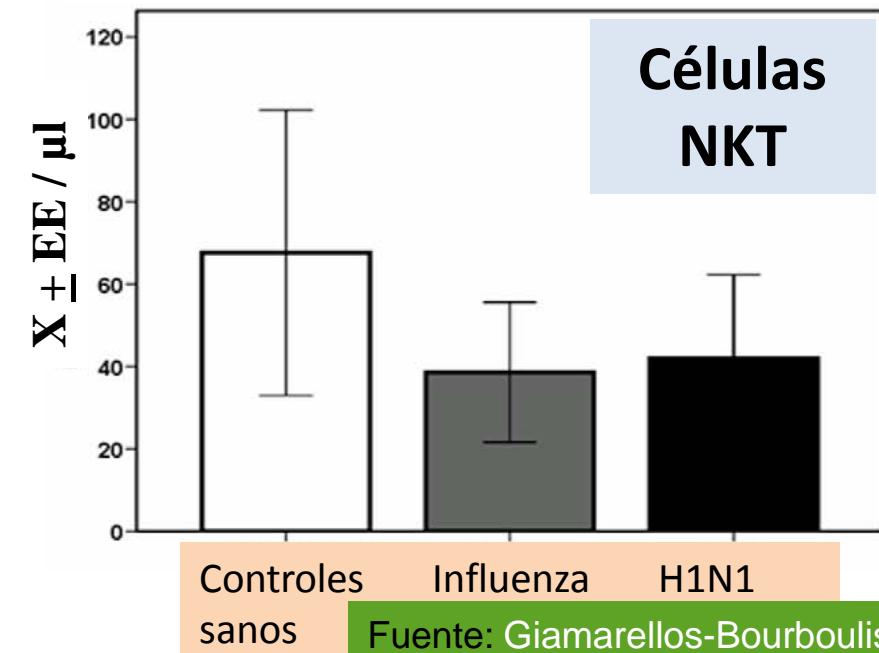
Monocitos



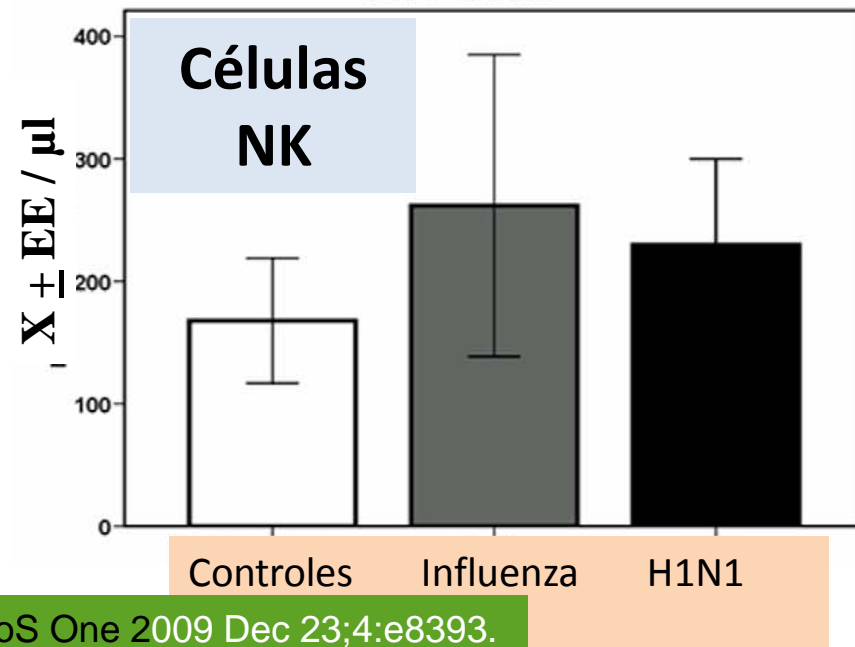
HLA-DR en monocitos



Células NKT

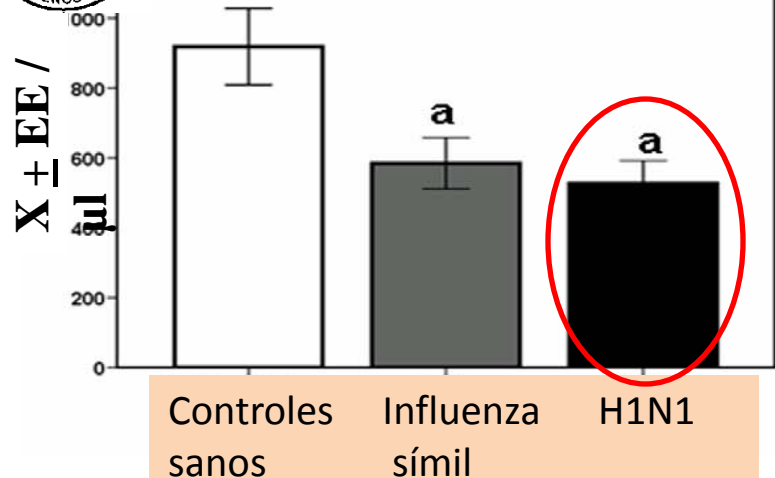


Células NK

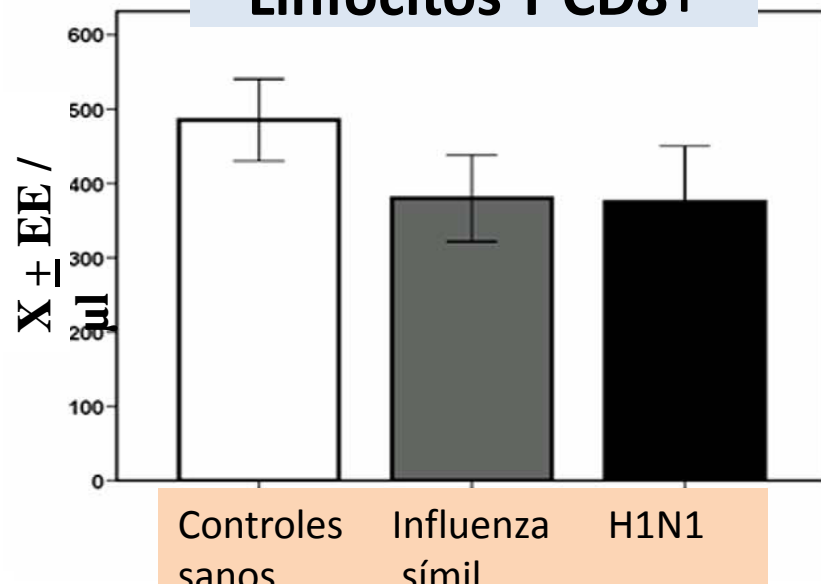




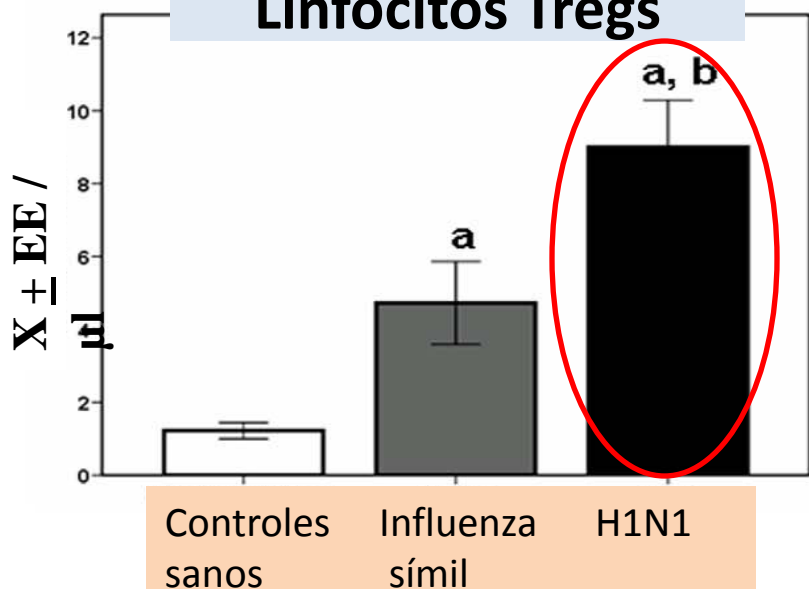
Linfocitos T CD4+



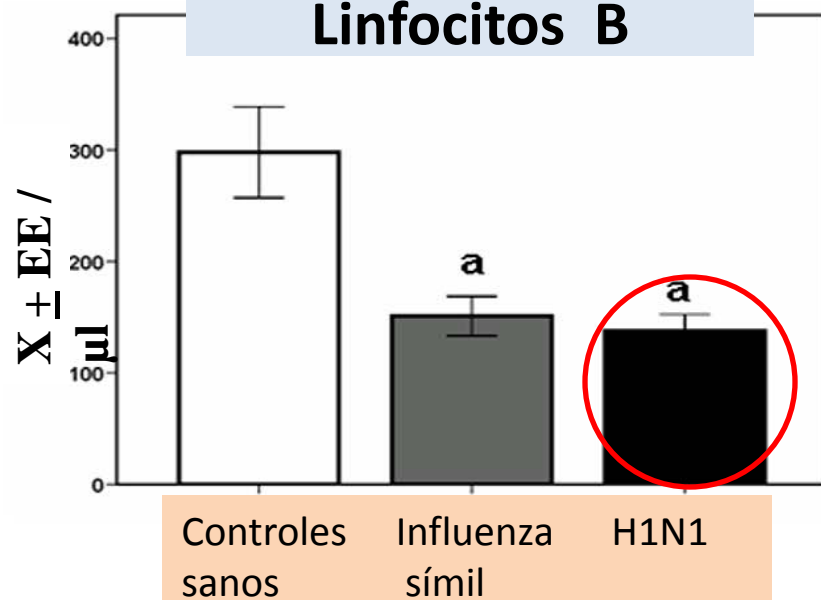
Linfocitos T CD8+



Linfocitos Tregs



Linfocitos B





La unión de la Hemaglutinina (HA) de Influenza A (H1N1/2009) al receptor celular ocurre con menor afinidad que la observada con la HA del virus pandémico de 1918.

Potenciales implicancias:

✓ **La menor afinidad de la unión al receptor podría reducir la inflamación y la patología consiguiente.**

✓ ***El virus Influenza A (H1N1/2009) podría causar daño tisular en un territorio pulmonar más amplio pero con una menor gravedad que el virus de la gripe española de 1918 (H1N1) y el virus altamente patogénico H5N1 aviar.***

PB2 residue 271 plays a key role in enhanced polymerase activity of influenza A viruses in mammalian host cells.

The genomic comparison of influenza A virus isolates has identified highly conserved residues in influenza proteins that are specific to either human or avian viruses, including 10 residues in PB2. We characterized the activity of avian polymerase complexes containing avian-to-human mutations at these conserved PB2 residues and found that, **in addition to the E627K mutation, the PB2 mutation T271A enhances polymerase activity in human cells.** We confirmed the effects of the T271A mutation using recombinant WSN viruses containing avian NP and polymerase genes with wild-type (WT) or mutant PB2. The 271A virus showed enhanced growth compared to that of the WT in mammalian cells in vitro. **The 271A mutant did not increase viral pathogenicity significantly in mice compared to that of the 627K mutant, but it did enhance the lung virus titer.** Also, cell infiltration was more evident in lungs of 271A-infected mice than in those of the WT. Interestingly, the avian-derived PB2 of the 2009 pandemic H1N1 influenza virus has 271A. The characterization of the polymerase activity of A/California/04/2009 (H1N1) and corresponding PB2 mutants indicates that the high polymerase activity of the pandemic strain in mammalian cells is, in part, dependent on 271A. Our results clearly indicate the contribution of PB2 amino acid 271 to enhanced polymerase activity and viral growth in mammalian hosts

Factores virales en la infección por Influenza A (H1N1/2009) pandémica

- **Patogenicidad: ++ → +++**
 - ✓ Probable existencia de factores aún desconocidos.
 - ✓ No se detectaron (inicialmente) diferencias genéticas entre las cepas que infectaron a individuos con curso leve ó grave de la enfermedad.

Ciertos factores de virulencia de otros virus Influenza no serían funcionales en Influenza A (H1N1/2009):

PB1-F2 (pro-apoptótica en macrófagos): truncada por señal STOP en codón 12
NS1 (anti-IFN): truncada

- **Transmisibilidad: eficiente en humanos.**
 - ✓ Resultados controversiales en hurones infectados con cepas aisladas en México y EE.UU. vs otra de Holanda: ¿hay eficiente transmisión mediante aerosoles?

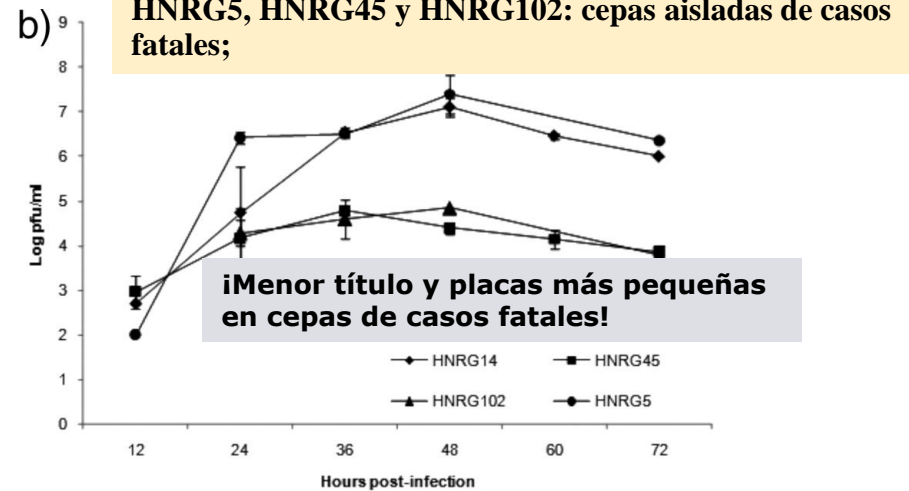
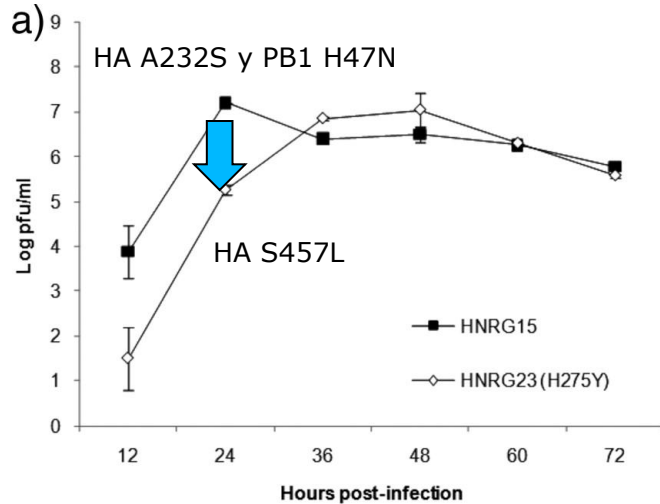
iii Hurones infectados con la cepa holandesa no estornudaban, pero los infectados con las cepas americanas sí lo hacían!!!

¿Por qué?

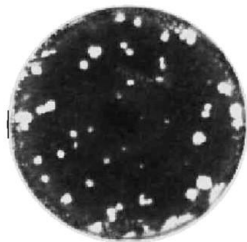
Cinética de la replicación viral de cepas de Influenza pandémica de Buenos Aires

Título viral en MDCK

El mismo paciente con una población *wt* y luego resistente al oseltamivir



Diferentes tamaños de placas



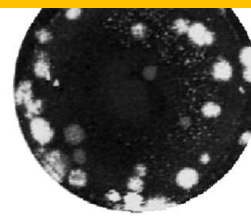
HNRG15

Cepa salvaje o *Wild type (wt)*



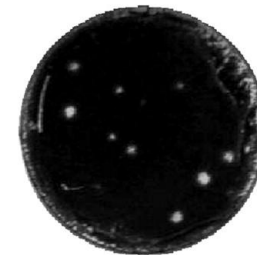
HNRG23

Cepa mutante H275Y resistente al oseltamivir



HNRG14

Cepa de un caso leve



HNRG102

Cepa de un caso fatal

Journal of Virology

Severe pandemic 2009 H1N1 influenza disease due to pathogenic immune complexes.

Pandemic influenza viruses often cause severe disease in middle-aged adults without preexisting comorbidities. The mechanism of illness associated with severe disease in this age group is not well understood. Here we find **preexisting serum antibodies that cross-react with, but do not protect against, 2009 H1N1 influenza virus in middle-aged adults. Nonprotective antibody is associated with immune complex-mediated disease after infection. We detected high titers of serum antibody of low avidity for H1-2009 antigen, and low-avidity pulmonary immune complexes against the same protein, in severely ill individuals. Moreover, C4d deposition--a marker of complement activation mediated by immune complexes--was present in lung sections of fatal cases. Archived lung sections from middle-aged adults with confirmed fatal influenza 1957 H2N2 infection revealed a similar mechanism of illness. These observations provide a previously unknown biological mechanism for the unusual age distribution of severe cases during influenza pandemics.**

[Monsalvo AC, et al.](#)
[Nat Med.](#) 2011 Feb;17(2):195-9

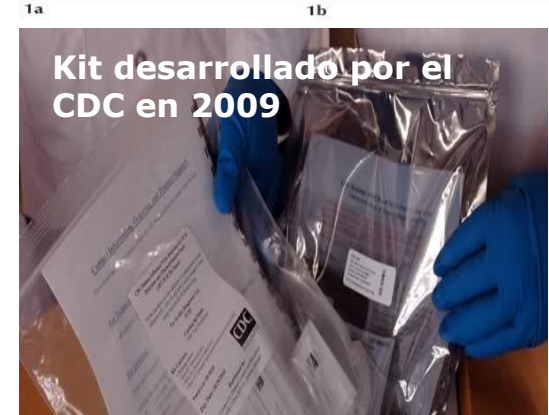
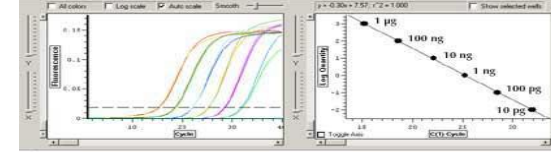


diagnóstico virológico

Métodos directos:

- Muestra clínica: Hisopado nasal bilateral y faríngeo.
- **Detección genómica por RT-PCR o RT-PCR en tiempo real** (*confirmación: Cultivo viral y secuenciamiento nucleotídico de amplicones de RT-PCR*)

Los tests rápidos para detección de antígeno N de Influenza tienen una sensibilidad del 10-70% (falsos negativos cuando hay bajo título viral en la muestra clínica) .



Métodos indirectos: La serología puede establecer un diagnóstico retrospectivo, con fines epidemiológicos o de investigación.



Síntesis: Pandemia de gripe A

Patogénesis y diagnóstico

- Virus *Influenza A* (H1N1/2009) emergente con triple reasociación genómica.
- Marcadores moleculares virales conocidos: no explican los casos graves observados.
- La HA del virus es semejante a la de 1918.
- Pacientes con gripe A (H1N1/2009) exhiben monocitosis y linfopenia de LT CD4⁺ y LB, con ↑ de Tregs (*nº pacientes = limitado*)
- El diagnóstico virológico se realiza mediante RT-PCR en tiempo real a partir de Hisopado N-F.



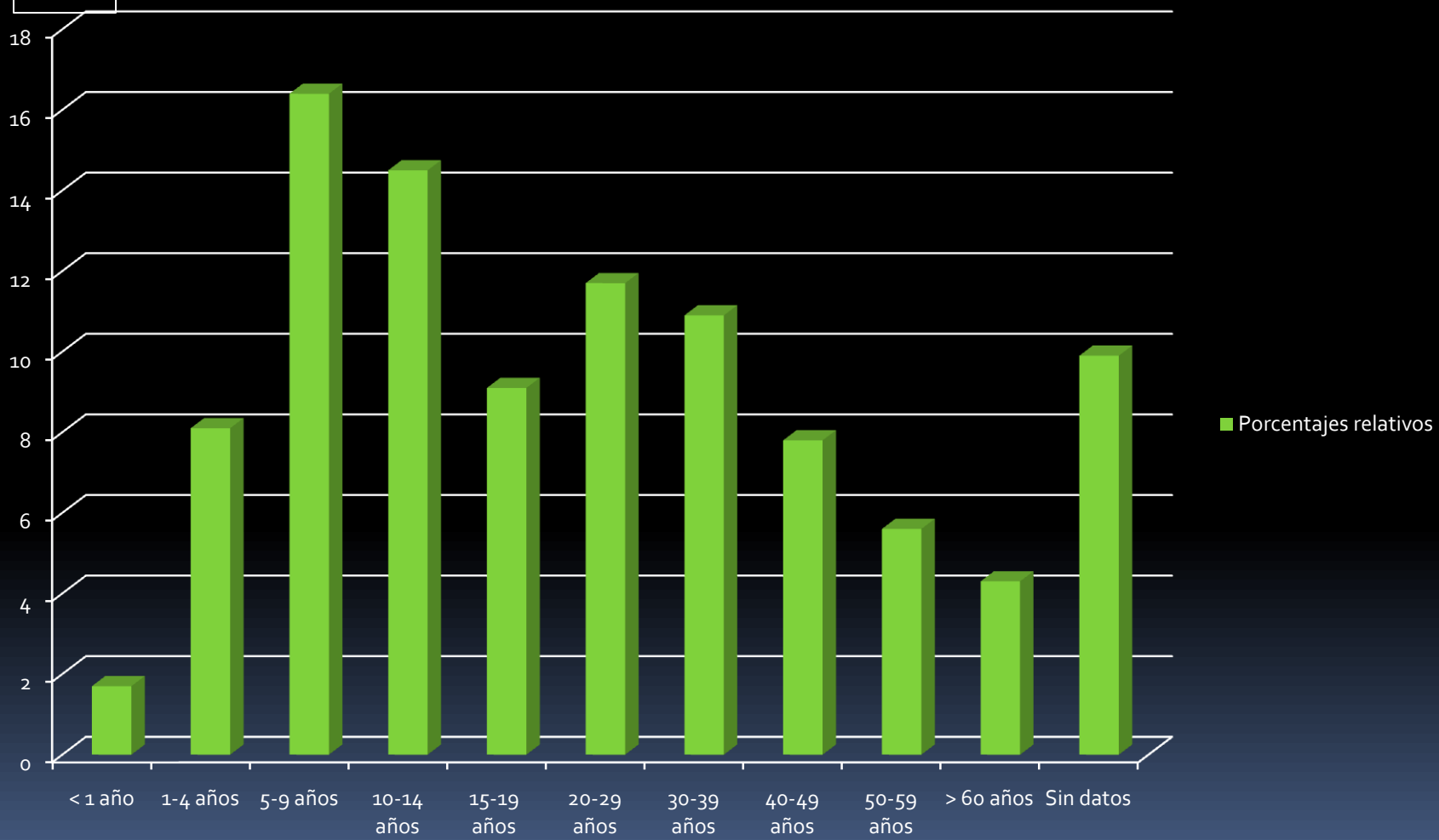
Situación epidemiológica en Argentina

- Total de casos de Enfermedad tipo influenza (ETI): 1.660.285
- Tasa semana 34: 5,8/ 10.000 habitantes
- Tasa acumulada: 264,1 / 10.000 habitantes
- Casos confirmados a la Semana 35: 8.851
- Casos hospitalizados por ETI: 9.840
- Defunciones: 514

Fuente: Ministerio de Salud. 12 de Septiembre 2009.



Distribución porcentual de casos confirmados de Influenza A (H1N1) en Argentina según el grupo etario



Fuente: Ministerio de Salud

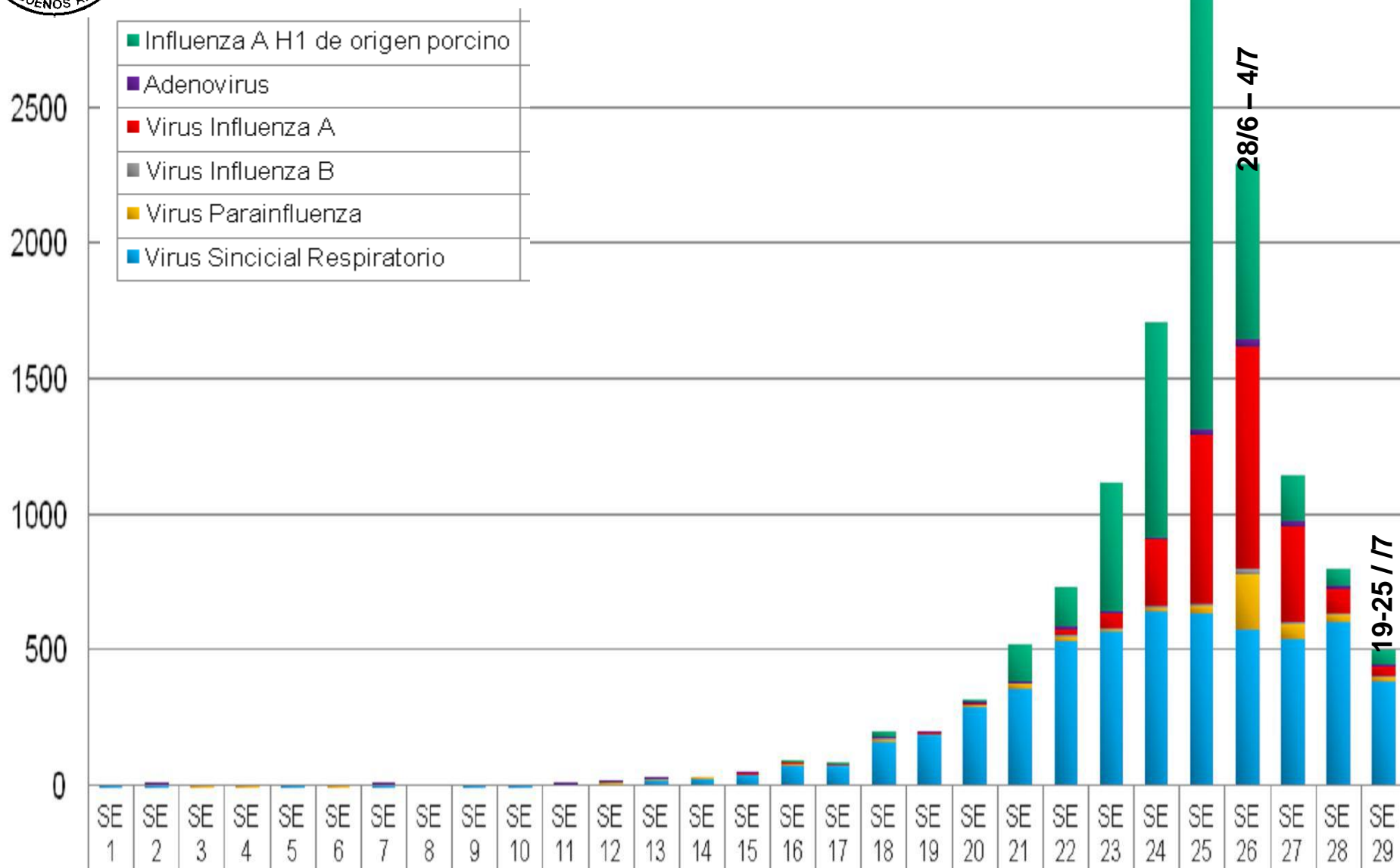


+1/100,000 Porcentajes relativos





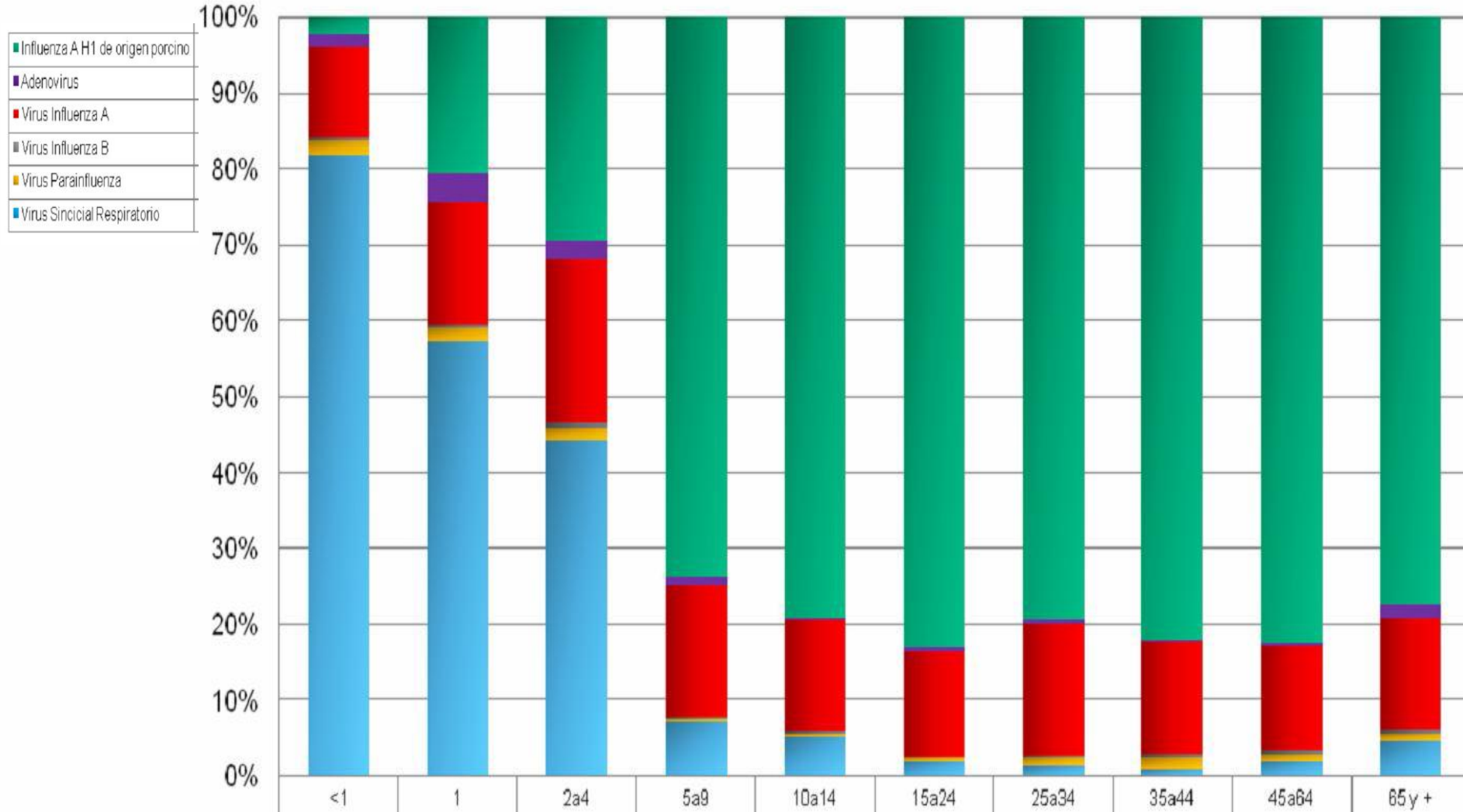
Pico de defunciones



Fuente: Ministerio de Salud, 5 -8-2009

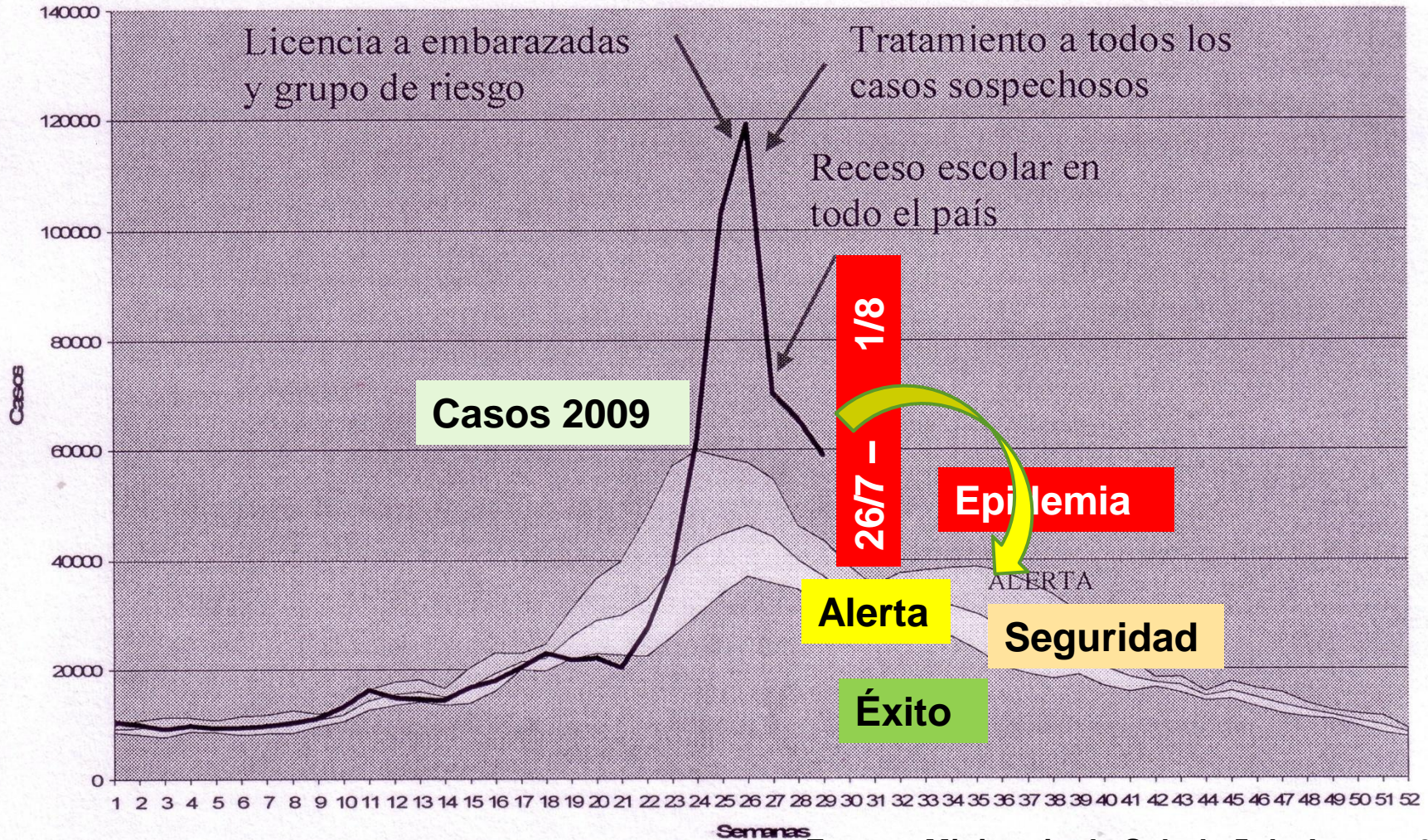


Distribución relativa de virus respiratorios en Argentina 2009 según grupo etario



Fuente: Ministerio de Salud

Devenir de la pandemia de *Influenza* A (H1N1/09) en Argentina



Fuente: Ministerio de Salud, 5 de Agosto 2009



Indicadores de la pandemia en Argentina

- ✓ Tendencia: *decreciente*
- ✓ Intensidad de la actividad ETI: *elevada*
- ✓ Dispersión geográfica: *generalizada*
- ✓ Sistema de salud: *afectado moderadamente*

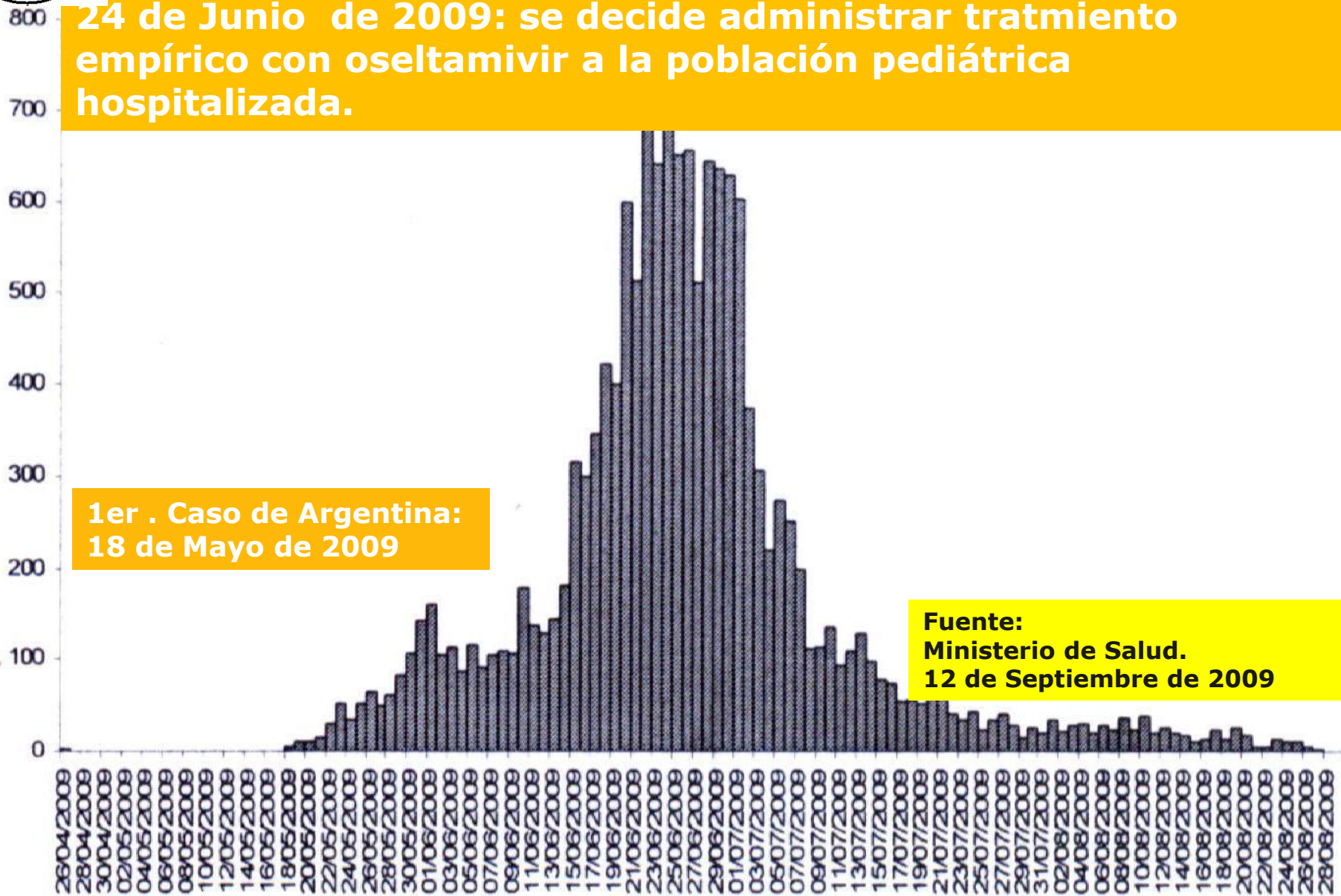


Gráfico 1: Distribución de casos confirmados y en estudio según fecha de inicio de síntomas. Argentina 2009. n= 15.455

24 de Junio de 2009: se decide administrar tratamiento empírico con oseltamivir a la población pediátrica hospitalizada.

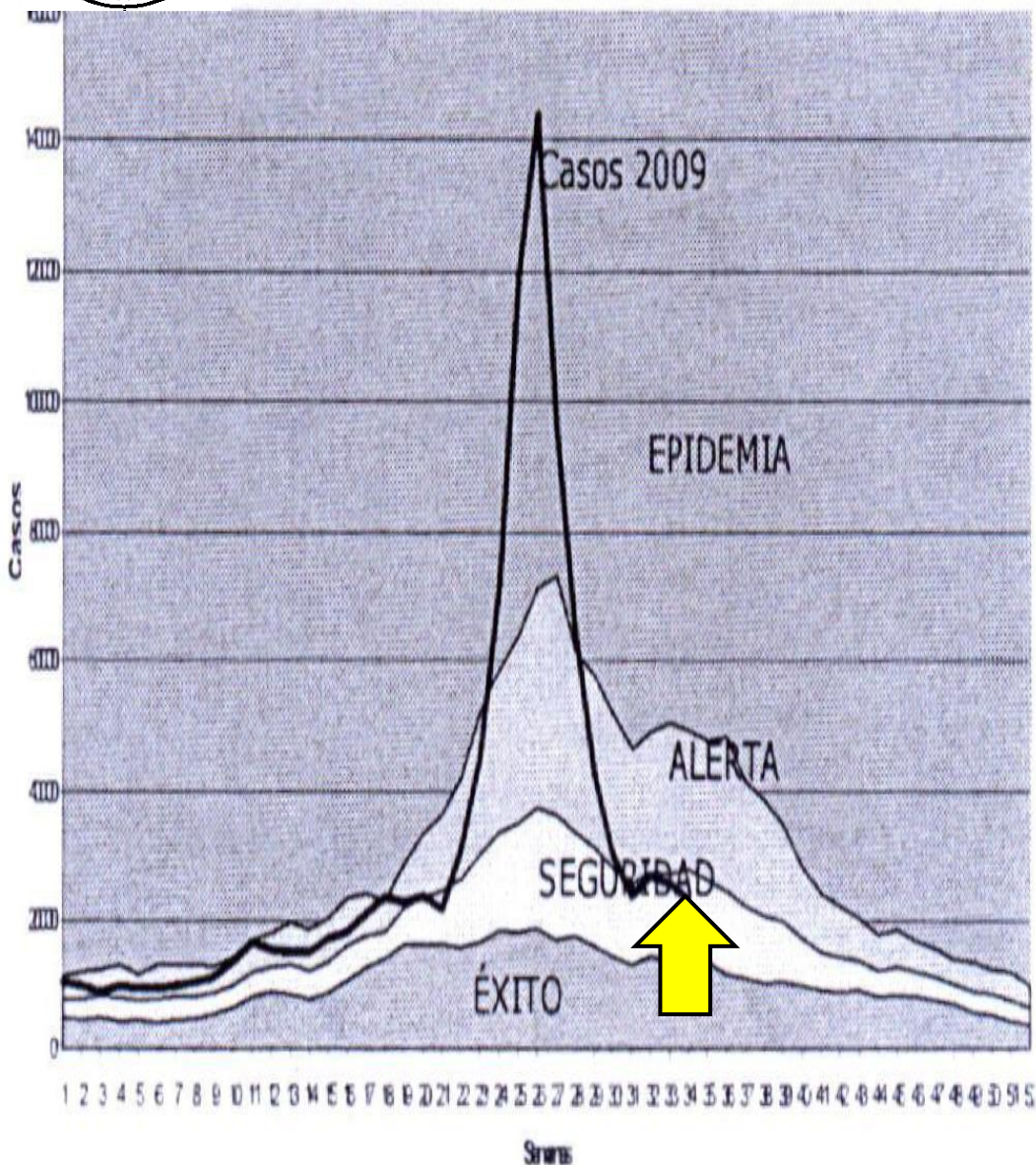
**1er . Caso de Argentina:
18 de Mayo de 2009**

**Fuente:
Ministerio de Salud.
12 de Septiembre de 2009**





Corredor Endémico Semanal de Enfermedades Tipo Influenza. Argentina 2009.



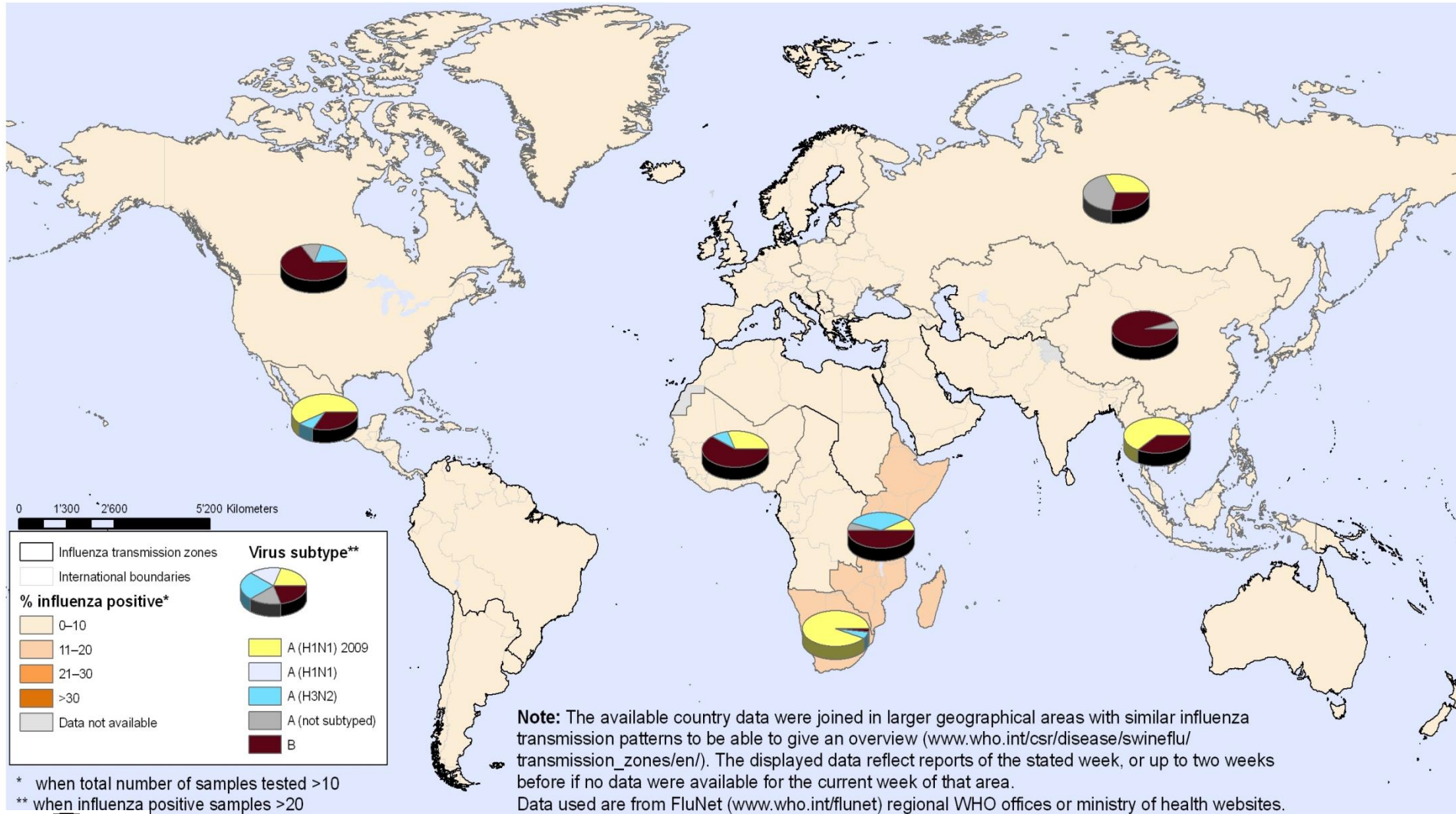
La vigilancia ETI registra un aumento de casos de Enfermedad Tipo Influenza notificados a partir de la semana 22. Como muestra el canal endémico (gráfico 8), el número de casos supera el canal de alerta a partir de la semana 24, alcanzando una tasa máxima de 36,6 casos por 10.000 habitantes en la semana 26 (28 de junio al 4 de julio). A partir de la semana 27 se aprecia un **descenso evidente** en el número de casos. Sin embargo, la **intensidad de la actividad de enfermedad tipo influenza para la SE 34 es aún moderada** (5,8 por 10.000 hab.).

Fuente:
Ministerio de Salud.
12 de Septiembre de 2009

Percentage of respiratory specimens that tested positive for influenza

By influenza transmission zones

Status as of week 20
15-21 May 2011



Names shown and the designations used on this map do not imply the expression of any opinion whatsoever of the World Health Organization concerning the legal status of any country, territory, city or area or of its authorities, or the delimitation of its frontiers or boundaries. Dotted lines on maps represent approximate border lines for which there has not yet been full agreement.

Data Source: World Health Organization
Map Production: Public Health Information and Geographic Information Systems (GIS)
World Health Organization

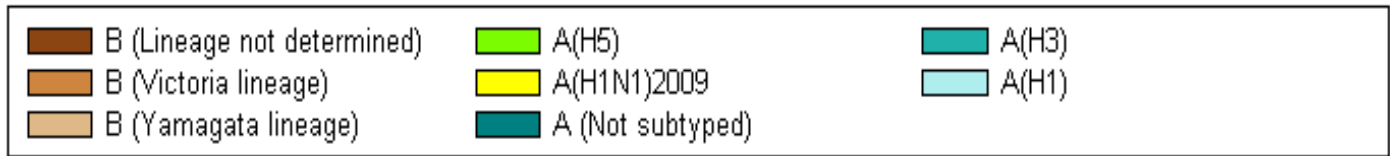
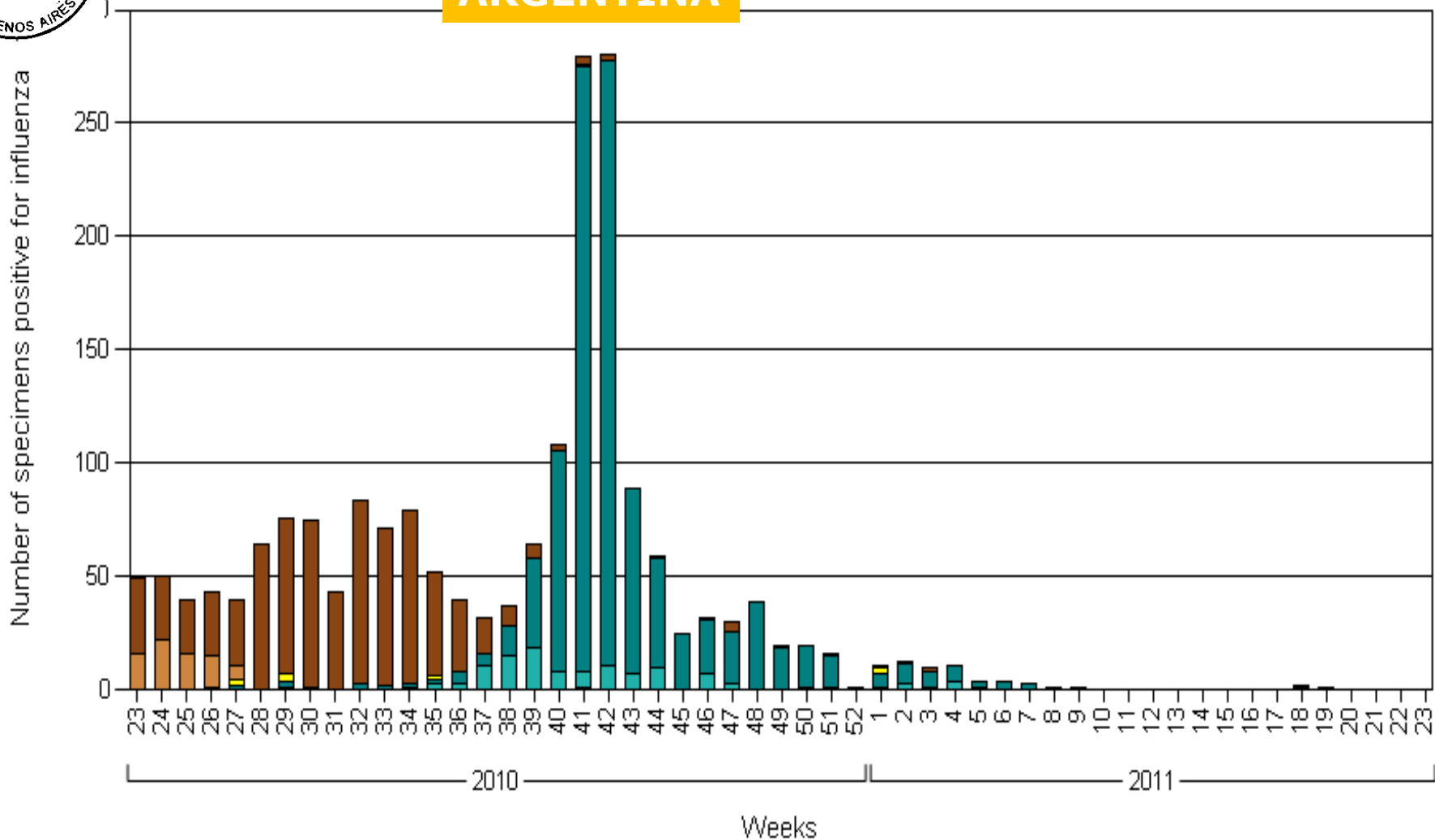


© WHO 2011. All rights reserved.



Number of specimens positive for influenza by subtypes

ARGENTINA





El diagnóstico virológico

Métodos directos:

- Muestra clínica: Hisopado nasofaríngeo y orofaríngeo.
- **Detección genómica por RT-PCR o RT-PCR en tiempo real**
- ó
- **Cultivo**

Los tests rápidos para detección de antígeno N de Influenza tienen una sensibilidad del 10-70% (falsos negativos cuando hay bajo título viral en la muestra clínica) .

Métodos indirectos: La serología puede establecer un diagnóstico retrospectivo, con fines epidemiológicos o de investigación.



Tratamiento

Inhibidores de la neuraminidasa:

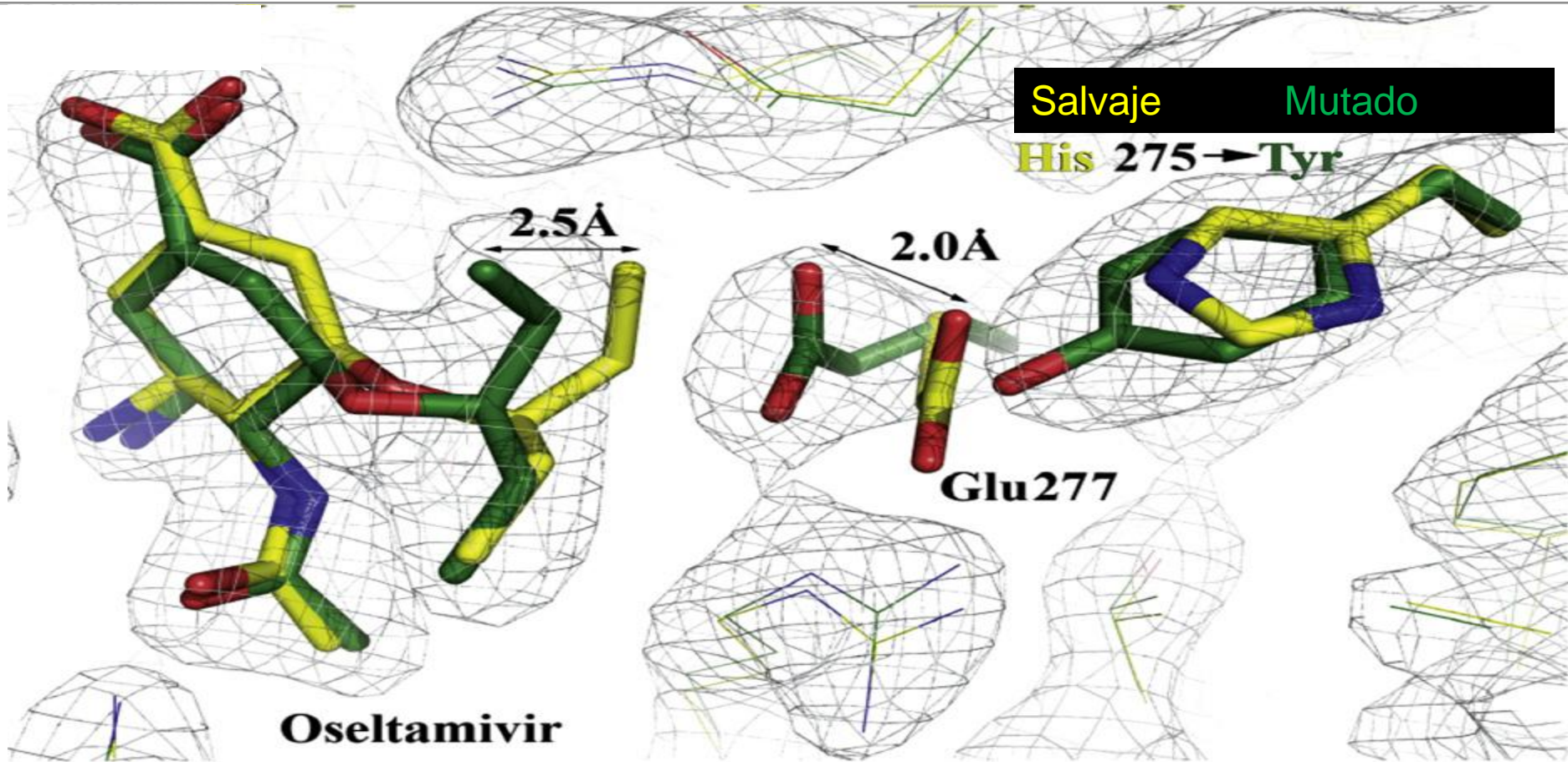
✓ **Oseltamivir**

✓ **Zanamivir**





Estructural tridimensional cristalográfica Neuraminidasa de cepas de Influenza A H₁N₁ /2009 con resistencia al oseltamivir



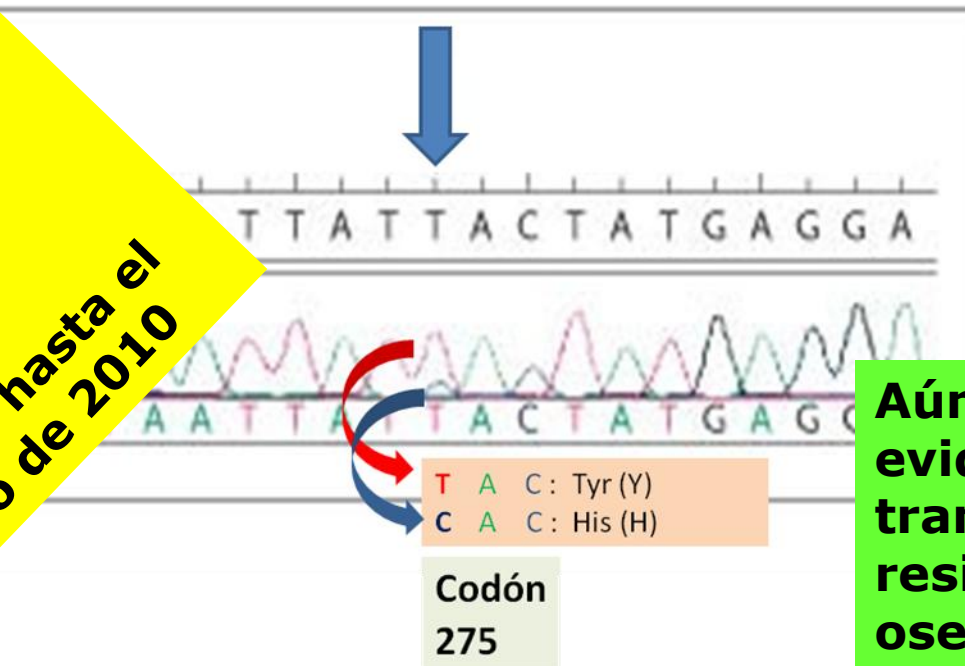
Fuente: Collins PJ et al. *Vaccine* 27: 6317–6323;
Dec 2009.



Se detectaron casos de resistencia al oseltamivir

H275Y (reemplazo de histidina por tirosina) codificada en el *gen de la neuraminidasa* del virus *Influenza* se asocia a la resistencia a dicho antiviral

302 casos de resistencia al oseltamivir de Influenza A (H1N1/2009) demostrados hasta el 4 de agosto de 2010



Aún no hay evidencias de la transmisión de la resistencia al oseltamivir a los contactos.

Emergence of intratreatment resistance to oseltamivir in pandemic influenza A H₁N₁ 2009 virus.

METHODS:

Complementary DNAs, including the 275 codon, were obtained by reverse transcriptase PCR using viral RNAs extracted from nasopharyngeal or tracheal aspirates. Conventional sequencing and pyrosequencing were performed on each sample. In order to measure the virus susceptibility to oseltamivir, 50% inhibitory concentration determinations were performed by chemiluminescence.

RESULTS:

Sequential samples of two paediatric patients under oseltamivir treatment were analysed. Pretreatment samples were composed of 100% oseltamivir-sensitive variants. **In case 1, the oseltamivir-resistant variant was found 8 days after the beginning of treatment. In case 2, the viral population became resistant on the second day of treatment, with 83% of the viral population bearing the mutation and this reached 100% on the seventh day.**

CONCLUSIONS:

We describe the intratreatment emergence of oseltamivir resistance in two paediatric patients. Pyrosequencing allowed us to detect variant mixtures, showing the transition of the viral population from sensitive to resistant.



Hospital de Niños Ricardo Gutiérrez

Valinoto LA, et al. *Antivir Ther* 2010;15(6):923-7.

Profilaxis activa

EE.UU. : la FDA (*Food and Drug Administration*) aprobó el 21/09/2009 la utilización de 4 vacunas.

3 son inactivadas (administración inyectable) y 1 es atenuada (para administrar por vía intranasal).

China: está inmunizando con una vacuna inactivada propia.



Response after One Dose of a Monovalent Influenza A (H₁N₁) 2009 Vaccine —Preliminary Report

Background A novel influenza A (H1N1) 2009 virus is responsible for the first influenza pandemic in 41 year. A safe and effective vaccine is urgently needed.

A randomized, observer-blind, parallel-group trial evaluating two doses of an inactivated, split-virus 2009 H1N1 vaccine in healthy adults between the ages of 18 and 64 years is ongoing at a single site in Australia.

Methods This preliminary report evaluates the immunogenicity and safety of the vaccine 21 days after the first of two scheduled doses. A total of 240 subjects, equally divided into two age groups (<50 years and ≥50 years), were enrolled and underwent randomization to receive either 15 μg or 30 μg of hemagglutinin antigen by intramuscular injection. We measured antibody titers using hemagglutination-inhibition and microneutralization assays at baseline and 21 days after vaccination. The coprimary immunogenicity end points were the proportion of subjects with antibody titers of 1:40 or more on hemagglutination-inhibition assay, the proportion of subjects with either seroconversion or a significant increase in antibody titer, and the factor increase in the geometric mean titer.

Results By day 21 after vaccination, antibody titers of 1:40 or more were observed in 116 of 120 subjects (96.7%) who received the 15-μg dose and in 112 of 120 subjects (93.3%) who received the 30-μg dose. No deaths, serious adverse events, or adverse events of special interest were reported. Local discomfort (e.g., injection-site tenderness or pain) was reported by 46.3% of subjects, and systemic symptoms (e.g., headache) by 45.0% of subjects. Nearly all events were mild to moderate in intensity.

Conclusions A single 15-μg dose of 2009 H1N1 vaccine was immunogenic in adults, with mild-to-moderate vaccine-associated reactions.

**Greemberg M.E. et al .
NEJM September 10, 2009**



The NEW ENGLAND
JOURNAL of MEDICINE



Trial of Influenza A (H1N1) 2009 Monovalent MF59-Adjuvanted Vaccine -- Preliminary Report.

BACKGROUND: The 2009 pandemic influenza A (H1N1) virus has emerged to cause the first pandemic of the 21st century. Development of effective vaccines is a public health priority. **METHODS:** We conducted a single-center study, involving 175 adults, 18 to 50 years of age, to test the monovalent influenza A/California/2009 (H1N1) surface-antigen vaccine, in both MF59-adjuvanted and nonadjuvanted forms. Subjects were randomly assigned to receive two intramuscular injections of vaccine containing 7.5 mug of hemagglutinin on day 0 in each arm or one injection on day 0 and the other on day 7, 14, or 21; or two 3.75-mug doses of MF59-adjuvanted vaccine, or 7.5 or 15 mug of nonadjuvanted vaccine, administered 21 days apart. Antibody responses were measured by means of hemagglutination-inhibition assay and a microneutralization assay on days 0, 14, 21, and 42 after injection of the first dose.

RESULTS: Results of an interim analysis of the responses to the 7.5-mug dose of MF59-adjuvanted vaccine by days 14 and 21 are presented (data from four of the seven groups studied, for a total of 100 subjects). The most frequent local and systemic reactions were pain at the injection site and muscle aches, noted in 70% and 42% of subjects, respectively. Two subjects reported fever, with a temperature of 38 degrees C or higher, after the first dosing. Antibody titers, expressed as geometric means, were generally higher at day 14 among subjects who had received two 7.5-mug doses of the MF59-adjuvanted vaccine than among those who had received only one by this time point ($P=0.04$ by the hemagglutination-inhibition assay and $P<0.001$ by the microneutralization assay). By 21 days after vaccination with the first dose of 7.5 mug of MF59-adjuvanted vaccine, the rates of seroconversion, as measured with the use of a hemagglutination-inhibition assay and a microneutralization assay, were 76% and 92% of subjects, respectively, who had received only one dose to date (with the second dose scheduled for day 21) and 88 to 92% and 92 to 96% of subjects, respectively, who had already received both doses ($P=0.11$ and $P=0.64$, respectively).

CONCLUSIONS: In preliminary analyses, the monovalent influenza A (H1N1) 2009 **MF59-adjuvanted vaccine generates antibody responses likely to be associated with protection within 14 days** after a single dose is administered.

Clark TW, et al. NEJM September 10, 2009



The NEW ENGLAND
JOURNAL of MEDICINE

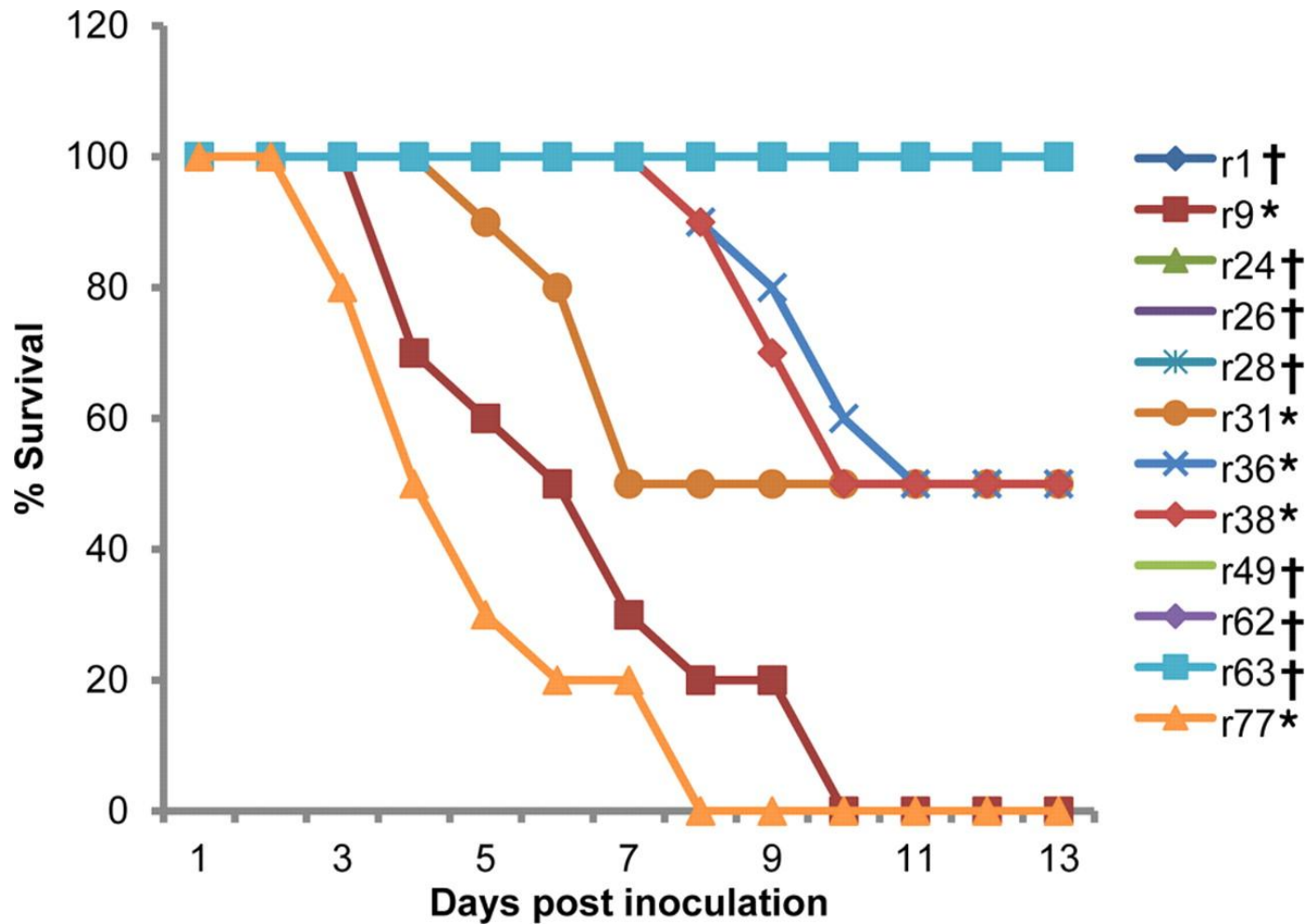


¿Es posible una reasociación entre cepas H5N1 y H1N1 pd 2009?

Gene mutations and reassortment are key mechanisms by which influenza A virus acquires virulence factors. To evaluate the role of the viral polymerase replication machinery in producing virulent pandemic (H1N1) 2009 influenza viruses, we generated various polymerase point mutants (PB2, 627K/701N; PB1, expression of PB1-F2 protein; and PA, 97I) and reassortant viruses with various sources of influenza viruses by reverse genetics. Although the **point mutations produced no significant change in pathogenicity, reassortment between the pandemic A/California/04/09 (CA04, H1N1) and current human and animal influenza viruses produced variants possessing a broad spectrum of pathogenicity in the mouse model. Although most polymerase reassortants had attenuated pathogenicity (including those containing seasonal human H3N2 and high-pathogenicity H5N1 virus segments) compared to that of the parental CA04 (H1N1) virus, some recombinants had significantly enhanced virulence. Unexpectedly, one of the five highly virulent reassortants contained a A/Swine/Korea/JNS06/04(H3N2)-like PB2 gene with no known virulence factors; the other four had mammalian-passaged avian-like genes encoding PB2 featuring 627K, PA featuring 97I, or both.** Overall, the reassorted polymerase complexes were only moderately compatible for virus rescue, probably because of disrupted molecular interactions involving viral or host proteins. Although we observed close cooperation between PB2 and PB1 from similar virus origins, we found that PA appears to be crucial in maintaining viral gene functions in the context of the CA04 (H1N1) virus. These observations provide helpful insights into the pathogenic potential of reassortant influenza viruses composed of the pandemic (H1N1) 2009 influenza virus and prevailing human or animal influenza viruses that could emerge in the future.



Sobrevida de ratones inoculados con virus con genoma reasociado experimentalmente que tienen igual o mayor patogenicidad que la cepa pandémica CA04 (H1N1)



Song, M.-S. et al. 2011. J. Virol. 85(13):6275-6286



Formar(se) desde la Verdad, en el Bien, y por amor al prójimo

Francisco Xavier Muñiz

*Carlo Urbani**



**F.J.M.: Médico jubilado, decidió dejar su quinta en La Reja, para atender pacientes de fiebre amarilla durante la epidemia que asoló Buenos Aires. Falleció -atendiendo pacientes- el 8 de abril de 1871.*

**C.U.: Médico de la OMS y de "Médicos sin Fronteras" que se contagió el SARS (síndrome agudo respiratorio grave) atendiendo pacientes, por lo que falleció el 29 de marzo de 2003. Dijo: "La salud y la dignidad son inseparables en el ser humano; es una obligación estar en contacto con las víctimas y garantizar sus derechos"*